



ใบรับรองวิทยานิพนธ์
บัณฑิตวิทยาลัย มหาวิทยาลัยเกษตรศาสตร์

วิทยาศาสตรมหาบัณฑิต (พัฒนาศาสตร์)
ปริญญา

พัฒนาศาสตร์

สาขา

พัฒนาศาสตร์

ภาควิชา

เรื่อง การวิเคราะห์ลักษณะและติดตามแบคทีโรฟิลเมต์ที่กัดแยกจากกระถินณรงค์
(*Acacia auriculiformis* A. Cunn. ex Benth.) โดยเทคนิคทางโภมเลกุล

Characterization and Monitoring of Endophytic Actinomycetes Isolated from Wattle tree
(*Acacia auriculiformis* A. Cunn. ex Benth.) Using Molecular Techniques

นามผู้วิจัย นายชาคริต บุญอุ่ย

ได้พิจารณาเห็นชอบโดย

อาจารย์ที่ปรึกษาวิทยานิพนธ์หลัก

(รองศาสตราจารย์อรินทิพย์ ธรรมชัยพินธุ์, Ph.D.)

อาจารย์ที่ปรึกษาวิทยานิพนธ์ร่วม

(ผู้ช่วยศาสตราจารย์วิภา ทรงธรรมกุล, Ph.D.)

หัวหน้าภาควิชา

(รองศาสตราจารย์เลศลักษณ์ เงินศิริ, Ph.D.)

บัณฑิตวิทยาลัย มหาวิทยาลัยเกษตรศาสตร์รับรองแล้ว

(รองศาสตราจารย์กัญจนा ธีระกุล, D.Agr.)

คณบดีบัณฑิตวิทยาลัย

วันที่ _____

เดือน _____

พ.ศ. _____

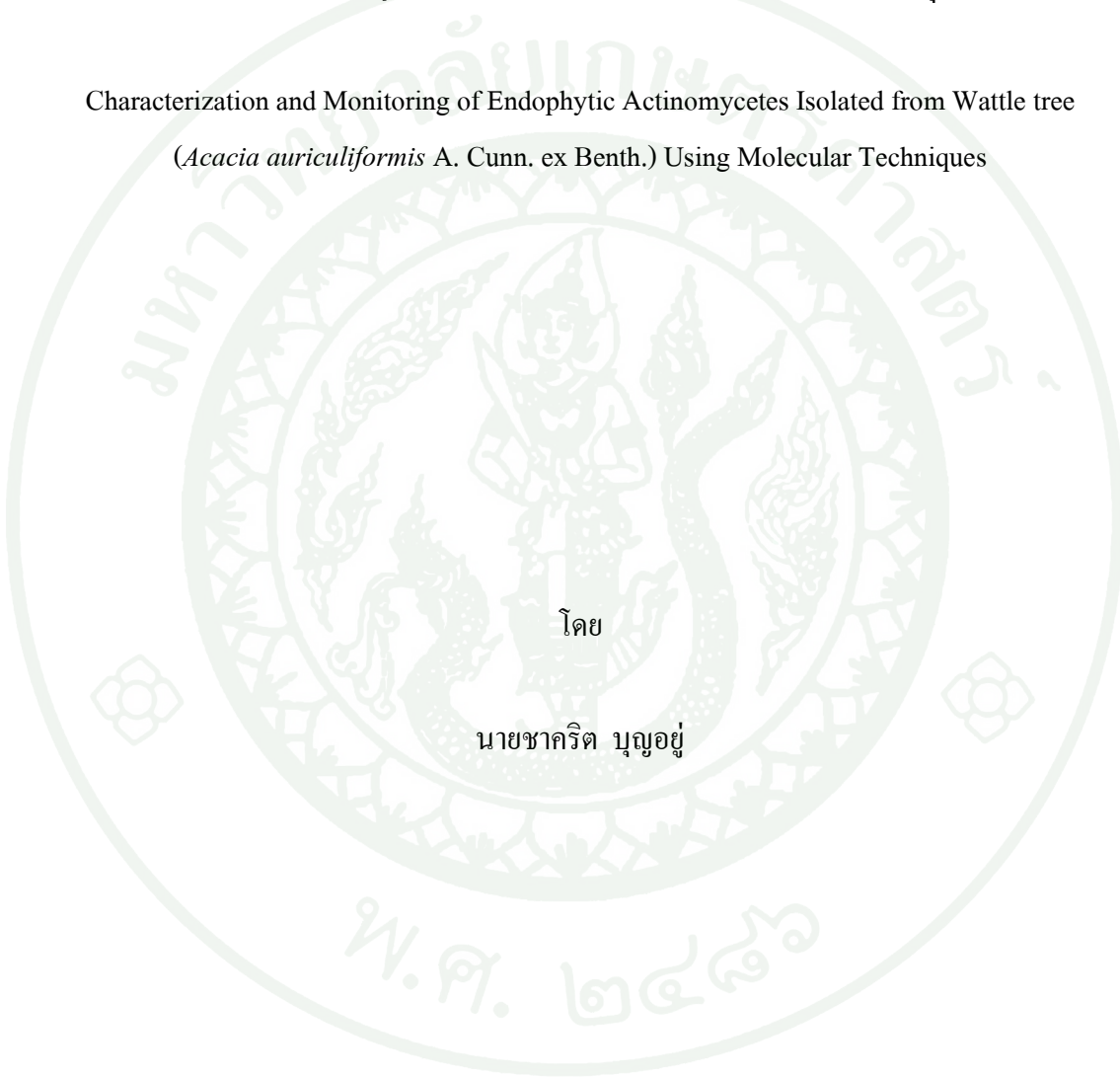
สิงหาคม มหาวิทยาลัยเกษตรศาสตร์

วิทยานิพนธ์

เรื่อง

การวิเคราะห์ลักษณะและติดตามแบคทีโรมัยสีท่อนโคล่าไฟต์ที่คัดแยกจากกระถินของ
(Acacia auriculiformis A. Cunn. ex Benth.) โดยเทคนิคทางโมเลกุล

Characterization and Monitoring of Endophytic Actinomycetes Isolated from Wattle tree
(Acacia auriculiformis A. Cunn. ex Benth.) Using Molecular Techniques



เสนอ

บัณฑิตวิทยาลัย มหาวิทยาลัยเกษตรศาสตร์
เพื่อความสมบูรณ์แห่งปริญญาวิทยาศาสตร์มหาบัณฑิต (พันธุศาสตร์)
พ.ศ. 2553

สิงหนาท นิตาวิทยาลัยเกษตรศาสตร์

ชาคริต บุญอุ่น¹ 2553: การวิเคราะห์ลักษณะและติดตามแอคติโนมัยสีฟ่อนโอดีไฟต์ที่คัดแยกจาก
กระถินรงค์ (*Acacia auriculiformis* A. Cunn. ex Benth.) โดยเทคนิคทางโมเลกุล
ปริมาณวิทยาศาสตร์บัณฑิต (พันธุศาสตร์) สาขาวิชานิพนธ์ ภาควิชาพันธุศาสตร์
อาจารย์ที่ปรึกษาวิทยานิพนธ์หลัก: รองศาสตราจารย์อวินทิพย์ ธรรมชัยพินด, Ph.D. 90 หน้า

คัดแยกแอคติโนมัยสีฟ่อนได้ทั้งสิ้น 11 สายพันธุ์ จากการกระถินรงค์ที่เก็บจากกรุงเทพมหานครและจังหวัด
นครปฐม เมื่อศึกษาลำดับเบสของยีน 16S rRNA พบว่าจัดอยู่ในสกุล *Streptomyces*, *Actinoallomurus*,
Amycolatopsis, *Kribbella* และ *Microbispora* เมื่อศึกษาความสามารถในการขับซึ่งจุลินทรีย์ทดสอบ พบร่วม มี
แอคติโนมัยสีฟ่อนจำนวน 5 สายพันธุ์ คือ GMKU 932 สามารถขับซึ่ง *Bacillus cereus* ส่วน GMKU 937 และ
GMKU 938 สามารถขับซึ่ง *Aspergillus niger* สายพันธุ์ GMKU 940 สามารถขับซึ่ง *B. cereus*, *Staphylococcus*
aureus, *Escherichia coli*, *Fusarium proliferatum*, *F. moniliforme* และ *A. niger* และสายพันธุ์ GMKU 944
สามารถขับซึ่ง *B. cereus*, *S. aureus*, *Ralstonia solanacearum* และ *A. niger* เมื่อถ่ายยีน *egfp* ลง *Streptomyces* sp.
GMKU 937 และ GMKU 944 ด้วยวิธีคอนจูเกชันต่างสกุลบนอาหาร MS ที่เติม $MgCl_2$ 10 มิลลิไมลาร์ โดยใช้
เส้นไบอุ่ 24 ชั่วโมง เป็นผู้รับ พบว่า สามารถส่งถ่ายยีน *egfp* และแสดงออกใน *Streptomyces* sp. GMKU 944
แต่ไม่ประสบผลสำเร็จในสายพันธุ์ GMKU 937 เมื่อตรวจสอบความสามารถในการขับซึ่งในพืชโดยการปลูก
Streptomyces sp. GMKU 937 หรือ GMKU 944/*egfp* เพียงชนิดเดียว และปลูกร่วมกับ *Rhizobium* sp. สร้างต้นอ่อน
กระถินรงค์ พบร่วมโอนโอดีไฟต์ทั้งสองสายพันธุ์ ไม่มีผลต่อการสร้างpmrak เมื่อนำรากกระถินรงค์มาแยกเชื้อ²
สามารถแยก *Streptomyces* sp. GMKU 937 กลับมาได้ แสดงให้เห็นว่าสายพันธุ์ GMKU 937 น่าจะเป็น³
โอนโอดีไฟต์ที่แท้จริง ส่วน *Streptomyces* sp. GMKU 944/*egfp* ไม่สามารถแยกกลับออกมากได้ อย่างไรก็ตาม เมื่อ⁴
นำเนื้อเยื่อจากกระถินรงค์ไปติดตามจากการเรืองแสง EGFP ของ *Streptomyces* sp. GMKU 944/*egfp* ด้วย⁵
กล้อง confocal laser scanning microscope พบว่า สามารถติดตามสายพันธุ์ GMKU 944/*egfp* ได้ โดยพบการอิง⁶
อาศัยบริเวณห่ออาหารเป็นส่วนใหญ่ และพบร่องส่วนบริเวณห่อน้ำ เมื่อตรวจสอบบริเวณผิวนอกและpmrakโดย⁷
ใช้กล้องจุลทรรศน์อิเล็กตรอนแบบส่องการ พบว่า มีเส้นไขของ *Streptomyces* sp. GMKU 944/*egfp* เจริญ⁸
จำนวนมากแนวชิดกับผิวนอก ภายในราก และpmrak แสดงให้เห็นว่า *Streptomyces* sp. GMKU 944/*egfp* มี⁹
ความสัมพันธ์ใกล้ชิดกับกระถินรงค์และเป็นโอนโอดีไฟต์ที่แท้จริง

Chakrit Bunyoo 2010: Characterization and Monitoring of Endophytic Actinomycetes Isolated from Wattle tree (*Acacia auriculiformis* A. Cunn. ex Benth.) Using Molecular Techniques.
Master of Science (Genetics), Major Field: Genetics, Department of Genetics. Thesis Advisor:
Associate Professor Arinthip Thamchaipenet, Ph.D. 90 pages.

Eleven strains of endophytic actinomycetes were isolated from healthy roots of wattle tree (*Acacia auriculiformis* A. Cunn. ex Benth.) collected from Bangkok and Nakhonprathom provinces, Thailand. Analysis of 16S rRNA gene sequences of those strains revealed that they belong to members of the genera *Streptomyces*, *Actinoallomurus*, *Amycolatopsis*, *Kribbella* and *Microbispora*. Five strains showed antimicrobial activities against test microorganisms. Strain GMKU 932 showed activity against *Bacillus cereus* while strains GMKU 937 and GMKU 938 were active against *Aspergillus niger*. Strain GMKU 940 showed activity against *B. cereus*, *Staphylococcus aureus*, *Escherichia coli*, *Fusarium proliferatum*, *F. moniliforme* and *A. niger*. Strain GMKU 944 was active against *B. cereus*, *S. aureus*, *Ralstonia solanacearum* and *A. niger*. The *egfp* gene was introduced into *Streptomyces* sp. GMKU 944 and GMKU 937 by intergeneric conjugation and was successfully transferred and expressed in *Streptomyces* sp. GMKU 944 only. The residing property of both endophytes in the roots of wattle tree was verified by inoculation of *Streptomyces* sp. GMKU 937 or GMKU 944/*egfp* alone, and the mixture with *Rhizobium* sp. to germinated seeds of wattle tree. The results showed that both strains revealed no effect to nodulation. *Streptomyces* sp. GMKU 937 could be re-isolated from the seedlings, but it was unsuccessful with strain GMKU 944/*egfp*. However, *Streptomyces* sp. GMKU 944/*egfp* could be visualized through EGFP expression by confocal laser scanning microscope and found mainly colonizing at phloem and some at xylem parenchyma cells. SEM micrographs indicated mycelia of *Streptomyces* sp. GMKU 944/*egfp* covering root and nodule surfaces. These results suggested that *Streptomyces* sp. GMKU 944/*egfp* was closely associated with wattle tree and is a true endophyte.

Student's signature

Thesis Advisor's signature

/ /

กิตติกรรมประกาศ

ขอทราบขอบพระคุณ รศ.ดร.อวินทิพย์ ธรรมชัยพินdet ประธานกรรมการที่ปรึกษา และ พศ.ดร. วิภา วงศ์ตระกูล ที่ได้ให้ความช่วยเหลือและให้คำแนะนำต่างๆ อย่างเต็มที่ตลอดการทำวิทยานิพนธ์ รวมทั้งส่วนเวลาในการตรวจแก้ไขวิทยานิพนธ์ฉบับนี้จนเสร็จสมบูรณ์ ขอทราบขอบพระคุณ อาจารย์ ดร. กรรณิกา ดวงมาลัย ที่ได้ให้ความอนุเคราะห์สารคดีในการวิจัยและให้คำแนะนำตลอดมา ขอทราบขอบพระคุณ รศ.ดร.สุรินทร์ ปิยะ โชคญาณ ประธานกรรมการการสอบ และอาจารย์ ดร.ชัยญา พุทธิขันธ์ ผู้ทรงคุณวุฒิจากภายนอกที่ให้คำแนะนำในการตรวจแก้ไขวิทยานิพนธ์ฉบับนี้

ขอขอบคุณ ดร.อัจฉรา นันทกิจ และห้องปฏิบัติการกลุ่มงานวิจัยจุลินทรีย์ดิน สำนักวิจัยพัฒนาปัจจัยการผลิตทางการเกษตร กรมวิชาการเกษตร ที่ให้ความอนุเคราะห์สายพันธุ์จุลินทรีย์ไว้ใช้เบี่ยม และสถานที่ในการทำวิจัย ขอขอบคุณ Prof. Dr. Mark Buttner, Department of Molecular Microbiology, John Innes Centre, UK. ที่ได้ให้ความอนุเคราะห์พลาสมิดในการวิจัย

ขอบคุณสมาชิกทุกคนในห้องปฏิบัติการ 4503 ภาควิชาพันธุศาสตร์ที่ได้ให้ความช่วยเหลือและกำลังใจแก่ผู้วิจัยเสมอมา โดยเฉพาะอย่างยิ่งคุณนิรนทร์ยา สุดตาชาติ คุณอภันดร์ ชนิต ไชสง คุณสมเกียรติ พรพิสุทธิ์มาศ คุณจันทร์ อินทนนท์ และเพื่อนๆ ในภาควิชาพันธุศาสตร์ทุกคน

ขอขอบพระคุณคุณพ่อและคุณแม่ ที่สนับสนุนทั้งด้านทุนทรัพย์และโอกาสทางการศึกษาของผู้วิจัย ตลอดจนให้กำลังใจงานวิทยานิพนธ์เสร็จสมบูรณ์

วิทยานิพนธ์ฉบับนี้ได้รับทุนสนับสนุน ในโครงการทุนวิจัยมหาบัณฑิต ศกว. สาขาวิทยาศาสตร์และเทคโนโลยี (MRG-WII505S027) ร่วมกับคณะวิทยาศาสตร์ มหาวิทยาลัยเกษตรศาสตร์

ชาคริต บุญอุ่ง
พฤษภาคม 2553

สารบัญ

หน้า

สารบัญ	(1)
สารบัญตาราง	(2)
สารบัญภาพ	(3)
คำนำ	1
วัตถุประสงค์	2
การตรวจสอบสาร	3
อุปกรณ์และวิธีการ	18
ผลและวิจารณ์	37
สรุปและข้อเสนอแนะ	68
เอกสารและสิ่งอ้างอิง	70
ภาคผนวก	83
ประวัติการศึกษา และการทำงาน	89

สารบัญตาราง

ตารางที่	หน้า
1 จุลินทรีย์ที่ใช้ในงานวิจัย 18	
2 พลาสมิดที่ใช้ในงานวิจัย 19	
3 ความเข้มข้นของยาปฏิชีวนะที่ใช้ในการเลี้ยง <i>E. coli</i> 27	
3 สายพันธุ์แบคทีโรมัยสีที่คัดแยกได้จากการถินแปรร้งค์ 39	
4 การเปรียบเทียบความคล้ายคลึงของลำดับเมสบนางส่วนของยีน 16S rRNA จากแบคทีโรมัยสีท่อน โอดาไฟต์ 11 สายพันธุ์ กับลำดับเบสในฐานข้อมูลคล้ายโปรแกรม EzTaxon 42	
5 ลักษณะทางสัณฐานวิทยาของแบคทีโรมัยสีสายพันธุ์ต่างๆ 46	
6 ประสิทธิภาพการคงอุณหภูมิเก็บต่างสกุลระหว่าง <i>E. coli</i> ET12567 (pUZ8002/pIJ10257) และเสื้นใยของ <i>Streptomyces</i> sp. GMKU 944 ที่อายุและอาหารต่างๆ 55	

สารบัญภาพ

ภาพที่	หน้า
1 การจัดกลุ่มของแอคติโนแบคทีเรียโดยใช้ลำดับเบสของยีน 16S rRNA	7
2 ความสัมพันธ์แอคติโนแบคทีเรียจากการวิเคราะห์ลำดับเบสของยีน 16S rRNA	8
3 แผนที่ของพลาสมิด pIJ8655	30
4 แผนที่ของพลาสมิด pIJ10257	32
5 แอคติโนมัยสีที่คัดแยกได้จากการกระถินณรงค์	38
6 การวิเคราะห์ phylogenetic tree ของสายพันธุ์ทั้ง 11 สายพันธุ์	43
7 การทดสอบความสามารถของแอคติโนมัยสีที่ในการขับถ่ายแบบที่เรียบทดสอบ	50
8 การตรวจสอบขนาดชิ้นคิอื่นนอกจากไตรฟอฟิลล์	52
9 การตรวจสอบพลาสมิดสายพันธุ์ที่ไม่ตัดกับไตรฟอฟิลล์	52
10 การตรวจสอบพลาสมิดสายพันธุ์ที่ตัดกับไตรฟอฟิลล์	53
11 การตรวจสอบเอกซ์ค่อนจูเกนต์ โดยเทคนิคพีซีอาร์ด้วยไฟร์เมอร์ 10257seqF และ 10257seqR	56
12 การตรวจสอบการเรืองแสงของ EGFP ในเอกซ์ค่อนจูเกนต์	57
13 บริเวณรากของกระถินณรงค์หลังจากการบ่มพืชในห้องเพาะบ่มด้านกล้าเป็นเวลา 8 สัปดาห์	59
14 การแยกเชื้อจุลทรรศน์จากการกระถินณรงค์ที่ได้รับการปลูกเชื้อ	60
15 การตรวจสอบรากพืชที่ตัดตามขวางภายนอกด้วย confocal laser scanning microscope	62
16 การตรวจสอบบริเวณผิวรากกระถินณรงค์ที่ได้รับการปลูกเชื้อ Streptomyces sp. GMKU 944/egfp โดยกล้องจุลทรรศน์อิเล็กตรอนแบบส่อง粒粒	65
17 การตรวจสอบบริเวณผิวรากกระถินณรงค์ที่ไม่ได้รับการปลูกเชื้อโดยกล้องจุลทรรศน์อิเล็กตรอนแบบส่อง粒粒	66
18 การตรวจสอบบริเวณปมและผิวรากกระถินณรงค์ที่ได้รับการปลูกเชื้อ Streptomyces sp. GMKU 944/egfp ร่วมกับไตรโซเดียม โดยกล้องจุลทรรศน์อิเล็กตรอนแบบส่อง粒粒	67

การวิเคราะห์ลักษณะและติดตามแบคทีโรมัยสีท่อนโอด้าไฟต์ที่คัดแยกจากกระถินณรงค์
(Acacia auriculiformis A. Cunn. ex Benth.) โดยเทคนิคทางโมเลกุล

**Characterization and Monitoring of Endophytic Actinomycetes Isolated from
Wattle tree (*Acacia auriculiformis A. Cunn. ex Benth.*)
Using Molecular Techniques**

คำนำ

กระถินณรงค์เป็นไม้ยืนต้นที่มีประโภชาน์ทางเศรษฐกิจ เนื่องจากเป็นไม้โടเรือที่สามารถนำไปใช้เป็นเชื้อเพลิง อุตสาหกรรมกระดาษ และสร้างท่อผู้อาศัยได้ (ทองพล, 2545) กระถินณรงค์ เป็นพืชอยู่ในวงศ์เดียวกับพืชตระกูลถั่วจึงพบว่ามีจุลินทรีย์เอนด้าไฟต์ในสกุล *Bradyrhizobium* ซึ่งมีความสามารถในการตรึงไนโตรเจนได้ และพบว่ามีราเอนด้าไฟต์ทั้งกลุ่ม ectomycorrhiza และ endomycorrhiza ซึ่งมีบทบาทช่วยกระตุ้นการเจริญเติบโตของกระถินณรงค์ และช่วยให้พืชมีความสามารถต่อสภาพแวดล้อมและเชื้อก่อโรคต่างๆ (Duponnois and Plenchette, 2003; Diuof et al., 2005) การปลูกกระถินณรงค์ในพื้นที่ที่เป็นดินเลวช่วยให้ดินมีคุณภาพดีขึ้นด้วย อย่างไรก็ตาม แบคทีโรมัยสีท่อนโอด้าไฟต์ในกระถินณรงค์ยังมีผู้รายงานน้อย แบคทีโรมัยสีท่อนโอด้าไฟต์หลายชนิดมีประโภชาน์ต่อพืชในการต่อต้านแมลงศัตรูพืช และวัชพืช นอกจากนี้ยังสร้างสารออกฤทธิ์ทางชีวภาพที่เป็นทั้งสารปฏิชีวนะต่อต้านจุลินทรีย์ที่ก่อให้เกิดโรคในมนุษย์ สัตว์และพืช สารต่อต้านมะเร็ง สารกดภูมิคุ้มกัน และสารต้านอนุมูลอิสระ ซึ่งสารออกฤทธิ์ทางชีวภาพเหล่านี้สามารถนำไปใช้ประโยชน์ทั้งในด้านการแพทย์ การเกษตร และอุตสาหกรรม

ในการทดลองครั้งนี้ได้ศึกษาวิธีการแยกจุลินทรีย์เอนด้าไฟต์ในกลุ่มแบคทีโรมัยสีท่อนโอด้าจากกระถินณรงค์ และศึกษาชนิดของเอนด้าไฟต์โดยการหาลำดับเบสของยีน 16S rRNA จากนั้นจึงตรวจสอบความสามารถของแบคทีโรมัยสีท่อนโอด้าไฟต์ในการสร้างสารปฏิชีวนะขับยั่งแบคทีโรยและราที่ก่อโรคพืช และปลูกเชื้อแบคทีโรมัยสีท่อนโอด้าไฟต์ที่ได้รับการถ่ายยีน enhanced green fluorescent protein (*egfp*) กลับเข้าสู่พืช จากนั้นจึงติดตามการเข้าอยู่อาศัยของเอนด้าไฟต์ภายในเนื้อเยื่อจากการเรืองแสงของ enhanced green fluorescent protein

วัตถุประสงค์

1. คัดแยกและจำแนกแอคติโนมัยสีฟ่อน โคล่าไฟต์จากการระดินณรงค์โดยการหาลำดับเบสของ ชีน 16S rRNA และศึกษาความสัมพันธ์เชิงวิทยาการ
2. ศึกษาความสามารถของแอคติโนมัยสีฟ่อน โคล่าไฟต์ในการผลิตสารที่มีฤทธิ์ขับยั่ง จุลินทรีย์อื่นๆ รวมทั้งจุลินทรีย์ก่อโรคพืช
3. ถ่ายทอด egfp เข้าสู่แอคติโนมัยสีฟ่อน โคล่าไฟต์โดยวิธีคอนjugation ต่างสกุล (intergeneric conjugation) และติดตามการเข้าออกของสารโดยการปั๊กหรือกลับสู่กระดินณรงค์แล้วตรวจสอบจาก การเรืองแสงของ enhanced green fluorescent protein (EGFP)

การตรวจเอกสาร

แอคติโนมัยสีท

1. ลักษณะของแอคติโนมัยสีท

แอคติโนมัยสีทเป็นแบคทีเรียแกรมบวกอยู่ใน Class Actinobacteria Subclass

Actinobacteridae และ Order Actinomycetales (Stackebrandt and Rainey, 1997) เป็นแบคทีเรียที่มีลักษณะทางสัณฐานวิทยาที่หลากหลาย มีการสร้างเส้นใย เรียกว่า ไฮฟ้า (hypha) เมื่อแอคติโนมัยสีทเจริญบนอาหารแข็งจะสร้างเส้นใยอาหาร (substrate mycelium หรือ vegetative mycelium) แห้งลงไปในอาหาร หลายสกุลจะสร้างเส้นใยอากาศ (aerial mycelium) ซึ่งหนืดผิวอาหาร และเกิดการเปลี่ยนแปลงรูปร่างเป็นสปอร์เกิดขึ้น รูปร่างสปอร์ของแอคติโนมัยสีทมีลักษณะหลากหลาย อาจมีลักษณะเป็นสปอร์เดียว (single spore) เช่น สกุล *Micromonospora* และ *Thermononospora* สปอร์เรียงต่อกันเป็นสาย เช่น สกุล *Streptomyces* ซึ่งสายสปอร์สามารถเรียงต่อกันเป็นหลายรูปร่าง ไม่ว่าจะเป็นเส้นตรง (rectiflexible) เป็นรูปโพลิก (retinaculaperti) รูปเกลียว (spira) หรือเป็นกิ่งก้าน (verticillati) ผิวของสปอร์ อาจมีลักษณะเรียบ (smooth) มีขน (hairy) เป็นหนาม (spiny) หรือขรุขระ (rugose) ก็ได้ นอกจากนี้แอคติโนมัยสีทบางกลุ่มยังสร้างสปอร์อยู่ในถุงหุ้ม (sporangia) เช่น สกุล *Actinoplanes* เป็นต้น (Vobis, 1997) อย่างไรก็ตามแอคติโนมัยสีทบางสกุลก็ไม่สร้างสปอร์ เช่น แอคติโนมัยส์ทในกลุ่มที่เรียกว่า Nocardioform ได้แก่ สกุล *Nocardia*, *Nocardiopsis*, *Oerskovia*, *Promicromonospora* และ *Intrasporangium* โดยเกิดการแตกหักของเส้นใยเป็นรูปกลม (cocoid) หรือแท่ง (rod) สปอร์ของแอคติโนมัยสีทส่วนใหญ่มักไม่เคลื่อนที่ (nonmotile) แต่บางสกุล เช่น สกุล *Sporichthya* และ *Actinosynnema* สร้างสปอร์ที่สามารถเคลื่อนที่ได้ (planospore หรือ zoospore) เนื่องจากมีการสร้างแฟลกเจลล่า (flagella) ที่สปอร์ จึงทำให้สปอร์สามารถเคลื่อนที่ในน้ำได้ สำหรับลักษณะโคโลนีของแอคติโนมัยสีทภายในสีทภัยได้กล่องจุลทรรศน์นั้นจะพบว่า โคโลนีเกิดจากเส้นใยอาหารที่เจริญรวมกันแน่น โคโลนีอาจมีสีแตกต่างกัน ตามสีของสปอร์ที่อยู่ด้านบน เช่น สีขาว เหลือง ส้ม ชมพู แดง ม่วง น้ำเงิน เงียว น้ำตาล และคำ เป็นต้น ส่วนด้านล่างของโคโลนีจะมีสีตามสีของเส้นใยอาหาร ลักษณะโคโลนีอาจพบว่า มีลักษณะรูปร่างนูน แบบ หรือคล้ายแผ่นหนัง (Vobis, 1997) ขนาดของโคโลนีมีความหลากหลายเช่นกัน โดยที่น้อยกับสายพันธุ์ของแอคติโนมัยสีท อายุอาหารและสภาพที่ใช้เลี้ยง แอคติโนมัยสีทสามารถสร้างสารสีเมลานินและสารสีอื่น ออกมาระยะในอาหารเลี้ยงได้ นอกจากนี้ยังมีการผลิตสาร geosmin (trans-1,10-dimethyl decalol) ซึ่งมีกลิ่นเฉพาะตัวคล้ายดิน (earth odor) (Williams et al., 1989)

แอคติโนมัยสีทโดยส่วนใหญ่เป็นพากที่ต้องการออกซิเจนในการเจริญ แอคติโนมัยสีทบางชนิด เช่น สกุล *Frankia* ต้องการอาหารส่วนใหญ่เป็นไนโตรเจนและออกไซด์ แต่ไม่สามารถเจริญได้ การกระจายของแอคติโนมัยสีทในธรรมชาติพบมากที่สุดในดิน และแหล่งน้ำ โดยเฉพาะอย่างยิ่งสกุล *Streptomyces* ซึ่งเจริญได้ดีที่อุณหภูมิ 25-35 องศาเซลเซียส ค่า pH 6.5-8.0 โดยใช้แหล่งคาร์บอนและไนโตรเจนเป็นแหล่งพลังงาน ได้หลากหลาย เช่น กรูโคส เปปโตน และกลีเซอรอล เป็นต้น ส่วนมากสามารถทนเกลือได้ร้อยละ 3 ขึ้นไป แต่บางสายพันธุ์อาจทนเกลือได้ถึงร้อยละ 13 (Williams et al., 1989)

แอคติโนมัยสีทมีความสำคัญต่อระบบภูมิคุ้มกัน โดยเป็นจุลทรรศน์ที่มีความสามารถยับยั้งอินทรีสาร ได้แก่ ชาเขียวและชาเขียวที่ย่อยสลายยาก ซึ่งทำให้คืนอุดมสมบูรณ์ (Alexander, 1997) นอกจากนี้แอคติโนมัยสีทโดยเฉลี่ยอย่างยิ่ง *Streptomyces* เป็นจุลทรรศน์กลุ่มสำคัญที่ผลิตสารเมตาโบไลต์ทุติยภูมิ (secondary metabolite) ซึ่งมีสมบัติเป็นสารออกฤทธิ์ทางชีวภาพที่มีประโยชน์ทั้งในด้านการแพทช์ เช่น ยาปฏิชีวนะซึ่งมีจำนวนมากถึงสองในสามของยาปฏิชีวนะที่ใช้อยู่ทุกวันนี้ รวมไปถึงสารต้านมะเร็ง และสารต้านภัยคุกคาม สารออกฤทธิ์ทางชีวภาพที่นำมาประยุกต์ใช้ในการเกษตรและอุตสาหกรรม เช่น สารฆ่าแมลงและสารปรับวัชพืช เป็นต้น (Goodfellow et al., 1988)

2. การจำแนกแอคติโนมัยสีทในระดับสกุล

ลักษณะทางสัณฐานวิทยา (morphology)

การจัดจำแนกเชื้อแอคติโนมัยสีทในระดับสกุลจากลักษณะทางสัณฐานวิทยานั้นทำได้โดยเดี่ยวๆ เช่น บนอาหารแข็งที่มีชาตุอาหารต่าง เช่น water agar ที่เติมสารอาหารอื่นเพียงเล็กน้อย เช่น เคชีน yeast extract หรือแป้ง แล้วตรวจสอบภายใต้กล้องจุลทรรศน์แบบใช้แสง โดยใช้เลนส์วัตต์ที่มีระยะการทำงานสูง (long-working distance objective lens) ซึ่งจะสามารถศึกษาลักษณะทางสัณฐานวิทยาของแอคติโนมัยสีทได้โดยตรงบนอาหารเดี่ยวๆ ในกรณีที่ต้องการศึกษารายละเอียดมากขึ้น เช่น ลักษณะของผิวสปอร์ ก็ใช้กล้องจุลทรรศน์อิเลคตรอนแบบส่องกระดาศ (scanning electron microscope; SEM) ร่วมด้วย ลักษณะทางสัณฐานวิทยาที่มีความจำเป็นต้องศึกษาเพื่อใช้จำแนกแอคติโนมัยสีทในระดับสกุล ได้แก่ ลักษณะของเส้นใย การสร้างเส้นใยอากาศ รูปร่างและการเรียงตัวของสปอร์ ลักษณะการสร้างสปอร์แบบมีถุงหุ้ม นอกจากนี้การจำแนกแอคติโนมัยสีทบางสกุลอาจดูจากโครงสร้างพิเศษอื่นๆ เช่น สปอร์ที่เคลื่อนที่ได้ (synnemata) และการสร้างสปอร์ที่มีถุงหุ้มแบบเทียม (pseudosporangium) เป็นต้น (Williams et al., 1989)

ลักษณะทางเคมีของเซลล์ (cell chemistry)

การจำแนกแอกติโนมัยสีทโดยใช้ลักษณะทางเคมีของเซลล์เป็นวิธีที่สะดวกและมีความถูกต้องเมื่อวิเคราะห์ร่วมกับข้อมูลทางสัณฐานวิทยา ลักษณะทางเคมีของเซลล์ที่ศึกษา ได้แก่ ชนิดของกรดอะมิโนที่พบที่พนังเซลล์ และน้ำตาลที่พบในเซลล์ เป็นต้น การศึกษาดังกล่าวทำได้โดยใช้เทคนิคโครมาโตกราฟีแบบกระดาษ (paper chromatography) เพื่อวิเคราะห์องค์ประกอบของพนังเซลล์ว่าประกอบด้วย diaminopimelic acid (DAP) แบบ meso- หรือ LL- หรือประกอบด้วย DAP ทั้งสองชนิด และการวิเคราะห์น้ำตาลที่พบในเซลล์ว่าประกอบด้วยน้ำตาลชนิดใดบ้าง เมื่อนำข้อมูลไปวิเคราะห์ร่วมกับลักษณะทางสัณฐานวิทยาจึงสามารถจำแนกแอกติโนมัยสีทในระดับสกุล ได้ (Lechevalier and Lechevalier, 1970)

การหาลำดับเบสของยีน 16S rRNA

นอกจากจะใช้ลักษณะทางสัณฐานวิทยา หรือลักษณะทางเคมีของเซลล์ในการจัดจำแนกแอกติโนมัยสีทในระดับสกุลแล้ว การวิเคราะห์ลำดับเบสของยีน 16S rRNA ยังสามารถจำแนกแอกติโนมัยสีทในระดับสกุลจนถึงสปีชีส์ได้ เนื่องจากในช่วงระหว่างปี 1940 ถึง 1950 มีการค้นพบ *Streptomyces* ที่สามารถสร้างสารเคมีไว้ในไอล์เซนิดใหม่มากมาย โดยมักเป็น *Streptomyces* สปีชีส์ใหม่ด้วย แต่เมื่อจำนวนสปีชีส์เพิ่มมากขึ้นจึงยากที่จะระบุว่า *Streptomyces* ชนิดดังกล่าวเป็นสายพันธุ์ใหม่หรือไม่ เนื่องจากการจำแนกสปีชีส์แบบเดิมนั้นอาศัยลักษณะทางสัณฐานวิทยาร่วมกับการวิเคราะห์ทางเคมีดังที่ได้กล่าวมาแล้ว หรืออาศัยวิธีทางชีวเคมี เช่น วิเคราะห์การใช้แหล่งคาร์บอน และในโตรเจน รวมทั้งความสามารถในการใช้สารเคมีต่าง โดยวิธีการเหล่านี้จะมีความผันแปรตามสภาพแวดล้อมในขณะนั้น ได้ วิธีการทางชีวโมเลกุล เช่น การวิเคราะห์ลำดับเบสของยีน 16S rRNA จึงเป็นวิธีที่มีความเหมาะสม เนื่องจากสภาพแวดล้อมไม่มีผลต่อองค์ประกอบของดีเอ็นเอหรือโครโนโซม (Masakazu et al., 1997)

ไรโนไซด์อาร์เอ็นเอ หรือ rRNA เป็นอาร์เอ็นเอมีความสำคัญในกระบวนการแปลงรหัส เนื่องจากเป็นองค์ประกอบของไรโนไซด์ ไรโนไซด์ของสิ่งมีชีวิตประกอบโดยมีขนาด 70S ประกอบด้วย 2 หน่วยย่อย คือ หน่วยย่อย ขนาด 50S ซึ่งมี rRNA ชนิด 23S และ 5S ขนาดประมาณ 3 กิโลเบส และ 120 เบส ตามลำดับ รวมอยู่กับไรโนไซด์อลูโพรตีน และหน่วยย่อย 30S ซึ่งมี rRNA ชนิด 16S ขนาดประมาณ 1.5 กิโลเบส ในแบบมีเรียกว่า ยีน rRNA มี 5-10 ชุด กระจายอยู่บน

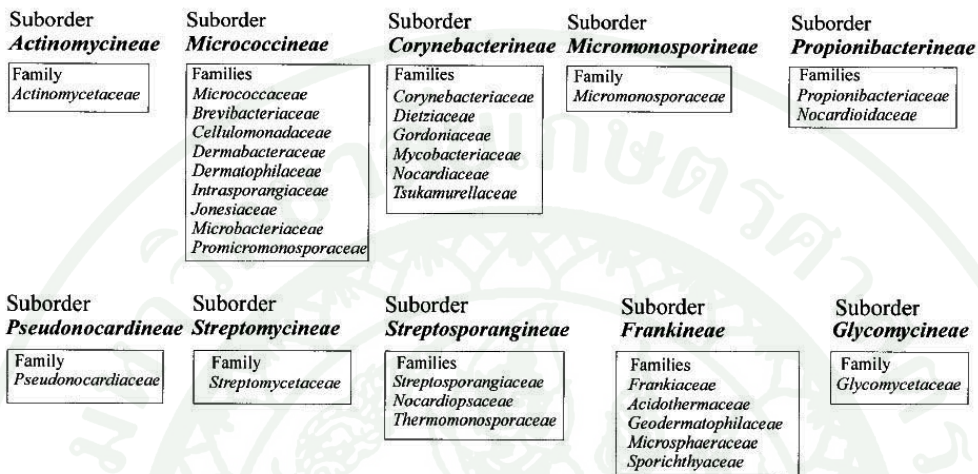
โกร โน้มโฉม (Lewin, 2000) ยืน rRNA ใน *S. griseus* เรียงลำดับ 16S-23S-5S มีโครงสร้างทุติยภูมิที่เรียกว่า “stem and loop” ประมาณ 50 ชุด (Pernodet *et al.*, 1989) ที่บริเวณส่วนปลายสุดทางด้านปลาย 3' ของ 16S rRNA มีลำดับเบส 6 เบส คือ 5'-CCUCCU-3' ทำหน้าที่จับกับบริเวณลำดับเบส Shine-Dalgano ที่บริเวณปลาย 5' ของสาย mRNA ซึ่งอยู่ก่อนถึงตำแหน่งโคดอนเริ่มต้น AUG ส่วนบริเวณ 3' major domain ทำหน้าที่จับกับแอนติโคดอนของ tRNA ทั้งด้าน A-site และ P-site นอกจากนี้ยังมีบริเวณที่ใช้จับกับ initiation factor 3 (IF3) อีกด้วย (Lewin, 2000)

จากการศึกษาลำดับนิวคลีโอไทด์ของยีน 16S rRNA ใน *Streptomyces* พบว่าตำแหน่งนิวคลีโอไทด์ที่ 158-278 ซึ่งมีความยาว 120 คู่เบส เป็นส่วนที่มีความแตกต่างกันสูงถึง 20 % ในแต่ละสปีชีส์ (Stackebrandt *et al.*, 1991) เรียกบริเวณนี้ว่าบริเวณอัลฟ่า หรือบริเวณที่มีความผันแปรสูง (alpha region หรือ variable region) และภายในบริเวณอัลฟ่ายังประกอบด้วยบริเวณแกรมมา (gamma region) คือ ตำแหน่งนิวคลีโอไทด์ที่ 172-202 ซึ่งจะพบความแตกต่างของลำดับ นิวคลีโอไทด์ระหว่างสปีชีส์ได้มากที่สุด นอกจากนี้ยังพบความแตกต่างได้อีกระดับหนึ่งที่ตำแหน่งนิวคลีโอไทด์ที่ 1102-1122 ซึ่งเรียกว่าบริเวณเบตา (beta region) ส่วนบริเวณอื่นๆ ในยีนนอกเหนือบริเวณดังกล่าว จะพบความแตกต่างอีกประมาณ 5 % มีรายงานแสดงให้เห็นว่าความแตกต่างบริเวณอัลฟาร่องยีน 16S rRNA พบว่าสามารถจำแนก *Streptomyces* ในแต่ละสปีชีส์ได้ (Kataoka *et al.*, 1997)

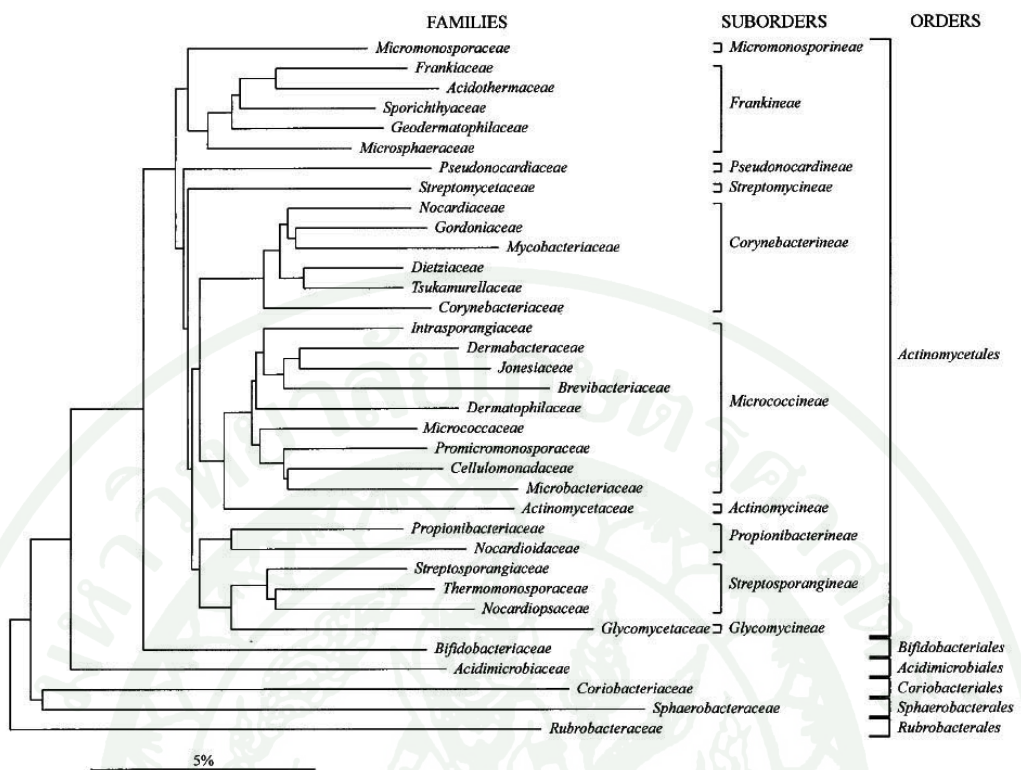
เมื่อนำลำดับเบสของยีน 16S rRNA ของแอคติโนมัยสีที่อยู่ใน class Actinobacteria order Actinomycetales จำนวน 30 order มาวิเคราะห์ความสัมพันธ์ทาง phylogenetics พบว่าการจัดกลุ่มของแอคติโนมัยสีที่ ให้ผลแตกต่างจากเดิมซึ่งวิเคราะห์จากข้อมูลทางสัมฐานวิทยาและลักษณะทางเคมีของเซลล์ (Stackebrandt and Rainey, 1997) ดังแสดงในภาพที่ 1 และ 2

Class *Actinobacteria*

Subclass <i>Acidimicrobidae</i>	Order <i>Acidimicrobiales</i>	Family <i>Acidimicrobiaceae</i>
Subclass <i>Rubrobacteridae</i>	Order <i>Rubrobacterales</i>	Family <i>Rubrobacteraceae</i>
Subclass <i>Coriobacteridae</i>	Order <i>Coriobacterales</i>	Family <i>Coriobacteriaceae</i>
Subclass <i>Sphaerobacteridae</i>	Order <i>Sphaerobacterales</i>	Family <i>Sphaerobacteraceae</i>
Subclass <i>Actinobacteridae</i>	Order <i>Actinomycetales</i>	



ภาพที่ 1 การจัดกลุ่มของแบคทีโรบakteร์โดยใช้ลำดับแบบของยีน 16S rRNA (Stackebrandt and Rainey, 1997)



ภาพที่ 2 ความสัมพันธ์แยกต่อไปนี้แบบที่เรียกจากการวิเคราะห์ลำดับเบสของยีน 16S rRNA
(Stackebrandt and Rainey, 1997)

แอคติโนมัยสีฟ่อนโอดไไฟต์

1. ความหมายของเอนโอดไไฟต์

จุลินทรีย์เอนโอดไไฟต์ (endophytic microorganism) เป็นจุลินทรีย์ที่อาศัยอยู่ภายในเนื้อเยื่อพืชหรือมีช่วงไดช่วงหนึ่งในวงจรชีวิตอาศัยอยู่ภายในเนื้อเยื่อพืช ไม่ว่าจะเป็นส่วนของราก ใบ หรือลำต้น (Azevedo *et al.*, 2000; Strobel, 2003) ความสัมพันธ์ระหว่างจุลินทรีย์เอนโอดไไฟต์กับพืชพบว่าอาจเป็นแบบ symbiosis หรือแบบ mutualism จากการศึกษาความหลากหลายทางชีวภาพของจุลินทรีย์เอนโอดไไฟต์พบว่า บางครั้งอาจเป็นจุลินทรีย์ที่ก่อให้เกิดโรคพืช หรือก่อให้เกิดโรคด้วยโอกาสในพืช (opportunistic pathogen) จุลินทรีย์เอนโอดไไฟต์พบทั้ง แบคทีเรียและรา ส่วนกลุ่ม mycoplasma และ achaebacteria อาจพบได้บ้างแต่ยังไม่มีหลักฐานยืนยันแน่ชัด แต่เอนโอดไไฟต์ที่พบมากที่สุดเป็น คือ จุลินทรีย์จำพวกรา (Strobel, 2003)

2. ความหลากหลายและการกระจายตัวของเอนโอดไไฟติกแอคติโนมัยสีฟ

แอคติโนมัยสีฟที่เป็นเอนโอดไไฟต์ที่เป็นที่รู้จักกันดีอยู่ในสกุล *Frankia* ซึ่งพบครั้งแรกที่ปั่นรากของพืชวงศ์สนโดย Brunchorst ในปี 1886 *Frankia* มีการอยู่อาศัยร่วมกับพืชแบบ symbiosis และมีความสามารถในการตรึงไนโตรเจนได้ เช่นเดียวกับแบคทีเรียไรโซเบียมในพืชวงศ์ถั่ว (Williams *et al.*, 1989) จากนั้นจึงมีการค้นพบแอคติโนมัยสีฟเอนโอดไไฟต์ในสกุลอื่นๆ นอกเหนือจาก *Frankia* ในพืชเศรษฐกิจ เช่น ข้าวสาลี ข้าวโพด และข้าว ก็พบแอคติโนมัยสีฟเอนโอดไไฟต์ ในรากข้าวสาลีพบว่ามีแอคติโนมัยสีฟเอนโอดไไฟต์ในสกุล *Streptomyces*, *Microbispora*, *Micromonospora* และ *Nocardioides* โดยจำแนกด้วยวิธีหารձាតบเนสของยีน 16S rDNA เมื่อตรวจสอบการมีอยู่ของยีน *nec1* ซึ่งเป็นยีนที่ก่อให้เกิดโรคพืชด้วยเทคนิคพีซีอาร์กีพบว่า แอคติโนมัยสีฟเอนโอดไไฟต์เหล่านี้ไม่มียีน *nec1* จึงชี้ให้เห็นว่าจุลินทรีย์เหล่านี้ไม่ได้ก่อให้เกิดโรคพืช (Coombs and Franco, 2003a) รายงานดังกล่าวแสดงให้เห็นว่าพืชเป็นแหล่งที่มีความหลากหลายทางชีวภาพของแอคติโนมัยสีฟสูง ซึ่งแต่ต่างจากการกระจายตัวของแอคติโนมัยสีฟในดินตามธรรมชาติทั่วไป ซึ่งจะพบว่ามักเป็น *Streptomyces* เป็นส่วนใหญ่จากการศึกษาความหลากหลายของแอคติโนมัยสีฟเอนโอดไไฟต์ในรากข้าวสาลีที่ปลูกในพื้นที่มีสภาพดินต่างกัน โดยวิเคราะห์ความแตกต่างของยีน 16S rRNA โดยเทคนิค Terminal restriction fragment length polymorphism (T-RFLP) พบรความแตกต่างของแอคติโนมัยสีฟเอนโอดไไฟต์จากข้าวสาลีที่ปลูกอยู่ในพื้นที่ที่แตกต่างกัน ซึ่งให้เห็นว่าสภาพดินและจำนวนจุลินทรีย์ที่อยู่ในดินมีผลต่อชนิดและ

จำนวนของแอคติโนมัยสีทในรากข้าวสาลี (Conn and Franco, 2004) นอกจากนี้ข้าวที่ปลูกในประเทศจีน มีรายงานว่าสามารถคัดแยก *Streptomyces* จากรากໄicide (Tian *et al.*, 2004)

ในพืชใบเลี้ยงคู่หลาบนิคก์พับแอคติโนมัยสีทเอนโดไฟต์ เช่น สามารถคัดแยกแอคติโนมัยสีทในสกุล *Streptomyces* จาก根瘤菌 (Cao *et al.*, 2004a; Tan *et al.*, 2006) รากและใบของกล้วย (Cao *et al.*, 2004b) ที่ปลูกในประเทศจีน ในมันฝรั่งยังพบแอคติโนมัยสีทเอนโดไฟต์สายพันธุ์ใหม่ คือ *Kribbella solani* (Song *et al.*, 2004) นอกจากนี้ยังมีรายงานในพืชสมุนไพรไทยหลายชนิดอีกด้วย (Taechowisan *et al.*, 2003) จากรายงานดังกล่าวแสดงให้แอคติโนมัยสีทมีการกระจายในพืชหลากหลายชนิดโดยไม่ได้มีความจำเพาะ ทำให้สรุปได้ว่า การอยู่อาศัยของแอคติโนมัยสีทในพืชนั้นเป็นเหตุการณ์ปกติที่พบได้ทั่วไปในธรรมชาติ เมื่อว่าจะยังไม่มีการศึกษาใกล้ๆ กันและประยุกต์ที่พืชกับแอคติโนมัยสีทมีร่วมกันอย่างแท้จริงก็ตาม (Hasegawa *et al.*, 2006)

การกระจายตัวของแอคติโนมัยสีทในส่วนต่างๆ ของพืช สามารถพบได้หลายส่วน เช่น ราก ใบ และลำต้น (Hasegawa *et al.*, 2006) โดยแอคติโนมัยสีทเอนโดไฟต์จะพบเป็นปริมาณมาก และมีความหลากหลายสูงที่สุดบริเวณราก สอดคล้องกับปริมาณของแอคติโนมัยสีทในบริเวณดินรอบราก (rhizosphere) ซึ่งทำให้สันนิษฐานได้ว่า แอคติโนมัยสีทเอนโดไฟต์ไม่ได้อาศัยอยู่ในพืชชนิดนั้นๆ มา ก่อนหน้าแต่อยู่อาศัยบริเวณดินรอบรากแล้วจึงเข้าไปอาศัยอยู่ในเนื้อรากต่อไป

3. ความสำคัญของแอคติโนมัยสีทเอนโดไฟต์

3.1 แหล่งของแอคติโนมัยสีทสายพันธุ์ใหม่

แอคติโนมัยสีทเป็นแบคทีเรียที่มีความสามารถเจริญได้ในสภาพแวดล้อมที่หลากหลาย ไม่ว่าจะเป็น ในดิน หรือแหล่งน้ำ แอคติโนมัยสีทที่เป็นที่รู้จักเดิมมากคัดแยกมาจากการแหล่งดิน (Alexander, 1997; Okazaki, 2006) เนื่องจากภายในเนื้อเยื่อพืชไม่ว่าจะเป็นรากหรือใบ ล้วนมีสภาพแวดล้อมต่างจากดิน ดังนั้น พืชจึงน่าจะเป็นแหล่งของแอคติโนมัยสีทที่หายากหรือแอคติโนมัยสีทสายพันธุ์ใหม่ (Okazaki, 2006) แอคติโนมัยสีทสกุลใหม่ที่แยกได้จากพืชนั้นเริ่มมีรายงานในปี 1978 โดย Hasegawa ซึ่งคัดแยกจากพืชตระกูลหญ้า แอคติโนมัยสีทสกุลใหม่ดังกล่าวมีชื่อว่า *Actinosynnema* จากนั้นจึงมีรายงานการพบแอคติโนมัยสีทสายพันธุ์ใหม่ที่คัดแยกได้จากพืชเรื้อรังมาจนถึงปัจจุบัน ยกตัวอย่างเช่น *Agromyces albus* ซึ่งแยกได้จากใบและลำต้นของ *Androsace* sp.

(Dorofeeva *et al.*, 2003) *Micromonospora coriariae* ซึ่งคัดแยกจาก *Coriaria myrtifolia* (Trujillo *et al.*, 2006) *Pseudonocardia oroxyli* จากพืชสมุนไพรจีน *Oroxylum indicum* (Gu *et al.*, 2006) *Micromonospora lupine* และ *M. saelicesensis* จากปมรากของ *Lupinus angustifolius*. (Trujillo *et al.*, 2007) สำหรับพืชเศรษฐกิจและสมุนไพรในประเทศไทย มีรายงานการพบแอคติโนมัยสีฟ้าสายพันธุ์ใหม่ เช่นกัน คือ *Kineococcus gynurae* sp. nov. คัดแยกจากการว่าنمหากาฬ (Duangmal *et al.*, 2008) *Pseudonocardia acaciae* sp. nov. คัดแยกจากการของกระถินธรรังค์ (Duangmal *et al.*, 2009) ส่วนข้าวเหนียวและข้าวห้อมมะลิสามารถคัดแยก *Actinophytocola oryzae* gen. nov., sp. nov. (Indananda *et al.*, 2009a) และ *Actinoallomurus oryzae* sp. nov. (Indananda *et al.*, in press) ได้ตามลำดับ

3.2 แหล่งผลิตสารออกฤทธิ์ทางชีวภาพ

สารปฏิชีวนะที่ใช้กันทุกวันนี้ถึงสามในสี่ ได้มาจากแอคติโนมัยสีฟ้า และร้อยละ 80 ของยาปฏิชีวนะที่ได้จากแอคติโนมัยสีฟ้านั้นผลิตมากจากสกุล *Streptomyces* (Baltz, 1998) อย่างไรก็ตาม มีการศึกษาพบว่า มีปริมาณแบคทีเรียหรือรากอ่oroคที่ดื้อยาปฏิชีวนะเพิ่มสูงขึ้นอย่างรวดเร็ว ดังนั้นแอคติโนมัยสีฟ่อนโดยไฟต์จึงเป็นที่คาดหวังว่าจะเป็นแหล่งผลิตสารออกฤทธิ์ทางชีวภาพใหม่ๆ ซึ่งนำมาใช้ทดแทนสารเดิม ได้ (Igarachi, 2004)

แอคติโนมัยสีฟ่อนโดยไฟต์หลายชนิดสามารถผลิตสารปฏิชีวนะที่ออกฤทธิ์ขึ้นขึ้น แบคทีเรียและรากอ่oroคในมนุษย์ สาร *munumbicins* ซึ่งมีฤทธิ์ขึ้นขึ้นแบคทีเรียแกรมบวกและคลบที่ก่อโรคในมนุษย์ เช่น *Staphylococcus aureus*, *Enterococcus faecalis* และ *Mycobacterium tuberculosis* และต่อต้านปรารถตที่ก่อให้เกิดโรคไข้จับสัม *Plasmodium falciparum* สาร *munumbicins* นี้ผลิตโดย แอคติโนมัยสีฟ่อนโดยไฟต์ในสกุล *Streptomyces* sp. NRRL 30562 ซึ่งแยกได้จากใบและลำต้นของพืชสมุนไพร *Kennedia nigriscans* หรือ Snakevine ในประเทศไทย (Castillo *et al.*, 2002) แอคติโนมัยสีฟ่อนโดยไฟต์ในสกุล *Streptomyces* ที่พบในพืชสกุล *Celataceae* สามารถผลิตสารประกอบชนิดใหม่ประเกท *chloropyrrol* และ *chlorinated anthracyclinone* ซึ่งออกฤทธิ์ต่อต้านเชื้อก่อโรคในกลุ่ม *mycobacteria* ได้ (Pullen *et al.*, 2002) สาร *coronamycin* ผลิตโดย แอคติโนมัยสีฟ่อนโดยไฟต์ในสกุล *Streptomyces* ที่สามารถออกฤทธิ์ต่อต้านเชื้อก่อโรคในมนุษย์ได้ เช่น *Cryptococcus neoformans* และ *Plasmodium falciparum* เป็นต้น (Ezra *et al.*, 2004) หรือ สาร *novobiocin* and *cedarmycin* ซึ่งเป็นสารชนิดใหม่ที่มีฤทธิ์เป็นสารปฏิชีวนะ (Igarachi, 2004)

3.3 ควบคุมจุลินทรีย์โรคพืช

แอคติโนมัยสีท่อนโอดาไฟต์สามารถผลิตสารปฎิชีวนะซึ่งมีฤทธิ์ยับยั้งแบคทีเรียและรากร่อโรคพืชในหลอดทดลองได้ เช่น แอคติโนมัยสีที่ซึ่งคัดแยกจากมะเขือเทศ สามารถออกฤทธิ์ยับยั้งราก่อโรคในมะเขือเทศ *Fusarium oxysporum* (Smith, 1957) และ *Rizoctonia solanica* (Cao et al., 2004) นอกจากนี้ยังออกฤทธิ์ยับยั้งแบคทีเรียก่อโรคในมะเขือเทศ คือ *Ralstonia solanacearum* (Tan et al., 2006) อีกด้วย Tian และคณะ (2004) ได้คัดแยกแอคติโนมัยสีที่จำนวน 274 สายพันธุ์จากข้าว แล้วพบว่า แอคติโนมัยสีที่คัดแยกได้ถึง 50% สามารถออกฤทธิ์ยับยั้งราก่อโรคข้าวได้ ซึ่งผลการศึกษาดังกล่าวสอดคล้องกับ Taechowisan และ Lumyong (2003) ซึ่งคัดแยก แอคติโนมัยสีที่ จำนวน 59 สายพันธุ์ จากนั้น เมื่อทดสอบการออกฤทธิ์ยับยั้งราและเชื้อ *Candida albicans* พบว่า ส่วนมากสามารถออกฤทธิ์ยับยั้งจุลินทรีย์ทดสอบได้ เพื่อจะสามารถนำแอคติโนมัยสีท่อนโอดาไฟต์ไปใช้เป็นตัวควบคุมทางชีวภาพได้จริง Coombs และคณะ (2003b) จึงได้ทดลองคัดแยกแอคติโนมัยสีที่จากการรากข้าวสาลี จำนวนนักคัดเลือกสายพันธุ์ที่สามารถออกฤทธิ์ยับยั้งราก่อโรคของข้าวสาลี แล้วปลูกแอคติโนมัยสีที่ดังกล่าวกลับเข้าสู่ต้นข้าวสาลี พบว่า ต้นข้าวสาลีที่ได้รับการปลูกเชื้อมีความด้านทานต่อราก่อโรคพืชสูงกว่าชุดควบคุมอย่างมีนัยสำคัญทางสถิติ

3.4 กระตุ้นการเจริญของพืช

การเจริญของแอคติโนมัยสีท่อนโอดาไฟต์บางสายพันธุ์ในพืช พบว่า มีส่วนกระตุ้นทำให้พืชเจริญเติบโตดี เช่น เมื่อปลูกเชื้อ *Streptomyces MBR-52* สู่ต้นอ่อนของกุหลาบพันปี (rhododendron) พบว่า ต้นอ่อนมีจำนวนรากและความยาวมากกว่าชุดควบคุมที่ไม่ได้ปลูกเชื้อ แสดงให้เห็นว่าแอคติโนมัยสีที่ดังกล่าวสามารถกระตุ้นการเจริญเติบโตของพืชโดยการสร้างฮอร์โมนพืชบางชนิดได้ (Meguro et al., 2006) ข้อมูลดังกล่าวสนับสนุนผลการทดลองของ Igarachi และคณะ (2002) ซึ่งพบว่า *Streptomyces hygroscopicus* TP-A045 สามารถผลิตสาร pteric acid A และ B ซึ่งมีคุณสมบัติออกฤทธิ์เหมือนฮอร์โมน auxin ของพืช และสามารถกระตุ้นการงอก芽ของรากในถั่วได้ เช่นเดียวกับแอคติโนมัยสีที่ในสกุล *Streptomyces, Actinomadura, Nocardia, Nonomuraea* และ *Pseudonocardia* ที่คัดแยกจากกุหลาบในประเทศไทย พบว่า สามารถผลิตฮอร์โมนกลุ่ม auxin คือ indole-3-acetic acid (IAA) ในหลอดทดลองและบางสายพันธุ์ยังผลิตสารที่มีคุณสมบัติจับโลหะ คือไซเดอโรฟอร์ (Siderophore) ซึ่งถือว่าเป็นสารที่อาจช่วยกระตุ้นการเจริญเติบโตของพืชได้ (Nimnoi et al., 2009)

กระถินณรงค์

1. ลักษณะและความสำคัญ

กระถินณรงค์ มีชื่อวิทยาศาสตร์ว่า *Acacia auriculiformis* Cunn. ex Benth. มีชื่อท้องถิ่นว่า Northern black wattle (ออสเตรเลีย) หรือ wattle tree เป็นไม้ในวงศ์ Leguminosae ซึ่งจัดว่าเป็นพืชตระกูลถั่ว และเป็นไม้โടเร็วนิดหนึ่ง มีความสูงตั้งแต่ 8 เมตร และสามารถเจริญเติบโตได้สูงถึง 20-30 เมตร เป็นพันธุ์ไม้ไม่ผลัดใบจึงเห็นใบเขียวอุ่นตลอดปี มีใบเป็นพู่มhana ในของกระถินณรงค์มีลักษณะเป็นใบเดี่ยว หนา ใบสีเขียวเข้มและโค้งเป็นรูปเคียว ช่อดอกมีลักษณะเป็น spike ยาวประมาณ 10 เซนติเมตร ช่อดอกแต่ละช่อประกอบด้วยดอกเล็กๆ จำนวนมาก ดอกของกระถินณรงค์มีสีเหลืองและมีกลิ่นหอม เมื่อมีการผสมทั้งแบบข้ามต้น และการผสมเกสรแบบภายในตัว ดอกจะพัฒนา成ลายเป็นฝักสีเขียวเมื่อแก่เป็นสีน้ำตาลถึงดำ ในตอนแรกฝักจะเหยียดตรงก่อนที่จะบิดงอ ขึ้นเป็นรากในตอนหลัง เมล็ดกระถินณรงค์มีลักษณะกลมแบบขนาดเล็ก แต่ละฝักจะมีเมล็ดอยู่ภายใน เมล็ดอ่อนมีสีเขียว เมื่อแก่แล้วจะเป็นสีน้ำตาลเข้มหรือดำ (ทองพูล, 2545)

กระถินณรงค์ยังนำมาใช้เป็นวัตถุควบคุมสำหรับทำเยื่อกระดาษ ได้ดี ทั้งนิคฟอกและไม่ฟอกสี เนื่องจากกระถินณรงค์มีเยื่อที่ผ่านการฟอกแล้วนำไปผลิตกระดาษชนิดดี เช่น กระดาษเขียนหนังสือ เพราะมีคุณภาพใกล้เคียงกับเยื่อที่ได้จากไม้ยูคาลิปตัส ซึ่งหมายความว่ากระถินณรงค์มีคุณภาพไม่劣กว่ากระดาษชนิดต่างๆ และเป็นไม้โടเร็วจึงเหมาะสมแก่การใช้ผลิตกระดาษเพื่อทดแทนการผลิตเยื่อกระดาษซึ่งไม่เพียงพอภายในประเทศ และเหมาะสมสำหรับใช้เป็นเชื้อเพลิงเพราะให้ความร้อนสูง นอกจากนี้ยังมีประโยชน์ในการปลูกบริเวณสวนสาธารณะ หรือที่พักอาศัยเพื่อเป็นร่มเงา และดอกของกระถินณรงค์มีกลิ่นหอมจึงมีความเหมาะสมในการปลูกให้ร่มเงา (ทองพูล, 2545)

2. เอนโดไฟต์ในกระถินณรงค์

กระถินณรงค์เป็นพืชตระกูลถั่วซึ่งมีความทนทานต่อสภาพดินที่ไม่เหมาะสมและทนต่อการเปลี่ยนแปลงของค่า pH ของดินได้ดี เนื่องจากบริเวณรากมีรา ectomycorrhiza ในสกุล *Pisolithus* โดยไมซีเดียมของ *Pisolithus* sp. ที่เจริญออกมายานอกรากนี้จะช่วยพืชในการดูดซึมน้ำและอาหารซึ่งเป็นการช่วยกระตุ้นการเจริญเติบโตของพืช (Duponnois and Ba, 1999) และพบว่าช่วยให้พืชมีความทนทานต่อหන冬ตัวกลมที่เป็นแมลงศัตรูพืช (Duponnois et al., 2000) ฯ

endomycorrhiza ในสกุล *Glomus intraradices* ก็มีบทบาทในการกระตุ้นการเจริญเติบโตของกระถินแปรร่วงและพืชในสกุล *Acacia* เช่นเดียวกัน นอกจากนี้ยังพบว่ามีแบคทีเรีย *Pseudomonas monteilii* ช่วยในการเจริญของ mycorrhiza ในพืช โดย *P. monteilii* จะกระตุ้นการผลิตสารประกอบฟินอลิก เช่น hypaphorine ซึ่งช่วยส่งเสริมการเจริญของ mycorrhiza ให้เจริญได้ดีขึ้น (Duponnois and Plenchette, 2003)

นอกจากนี้ยังพบว่ามีแบคทีเรียในสกุล *Bradyrhizobium* อาศัยอยู่บริเวณปมรากของกระถินแปรร่วง ซึ่งจุลทรรศน์มีความสามารถในการตั้งในโตรเรนได้ จึงส่งเสริมให้กระถินแปรร่วงเจริญได้เร็วและช่วยเพิ่มความอุดมสมบูรณ์ของดินบริเวณนั้น จากการศึกษาปลูกเชื้อ *Bradyrhizobium* sp. และรา mycorrhiza เข้าสู่เมล็ดของกระถินแปรร่วงแล้วนำไปปลูก พบว่าต่างส่งเสริมการเจริญเติบโตของกระถินแปรร่วง และช่วยให้พืชมีความทนทานต่อสภาพดิน得到 (Diouf et al., 2005)

การติดตามการเข้าอยู่อาศัยของเออนโดไฟต์ในเนื้อเยื่อพืช

การศึกษาความสัมพันธ์ระหว่างแบคทีเรียกับพืช อาทิ แบคทีเรียก่อโรคพืช (phytopathogenic bacteria) แบคทีเรียเออนโดไฟต์ และแบคทีเรียบริเวณรากพืช (rhizospheric bacteria) สามารถศึกษาและติดตามการบุกรุก (infection), การเจริญ (colonization) และตำแหน่งของแบคทีเรียภายในเนื้อเยื่อพืช (localization) ได้โดยการถ่ายรูปงาน เช่น ยีน *gus* หรือ *lacZ* สู่ แบคทีเรียเหล่านี้ แล้วปลูกเชือกกลับเข้าสู่พืช จากนั้นนำเนื้อเยื่อพืชไปข้อมือชับสเตรท เช่น 5-bromo-4-chloro-3-indolyl- β -D-glucuronide (X-GlcA) หรือ 5-bromo-4-chloro-3-indolyl- β -D-galactoside (X-Gal) และวิจัยตรวจสอบตำแหน่งของแบคทีเรียในเนื้อเยื่อพืชจากจุดที่เกิดขึ้น (Sessitsch et al., 1998)

การติดตามแอคติโนมัยสีท่อนโดไฟต์ในพืชอาจทำได้โดยการปลูกเชือกแอคติโนมัยสีที่สันใจสู่ต้นอ่อนของพืช จากนั้นจึงนำพืชไปปลูกแล้วตรวจสอบการอยู่อาศัยของแอคติโนมัยสีที่โดยกัดแยกแอคติโนมัยสีทโดยเทคนิคทำให้ผิวของพืชปลอดเชื้อ (Coombs and Franco, 2003a) อี่างไรก็ตามวิธีดังกล่าวยังมีข้อจำกัดที่ไม่สามารถระบุตำแหน่งของการเจริญของแอคติโนมัยสีที่ในเนื้อเยื่อพืช และยังไม่สามารถควบคุมการปนเปื้อนของแอคติโนมัยสีทอื่นๆ ได้ Sardi et al. (1992) จึงติดตามแอคติโนมัยสีท่อนโดไฟต์ในรากมะเขือเทศโดยใช้กล้องจุลทรรศน์อิเลคตรอนแบบส่อง粒 (Scanning electron microscope; SEM) พบรการเจริญของเส้นใยของแอคติโนมัยสีทบริเวณพื้นผิว

ราคแต่ยังไม่สามารถยืนยันความสัมพันธ์ที่แท้จริงระหว่างแอคตีโนมัยสีฟ้ากับพืชได้ Suzuki *et al.* (2005) ประสบความสำเร็จในการติดตามแอคตีโนมัยสีฟ้าในโอดาไฟต์ในใบของกุหลาบพันปี โดยใช้กล้องจุลทรรศน์อิเล็กตรอนแบบส่องผ่านร่วมกับเทคนิค histochemistry พบการบุกรุกของแอคตีโนมัยสีฟ้าเข้าทางปากใบและเจริญในเนื้อเยื่อใบ จึงสามารถอธิบายและยืนยันความสัมพันธ์ระหว่างแอคตีโนมัยสีฟ้าในโอดาไฟต์กับพืชได้

ยีน green fluorescent protein (*gfp*) เป็นยีนที่พบในแมลงกระพรุน *Aequorea victoria* ผลิตโปรตีนขนาด 27 kDa มีคุณสมบัติเรืองแสงได้ด้วยตัวองค์ภัยได้แสงอัลตราไวโอเลตหรือแสงสีฟ้าโดยไม่ต้องอาศัยชั้บสเตรทหรือ co factor ใดๆ จึงถูกนำมาใช้เป็นยีนรายงานที่มีความไวสูง สามารถนำมาติดตามการแสดงออกของยีนในเซลล์ที่มีชีวิตได้ (Chalfie *et al.*, 1994; Tsien, 1998) และสามารถนำมาใช้ติดตามการบุกรุกและการเจริญของแบคทีเรียและราก่อโรคพืชในระบบท่างๆ ของ การพัฒนาในพืช เช่น การติดตามการบุกรุกและการพัฒนาของราก่อโรคพืช *Fusarium oxysporum* ในมะเขือเทศ (Lagopodi *et al.*, 2002) การติดตามการแพร่ขยายของแบคทีเรียก่อโรคพืช *Xylophilus ampelinus* ในเนื้อเยื่อขององุ่น (Grall and Manceau, 2003) และการบุกรุกของแบคทีเรีย *Erwinia amylovora* ในเนื้อเยื่อใบของแอปเปิล (Bogs *et al.*, 2004) นอกจากนี้ยังใช้ติดตามการบุกรุก การเจริญและตำแหน่งของเอนโอดาไฟต์ภายในเยื่อพืชในระบบการเจริญต่างๆ ได้ เช่น ติดตามเอนโอดาไฟต์กลุ่มไโรโซเบียมในรากถั่วอัลฟิลฟ้า (*Medicago sativa*) ซึ่งสามารถติดตามการเจริญของเอนโอดาไฟต์ในทุกระยะ การเจริญของพืชนี้ได้ (Gage *et al.*, 1996) การติดตามไโรโซเบียมใน *Arabidopsis* และในมันฝรั่ง (Hallmann *et al.*, 2001) รวมทั้ง ไโรโซเบียมและ *Agrobacterium* ในรากข้าวสาลี (Sharma *et al.*, 2005) นอกจากนี้ยังมีการใช้ยีน *gfp* ในการติดตามเอนโอดาไฟติกแบคทีเรียกลุ่มอื่นๆ เช่น *Pantoea* sp. และ *Ochrobactrum* sp. ในข้าว (Verma *et al.*, 2004) *Bacillus megaterium* C4 ในรากข้าวและข้าวโพด (Liu *et al.*, 2006)

การใช้ยีน *gfp* เป็นยีนรายงานใน *Streptomyces* ในระยะแรกได้มีการทดลองถ่ายยีนนี้สู่ *S. coelicolor* แต่พบว่าไม่ประสบผลสำเร็จ เนื่องจากลำดับเบสของยีน *gfp* มีลักษณะเป็น A-T rich (38% G+C) ซึ่งแตกต่างกับลักษณะของโครโนไซม *S. coelicolor* ซึ่งเป็น G-C rich (74% G+C) และเกิดจากการเลือกใช้โคดอน (codon usage) ใน *Streptomyces* เนื่องจากยีน *gfp* ประกอบด้วยโคดอน TTA 3 โคดอน ซึ่งใน *Streptomyces* เลือกใช้โคดอนดังกล่าวนี้ต่ำมากจึงมีผลต่อการสังเคราะห์โปรตีน (Leskiw *et al.*, 1991) ปัจจุบันจึงได้มีการพัฒนาโดยการเปลี่ยนแปลงนิวคลีโอไทด์ประมาณ 190 ตำแหน่งภายในยีน *gpf* ส่งผลให้เกิดโปรตีนที่มีความสามารถเรืองแสงได้มากกว่าเดิมและการแสดงออกของยีนสูงขึ้น จึงเรียกยีนกลายนี้ว่า enhanced green fluorescent protein (*egfp*) ซึ่งมี

excitation wavelength ที่ 488 นาโนเมตรและมี emission wavelength ที่ 507 นาโนเมตร ยืน *egfp* สามารถนำมาใช้เป็นยืนรายงานในเซลล์สัตว์เลี้ยงสูกค้ำยน้ำนมได้ (Haas *et al.*, 1996; Cormack *et al.*, 1996) และพบว่ายืน *egfp* สามารถแสดงออกใน *Streptomyces* ได้ เมื่อจากมีการกำจัดโภคตอนที่ไม่เหมาะสมออกไป (Sun *et al.*, 1999)

ยืน *egfp* สามารถนำมาใช้ในการติดตามแอคติโนมัยสีฟ่อน โคลไฟฟ์ในพืชได้ เช่น ติดตามการบุกรุกของแอคติโนมัยสีฟ่อน โคลไฟฟ์สกุล *Streptomyces* ในข้าวสาลี โดยการถ่ายพลาสมิด pIJ8641 ซึ่งประกอบด้วย *egfp* โคลไวซิค่อนจูเกชันต่างสกุลถ่ายพลาสมิดจาก *E. coli* สู่ *Streptomyces* และพบว่ามีการแสดงออกของยืน *egfp* ใน *Streptomyces* จากนั้นเมื่อปลูกเชือกลับเข้าสู่เมล็ดข้าวสาลีแล้วนำไปปลูก พบว่าสามารถติดตามการบุกรุก การเจริญและตำแหน่งของเอน โคลไฟฟ์ในระบบการพัฒนาของข้าวสาลีได้ จากการเรื่องแสดงของโปรดตินนิดนี (Coombs and Franco, 2003)

การถ่ายพลาสมิดสู่ *Streptomyces* โดยวิธีค่อนจูเกชันต่างสกุล

การทำค่อนจูเกชันต่างสกุลระหว่าง *E. coli* และแบคทีเรียแกรมบวกหลายชนิด มีรายงานครั้งแรกโดย Trieu-Cuot และคณะ (1987) จากนั้นได้มีการพัฒนาวิธีการทำค่อนจูเกชันต่างสกุลระหว่าง *E. coli* และ *Streptomyces* ได้สำเร็จ (Mazodier *et al.*, 1989) และพัฒนาจนสามารถส่งถ่ายพลาสมิดเข้าสู่ *Streptomyces* ได้หลากหลายสายพันธุ์ (Bierman *et al.*, 1992; Fouces *et al.*, 2000) และสามารถส่งถ่ายพลาสมิดเข้าสู่แอคติโนมัยสีฟ่อนสกุลอื่นๆ ได้ เช่น *Amycolatopsis* (Stegmann *et al.*, 2001), *Actinoplanes* (Heinzelmann *et al.*, 2003), *Nonomuraea* (Stinch *et al.*, 2003) และ *Saccharopolyspora* (Matsushima *et al.*, 1994) เป็นต้น

การศึกษาค่อนจูเกชันต่างสกุลระหว่าง *E. coli* และ *Streptomyces* ในอดีตอาชีพ shuttle plasmid ที่มีจุดเริ่มต้นการจำลองของดีเอ็นเอ (origin of replication) ของ *E. coli* และ *Streptomyces* ซึ่งทำให้ พลาสมิดชนิดนี้สามารถจำลองตัวเองได้ใน *E. coli* และ *Streptomyces* การส่งถ่ายพลาสมิดจะอาศัย *oriT* จากพลาสมิด RK2 (IncP) ซึ่งอยู่บน shuttle plasmid และอาศัยการทำงานของยืน *tra* จากพลาสมิด RP4 ที่อยู่ใน *E. coli* ดังนั้นสายพันธุ์ของ *E. coli* ที่ใช้ในการทำค่อนจูเกชันต่างสกุลจะเป็นสายพันธุ์ที่มียืน *tra* จากพลาสมิด RP4 อยู่บนโกรโนโซม เช่น *E. coli* S17-1 (Mazodier *et al.*, 1989) หรือเป็น *E. coli* ที่มี self-transmissible plasmid เช่น สายพันธุ์ ET12567 ที่มีพลาสมิด pUB307 (Flett *et al.*, 1997) หรือสายพันธุ์ ET12567 ที่มีพลาสมิด pUZ8002 ซึ่งเป็น non-

transmissible plasmid (*Sia et al.*, 1996) นอกจากนี้ยังพบว่า การเลือกใช้สายพันธุ์ *E. coli* ที่มีการเติมหมู่เมชิลที่ดีอีกด้วย เช่น *E. coli* S17-1 จะมีประสิทธิภาพการส่งถ่ายพลาสมิดเข้าสู่ *Streptomyces* ต่ำกว่าการเลือกใช้ *E. coli* สายพันธุ์ที่ไม่มีการเติมหมู่เมชิล (มีจีโนไทป์เป็น *dam⁻* และ *dcm⁻*) ได้แก่ *E. coli* ET12567 เนื่องจาก *Streptomyces* มีกลไกป้องกันดีอีกด้วยแลกเปลี่ยนโดยทำลายดีอีกด้วย การเติมหมู่เมชิล (*Flett et al.*, 1997)

ปัจจุบันพลาสมิดที่ใช้ในการคุณูเกชันล้วนแต่เป็นพลาสมิดที่ไม่สามารถจำลองตัวเองได้ (non-replicative plasmid) ใน *Streptomyces* แต่สามารถจำลองตัวเองได้ใน *E. coli* เนื่องจากประกอบด้วยชุดเริ่มต้นการจำลองตัว (*ori*) ของ *E. coli* พลาสมิดเหล่านี้เมื่อเข้าสู่ *Streptomyces* แล้วจะเข้าไปรวมกับโครโนโซมโดยการเกิด site specific recombination ของตำแหน่ง attachment site (*attP*) ของฟ่าง \varnothing C31 ที่อยู่บนพลาสมิดนั้นๆ กับตำแหน่ง *attB* บนโครโนโซมของ *Streptomyces* (*Bierman et al.*, 1992)

การทำคุณูเกชันต่างสกุลระหว่าง *E. coli* และ *Streptomyces* สามารถทำได้โดยใช้สปอร์ (Mazodier *et al.*, 1989; Kitani *et al.*, 2000) หรือใช้ไมซีเดียมของ *Streptomyces* (*Bierman et al.*, 1992; Phornphisutthimas *et al.*, 2010) โดยการผสมสปอร์หรือไมซีเดียมกับเซลล์ *E. coli* ผู้ให้ในอัตราส่วนที่เหมาะสม จากนั้นนำไปเกลี่ยบนอาหารเลี้ยงเชื้อ และคัดเลือกผู้รับที่มีพลาสมิดหรือเอกซ์คอนูแgnant (exconjugant) โดยใช้ยาปฏิชีวนะตามชนิดของยีนต้านทานยาปฏิชีวนะบนพลาสมิดนั้นๆ (*Kieser et al.*, 2000) จากการศึกษาพบว่าการทำคุณูเกชันโดยใช้สปอร์ของ *Streptomyces* จะต้องมีการกระตุ้นการออกของสปอร์โดยบ่มสปอร์ที่อุณหภูมิเหมาะสมจะช่วยเพิ่มประสิทธิภาพการเกิดคุณูเกชันได้ (Mazodier *et al.*, 1989; Bierman *et al.*, 1992) นอกจากนี้ยังพบปัจจัยอื่นๆ ที่มีผลต่อประสิทธิภาพการเกิดคุณูเกชัน เช่น ชนิดของอาหารเลี้ยงเชื้อที่ใช้ (*Bierman et al.*, 1992; Kitani *et al.*, 2000; Phornphisutthimas *et al.*, 2010) และสภาวะที่ใช้ในการทำคุณูเกชันในเชื้อแต่ละชนิด ทำให้ต้องมีการศึกษาปรับปรุงวิธีการให้เหมาะสมกับเชื้อแต่ละชนิด (*Kitani et al.*, 2000)

อุปกรณ์และวิธีการ

1. จุลินทรีย์และพลาสมิดที่ใช้ในงานวิจัย

จุลินทรีย์และพลาสมิดที่ใช้ในงานวิจัยนี้แสดงไว้ในตารางที่ 1 และ 2 ตามลำดับ

ตารางที่ 1 จุลินทรีย์ที่ใช้ในงานวิจัย

สายพันธุ์	สมบัติ	แหล่งที่มา/เอกสารอ้างอิง
<i>Aspergillus niger</i>	wild-type	ATCC 6275
<i>Bacillus cereus</i>	wild-type	ATCC 11778
<i>Candida albicans</i>	wild-type	BCC 5390
<i>E. coli</i>	wild-type	ATCC 8739
<i>E. coli</i> ET12567 (pUZ8002)	<i>dam-13::Tn9 dcm-6 hsdM hsdS Km^r (tra Cm^r)</i>	MacNeil <i>et al.</i> (1992); Sia <i>et al.</i> (1996)
<i>E. coli</i> XL1-blue	<i>Sup E44hsdR17 recA1 endA1 gyrA thi relA1 lac-F^r [proAB⁺ lacI^r lacZ Δ M15 Tn10(tet^r)]</i>	Bullock <i>et al.</i> (1987)
<i>Erwinia carotovora</i> pv. <i>carotovora</i>	wild-type	สำนักวิจัยพัฒนาอารักษาน้ำ มหาวิทยาลัยเกษตรศาสตร์ วิทยาเขตบางเขน
<i>Fusarium moniliforme</i>	wild-type	สำนักวิจัยพัฒนาอารักษาน้ำ มหาวิทยาลัยเกษตรศาสตร์ วิทยาเขตบางเขน
<i>Fusarium proliferatum</i>	wild-type	DOAC 0842
<i>Helminthosporium oryzae</i>	wild-type	สำนักวิจัยพัฒนาอารักษาน้ำ มหาวิทยาลัยเกษตรศาสตร์ วิทยาเขตบางเขน
<i>Ralstonia solanacearum</i>	wild-type	สำนักวิจัยพัฒนาอารักษาน้ำ มหาวิทยาลัยเกษตรศาสตร์ วิทยาเขตบางเขน

ตารางที่ 1 (ต่อ)

สายพันธุ์	สมบัติ	แหล่งที่มา/เอกสารอ้างอิง
<i>Rhizobium</i> sp. strain DASA 36075	wild-type	กลุ่มงานวิจัยคุณทรีย์ดิน สำนักวิจัยพัฒนาป้องกันการผลิตทางการเกษตร กรมวิชาการเกษตร DOAC 1406 ATCC 25923
<i>Rhizoctonia solani</i>	wild-type	Xanthomonas campestris
<i>Staphylococcus aureus</i>	wild-type	ATCC 25923
<i>Xanthomonas campestris</i> pv. <i>glycine</i>	wild-type	สำนักวิจัยพัฒนา ovar กษาพืช มหาวิทยาลัยเกษตรศาสตร์ วิทยาเขตบางเขน

ตารางที่ 2 พลาสมิดที่ใช้ในงานวิจัย

พลาสมิด	สมบัติ	แหล่งที่มา/เอกสารอ้างอิง
pIJ8655	ColE1 replicon <i>oriT attP int Apr^r Thio^r egfp</i>	Sun et al. (1999)
pIJ10257	ColE1 replicon <i>oriT attP int Apr^r Thio^r</i>	John Innes Centre, UK

หมายเหตุ Km = kanamycin, Cm = chloramphenicol, Apr = apramycin, Tet = tetracyclin, Thio = thiostrepton, egfp = enhanced green fluorescent protein

2. สารเคมีและเอนไซม์ที่ใช้ในงานวิจัย

สารเคมีและอาหารเลี้ยงเชื้อที่ใช้ในงานวิจัยนี้ซื้อจากบริษัท Amresco (USA), APS Finechem (Australia), Becton Dickinson (USA), Fluka (Switzerland), Himedia (India), Hispanlab (Spain), Macherey-Nagel (Germany), Merck (Germany), Scharlau (Spain), Sigma (Germany) เอนไซม์ไลโซไซม์จากบริษัท Amresco (USA) และ Fluka (Switzerland) เอนไซม์ RNaseA จากบริษัท Amresco (USA) เอนไซม์ T4 DNA ligase เอนไซม์ตัดจำเพาะ เอนไซม์ Taq DNA polymerase และดีเอ็นเอมาตราฐาน (1 Kb DNA ladder) จากบริษัท Fermentas (USA)

3. การคัดแยกแบคทีโรมัยสีท่อนโดไฟต์จากกระถินณรงค์

3.1 การเก็บตัวอย่างพืชและการเก็บรักษา

เก็บส่วนรากและใบของกระถินณรงค์จาก มหาวิทยาลัยเกษตรศาสตร์ วิทยาเขตบางเขน กรุงเทพมหานคร, วิทยาเขตกำแพงแสน จังหวัดนครปฐม มหาวิทยาลัยหิดล วิทยาเขตศาลายา จังหวัดนครปฐม และสวนรถไฟ กรุงเทพมหานคร ส่วนของรากและใบก่อนนำมาศึกษาทันที หรือบรรจุในถุงพลาสติกแล้วเก็บไว้ที่ 4 องศาเซลเซียส จนกว่านำมาศึกษา

3.2 การแยกแบคทีโรมัยสีท่อนโดไฟต์จากตัวอย่างพืช

การแยกเอนโดไฟต์จากการพืชดัดแปลงจากวิธีการของ Coombs and Franco (2003a) และวิธีการของ Cao *et al.* (2004a) โดยแช่รากในน้ำกลั่นปราศจากเชื้อที่มี 0.1% Tween20 ในวดรูปชั่วโมงพါ่ เขย่าเป็นเวลา 5 นาที เพื่อจะล้างอนุภาคดินบริเวณราก (rhizosphere) จากนั้นแช่รากในเอทานอล 95% เขย่าเป็นเวลา 10 นาที แล้วแช่รากในน้ำกลั่นปราศจากเชื้อที่มี 1% NaOCl และ 0.1% Tween20 เขย่าด้วยความเร็ว 150 รอบต่อนาทีเป็นเวลา 15 นาที ล้างรากด้วยน้ำกลั่นที่ปราศจากเชื้อที่มี 0.1% tween20 3 ครั้ง นำน้ำล้างรากครั้งสุดท้ายมา 100 ไมโครลิตร เกลี่ยบนอาหาร starch casein agar (SCA, 1L: 10 g soluble starch, 0.3 g vitamin free casein, 2 g KNO₃, 2 g K₂HPO₄, 0.05 g MgSO₄, 0.02 g CaCO₃, 0.01 g FeSO₄, 15 g agar; Küster and Williams, 1964) ที่เติมยาปฏิชีวนะ ampicillin 100 ไมโครกรัมต่อมิลลิลิตร penicillin G 2.5 ยูนิตต่อมิลลิลิตร amphotericin B 50 ไมโครกรัมต่อมิลลิลิตร และ cyclohexamide 50 ไมโครกรัมต่อมิลลิลิตร บ่มที่ 28 องศาเซลเซียส นาน 1-2 สัปดาห์

นำส่วนของรากมาตัดเป็นชิ้นยาวประมาณ 1-2 เซนติเมตร ใส่ลงในโกร่งที่ผ่านการฆ่าเชื้อแล้ว เติมสารละลายน้ำ ¼ Ringer (0.9 % NaCl, 0.042 % KCl, 0.048 % CaCl₂, 0.02 % NaHCO₃) 2-3 มิลลิลิตร บดรากด้วยโกร่งให้ส่วนรากแตก จากนั้นดูดส่วนของสารละลายน้ำดังกล่าวเกลี่ยบนอาหาร SCA ที่เติมยาปฏิชีวนะดังกล่าวข้างต้น บ่มที่ 28 องศาเซลเซียส นาน 1-2 สัปดาห์ เก็บโคลนีแบคทีโรมัยสีที่เจริญขึ้นมาเลี้ยงบนอาหาร Mannitol soybean agar (MS, 1L: 20 g soybean, 20 g mannitol, 20 g agar) จนเชื้อบริสุทธิ์

ส่วนของรากที่ผ่านการบดแล้ว นำมาวางบนอาหาร SCA ที่เติมยาปฏิชีวนะดังกล่าว ข้างต้น และบนอาหาร water agar (1.5% agar) ที่เติมยาปฏิชีวนะเช่นเดียวกับอาหาร SCA บ่มที่ 28 องศาเซลเซียส นาน 1-2 สัปดาห์ เก็บโโคโลนีแอคติโนมัยสีที่เจริญขึ้นมาเลี้ยงบนอาหาร MS จน เชื้อบริสุทธิ์

3.3 การเก็บรักษาแอคติโนมัยสีท

เมื่อเชื้อมากลงบนอาหาร MS บ่มที่อุณหภูมิ 28 องศาเซลเซียส ประมาณ 1-2 สัปดาห์ เมื่อเชื้อเจริญดีจึงบุดสปอร์และไมซีเลียมลงในสารละลายกลีเซอรอล 20% เก็บที่อุณหภูมิ -80 องศาเซลเซียส

4. การศึกษาลักษณะทางสัณฐานวิทยา

4.1 การศึกษาสีสปอร์ สีเส้นใย และสารสีที่ละลายนำ

เลี้ยงแอคติโนมัยสีทบนอาหาร malt extract-yeast extract agar (ISP2) และอาหาร oatmeal agar (ISP3) (Shirling and Gottlieb, 1966) สังเกตการเจริญ บันทึกรูปร่างโโคโลนี สีของ สปอร์ สีเส้นใบอาหาร รวมทั้งสีของสารสีที่ละลายนำ

4.2 การศึกษาการสร้างสารสีเมลานิน

เลี้ยงแอคติโนมัยสีทบนอาหาร ISP7 (Shirling and Gottlieb, 1966) ชนิดที่เติม tyrosine และไม่เติม tyrosine นำไปบ่มในที่มีค่า pH 28 องศาเซลเซียส เป็นเวลา 1-2 สัปดาห์ บันทึกการ สร้างสารสีสีดำบนอาหาร ISP7 ที่เติม tyrosine และไม่เติม tyrosine ตามลำดับ

5. การจำแนกแอคติโนมัยสีทโดยการหาลำดับเบสของยีน 16S rRNA บางส่วน

5.1 การสกัดจีโนมิกดีเอ็นเอของแอคติโนมัยสีท

เลี้ยงแอคติโนมัยสีทในอาหารเหลว ISP2 บ่มที่อุณหภูมิ 28 องศาเซลเซียส โดยเบี่ยงด้วยความเร็ว 250 รอบต่อนาที เป็นเวลา 3 วัน จากนั้นนำไนซีเดียมมาสกัดดีเอ็นเอตามวิธีของ Kieser *et al.* (2000) โดยเติม lysis solution (0.3 M sucrose, 25 mM Tris-HCl, 25 mM EDTA, pH 8.0) ที่มีไอลโซไซด์ เข้มข้น 10 ไมโครกรัมต่อไมโครลิตร และ RNaseA เข้มข้น 50 ไมโครกรัมต่อมิลลิลิตร ปริมาตร 500 ไมโครลิตร ใช้ปีเปตต์คุดขึ้นลงให้เซลล์กระจาย นำไปบ่มที่อุณหภูมิ 37 องศาเซลเซียส เป็นเวลาประมาณ 1 ชั่วโมง โดยจะใช้ปีเปตต์คุดขึ้นลงระหว่างบ่ม 2-3 ครั้ง จากนั้นเติม 2 % sodiumdodecylsulfate (SDS) ปริมาตร 250 ไมโครลิตร พลิกหลอดไปมาให้ข่องเหลวผสมกันทันที เติมสารละลายฟินอล: คลอโรฟอร์ม: ไอโซเอมิลแอลกอฮอล์ (25:24:1) ปริมาตร 250 ไมโครลิตร ผสมให้เข้ากัน นำไปปั่นเหวี่ยงที่ 12,000 รอบต่อนาที เป็นเวลา 5 นาที คุณสารละลายส่วนบนถ่ายลงสู่หลอดใหม่ (อาจทำ ซ้ำ 2-3 ครั้ง ถ้ามีตะกอนโปรตีนระหว่างชั้นมาก) เติม 3 M sodium acetate ปริมาตร 0.1 เท่า ของปริมาตรสารละลายที่คุดได้ เติมไอโซโพรพานอล ปริมาตร 1 เท่า ผสมโดยพลิกหลอดไปมาเบาๆ ตั้งไว้ที่อุณหภูมิห้องเป็นเวลา 5 นาที แล้วปั่นเหวี่ยงที่ 12,000 รอบต่อนาที เป็นเวลา 10 นาที เทสารละลายออก แล้วถางตะกอนดีเอ็นเอด้วยเอทานอล 70 เปอร์เซ็นต์ ปริมาตร 200 ไมโครลิตร คุณสารละลายออกให้หมด ทิ้งให้ตะกอนแห้งที่อุณหภูมิห้อง แล้วละลายตะกอนดีเอ็นเอในบัฟเฟอร์ TE (10 mM Tris-HCl, 1 mM EDTA, pH 8.0) ปริมาตร 20-50 ไมโครลิตร ตามความเหมาะสม แล้วจึงตรวจสอบดีเอ็นเอที่ได้ด้วยเทคนิคการโภสเจลอะลีกโพรไฟร์ซิส (agarose gel electrophoresis) เก็บรักษาที่อุณหภูมิ 4 องศาเซลเซียส ถ้าต้องการเก็บรักษาเป็นระยะเวลานานจะเก็บที่ -20 องศาเซลเซียส

5.2 อะกาโภสเจลอะลีกโพรไฟร์ซิส (agarose gel electrophoresis)

ผสมสารละลายดีเอ็นเอกับ 6x loading buffer [0.25% (w/v) bromophenol blue, 0.25% (w/v) xylene cyanol, 30% glycerol] ในอัตราส่วน 5:1 แล้วทำการโภสเจลอะลีกโพรไฟร์ซิสเทียบกับดีเอ็นเอมาตรฐาน (1 Kb DNA ladder) โดยใช้อกาโภสความเข้มข้น 0.8 เปอร์เซ็นต์ ในบัฟเฟอร์ 1x TAE (40 mM Tris-acetate, 1 mM EDTA) ที่ความต่างศักย์ไฟฟ้า 100 โวลต์ ตรวจสอบแอบดีเอ็นเอด้วยการย้อมในเออธิเดียมไบร์ไมค์ ความเข้มข้น 0.5 ไมโครกรัมต่อมิลลิลิตร

ตรวจดูແບດគິເລື່ອນເອແລກຢາພາກຍໄດ້ແສງອັດຕາໄວໂອເລຕັ້ງເຄື່ອງ BioDoc-It System (UVP, USA)

5.3 การทำ PCR เพื่อเพิ่มปริมาณดีເລື່ອນເອສ່ວນຂອງເມີນ 16S rRNA

การเพิ่มปริมาณຂອງເມີນຈະໃຊ້ກູ່ໄພຣີເມອ່ວທີ່ຈຳພາທີ່ຕ່ອບຮົວອອນຸຮັກຍໍຂອງເມີນ 16S rRNA ຂອງແອຄຕິໂນມັຍສຶກ ຄື່ອ ໄພຣີເມອ່ວ STR1F ($5'-TCACGGAGAGTTGATCCTG-3'$) ແລະ STR1530R ($5'-AAGGAGATCCAG CCGCA-3'$) (Kataoka *et al.*, 1997) ສາຮເຄມີທີ່ໃຊ້ທຳ PCR ໃນ ປົມາຕຣ 20 ໂມໂຄຣລິຕຣ (50 ng DNA template, 1xPCR buffer, 3 mM MgCl₂, 0.5 mM dNTP mixture, 0.125 pM primer, 1.25 U *Taq* DNA polymerase, 10 % dimethyl sulfoxide) ສກາວະທີ່ໃຊ້ທຳ PCR ດັ່ງນີ້

ຮອບທີ່ 1	94 ອົງຄາເໜລເຊີຍສ 4 ນາທີ
ຮອບທີ່ 2 ຄື່ງ 35	94 ອົງຄາເໜລເຊີຍສ 1 ນາທີ
	55 ອົງຄາເໜລເຊີຍສ 1 ນາທີ
	72 ອົງຄາເໜລເຊີຍສ 1 ນາທີ
ຮອບສຸດທ້າຍ	94 ອົງຄາເໜລເຊີຍສ 1 ນາທີ
	55 ອົງຄາເໜລເຊີຍສ 1 ນາທີ
	72 ອົງຄາເໜລເຊີຍສ 4 ນາທີ

ตรวจສອບດີເລື່ອທີ່ໄດ້ດ້ວຍເຖິງນິກອະກາໄຣສເຈລອີເລັກໂທຣໂຟຣີຊີສ ຕາມວິທີການໃນຂໍອ 5.2

5.4 การຫາລຳດັບເບສບຮົວເປົຍ 5' ຂອງເມີນ 16S rRNA

ນຳດີເລື່ອທີ່ໄດ້ຈາກການທຳ PCR ໃນຂໍອ 5.3 ໄປທຳໃໝ່ບິສຸທີ່ໂດຍ QIAquick PCR Purification Kit (QIAGEN GmbH, Germany) ໂດຍໃຊ້ວິທີກາຣຕາມຄຸ່ມືອ ແລ້ວຈຶ່ງສ່ງໄປຫາລຳດັບເບສ ໂດຍຕຽງທີ່ Macrogen (Korea) ໂດຍໃຊ້ໄພຣີເມອ່ວ STR1F

5.5 การหาลำดับเบสแบบสมบูรณ์

การหาลำดับเบสของยีน 16S rDNA แบบครบทั้งยีน โดยการหาลำดับเบสด้วยโปรแกรม STR1F, STR1530R, ATT025 (5'-GATTAGATAACCCTGGTAGTCCA-3') และ ATT026 (5'-TGGACTACCAGGGTATCTAAC-3') แล้วรวมลำดับเบสเข้าด้วยกันด้วยโปรแกรม CAP3 (<http://pbil.univ-lyon1.fr/cap3.php>)

5.6 การจำแนกแอกติโนมัยสีจากลำดับเบสของยีน 16S rRNA บางส่วน และการศึกษาความสัมพันธ์เชิงวิวัฒนาการ (phylogenetic analysis)

นำลำดับเบสที่ได้รับในรูปของ ABI format มาอ่านด้วยโปรแกรม CHROMAS เพื่ออ่านโครมาโทแกรมที่ได้ ตรวจสอบความถูกต้องของลำดับเบส จากนั้นจึงตัดลำดับเบสริเวณส่วนต้นและปลายที่มีความไม่ชัดเจนออกให้เหลือแต่บริเวณที่มีความน่าเชื่อถือ จากนั้นจึงนำลำดับเบสไปเปรียบเทียบกับลำดับเบสของ type strain ในฐานข้อมูล Genbank โดยใช้โปรแกรม Blastn และ EzTaxon (Chun *et al.*, 2007)

เปรียบเทียบลำดับเบสของยีน 16S rRNA ของตัวอย่างกับเบคทีเรียที่มีความคล้ายคลึงกันโดยการทำ multiple alignment ด้วยโปรแกรม ClustalW 1.83 (Thomson *et al.*, 1994) โดยลำดับเบสของยีน 16S rRNA ของเชื้อแอกติโนมัยสีที่มีความคล้ายคลึงกับตัวอย่างนั้นสืบกันจากฐานข้อมูล GenBank (www.ncbi.nih.gov) จากนั้นนำไปสร้าง phylogenetic tree ด้วยโปรแกรม MEGA 3.1 (Kumar *et al.*, 2004) โดยคำนวนตามวิธี neighbor-joining (Saitou and Nei, 1986) ด้วยค่า bootstrap 1,000 ครั้ง

6. การทดสอบความสามารถในการยับยั่งจุลินทรีย์ทดสอบ

6.1 จุลินทรีย์ที่ใช้ทดสอบ

จุลินทรีย์ที่เป็นตัวแทนของเบคทีเรียแกรมบวก ได้แก่ *Bacillus cereus* ATCC11778 และ *Staphylococcus aureus* ATCC25923 ตัวแทนของเบคทีเรียแกรมลบ ได้แก่ *Escherichia coli* ATCC8739 ตัวแทนของเบคทีเรียก่อโรคพืช ซึ่งได้รับจาก สำนักวิจัยพัฒนาอารักษางานพืช มหาวิทยาลัยเกษตรศาสตร์ วิทยาเขตบางเขน ได้แก่ *Xanthomonas campestris* pv. *glycine* ทำให้

เกิดโรคใบจุดนูน (bacterial pustule) ในถั่วเหลือง, *Erwinia carotovora* pv. *carotovora* ทำให้เกิดโรคเน่า烂 (soft rot) ในผักและพืชในกลุ่มหัวหอมและ *Ralstonia solanacearum* ทำให้เกิดโรคเหี่ยว (wilt) ในมะเขือเทศ

จุลินทรีย์ที่เป็นตัวแทนของราและยีสต์ ได้แก่ *Aspergillus niger* ATCC 6275 และ *Candida albicans* BCC 5390 ตามลำดับ ตัวแทนของรา ก่อโรคพืช ได้แก่ *Helminthosporium oryzae* เชื้อสาเหตุโรคเมล็ดด่างในข้าว, *Fusarium moniliforme* เชื้อสาเหตุโรคคำตันเน่าในอ้อย, *Fusarium proliferatum* DOAC0842 เชื้อสาเหตุโรคเมล็ดเน่าในข้าวโพด และ *Rhizoctonia solani* DOAC1406 เชื้อสาเหตุโรครากเน่าและโคนเน่าในมะเขือเทศ

6.2 การเตรียมจุลินทรีย์ที่ใช้สำหรับทดสอบ

เลี้ยงแบคทีเรียในอาหาร nutrient broth (NB, 1L: 3.0 g beef extract, 5.0 g peptone) เข芽ด้วยความเร็ว 250 รอบต่อนาที ที่อุณหภูมิ 37 องศาเซลเซียส ส่วนยีสต์เลี้ยงที่อุณหภูมิห้อง จนมีความเข้มข้นของเซลล์ 10^8 เซลล์ต่อมิลลิลิตร โดยวัดความขุ่นของเซลล์ด้วยเครื่องวัดค่าการดูดกลืนแสง (spectrophotometer) ที่ความยาวคลื่น 600 นาโนเมตร ให้ได้ค่าเท่ากับ 0.25 สำหรับราทดสอบ จะเลี้ยงบนอาหาร Potato dextrose agar (PDA; Himedia, India) เป็นเวลา 3-5 วัน ที่อุณหภูมิห้อง

6.3 การทดสอบความสามารถของแอคติโนมัยสีทในการยับยั้งจุลินทรีย์ทดสอบ

การตรวจสอบความสามารถในการสร้างสารต่อต้านเชื้อแบคทีเรียด้วย方法扩散法 (Collins, 1989) โดยเลี้ยงแอคติโนมัยสีทบนอาหาร MS, ISP2 และ ISP3 ให้เติมจานเพาะเชื้อ บ่มที่อุณหภูมิ 28 องศาเซลเซียส เป็นเวลา 1 สัปดาห์ สำหรับแอคติโนมัยสีทในกลุ่ม *Streptomyces* และเวลา 2 สัปดาห์ สำหรับแอคติโนมัยสีทในกลุ่ม non-*Streptomyces* นำ cork borer ขนาดเส้นผ่านศูนย์กลาง 8 มิลลิเมตร เจาะแอคติโนมัยสีทที่เพาะเลี้ยงไว้แล้วนำวางบนอาหาร nutrient agar (NA; NB ที่เติมรุ่น 1.5%) จากนั้นจึงระดับด้วยแบคทีเรียทดสอบที่เตรียมไว้ในข้อ 6.2 ปริมาตร 1 มิลลิลิตรต่อหนึ่งจานเพาะเชื้อ นำ paper disc ที่มียาปฏิชีวนะ ampicillin 1 มิลลิกรัมต่อหนึ่ง paper disc เป็นตัวควบคุม นำจานเพาะเชื้อไปบ่มที่อุณหภูมิ 28 องศาเซลเซียส เป็นเวลา 1-2 วัน ตรวจสอบผลโดยดูจากวงใส (clear zone) ที่เกิดขึ้น

การตรวจสอบความสามารถในการต่อต้านยีสต์ทำได้เช่นเดียวกับวิธีข้างต้น แต่จะทดสอบบนอาหาร PDA การตรวจสอบความสามารถในการต่อต้านรา ทำได้โดยเลี้ยงแอคติโนมัย-

สีทบบนอาหาร PDA โดยการปั๊กเชือให้มีเส้นผ่านศูนย์กลาง 1.5 เซนติเมตร บ่มที่อุณหภูมิ 28 องศา-เซลเซียส เป็นเวลา 1 สัปดาห์ สำหรับแอคติโนมัยสีทินกุ่ม *Streptomyces* และเวลา 2 สัปดาห์ จะ ratified ทดสอบที่เจริญบนอาหาร PDA ในข้อ 6.2 ด้วย cork borer ขนาดเส้นผ่านศูนย์กลาง 8 มิลลิเมตร แล้วนำไปวางบนอาหาร NA ที่ปั๊กเชือแอคติโนมัยสีทินไว บ่มที่อุณหภูมิ 28 องศาเซลเซียส เป็นเวลา 5-7 วัน ตรวจสอบผลโดยดูจากการยับยั้งการเจริญ (inhibition zone) ที่เกิดขึ้น และนำรากทดสอบไปวางบนอาหาร NA ที่ไม่ได้ปั๊กเชือแอคติโนมัยสีทินเพื่อเป็นตัวควบคุม

7. การสร้างพลาสมิดสายพสุนเพื่อการถ่ายยีน *egfp* สู่แอคติโนมัยสีทินโอนโดไฟต์

7.1 วิธีพื้นฐานสำหรับ *E. coli*

วิธีการพื้นฐานที่ใช้สำหรับ *E. coli* ใช้ตามวิธีการของ Sambrook and Russell (2001)

7.1.1 อาหารและสภาวะที่ใช้เลี้ยง

การเลี้ยง *E. coli* บนจานอาหารแข็งทำได้โดยเบี้ยเชื้อลบบนอาหารแข็ง Luria-Bertani (LB; 1L: 10 g tryptone, 5 g yeast extract, 10 g NaCl, 15 g agar, pH 7.2) แล้วบ่มที่อุณหภูมิ 37 องศาเซลเซียสข้ามคืน

การเลี้ยงในอาหารเหลว โดยเติมเบี้ยลงในขวดรูปชมพู่ที่มีอาหารเหลว อัตราส่วน 1:100 โดยใช้อาหารเหลว LB (สูตรเหมือน LA แต่ไม่เติม agar) นำไปเพียง 250 รอบต่อนาที ที่อุณหภูมิ 37 องศาเซลเซียสข้ามคืน

เมื่อเลี้ยง *E. coli* ที่สามารถต้านทานยาปฏิชีวนะ โดยเติมยาปฏิชีวนะที่เหมาะสม ด้วยความเข้มข้นดังตารางที่ 3

ตารางที่ 3 ความเข้มข้นของยาปฏิชีวนะที่ใช้ในการเลี้ยง *E. coli*

Antibiotic stock solution (mg/ml)	Final concentration in media ($\mu\text{g}/\text{ml}$)		
	Agar	Broth	Overlay ($\mu\text{g}/\text{plate}$)
hygromycin B (50)	50	25	-
chloramphenicol (25 in ethanol)	50	25	-
kanamycin (50)	50	25	-
nalidixic acid (25)	25 (500)	-	25 (500)

7.1.2 การสกัดพลาสมิด

ใช้วิธี alkaline lysis with SDS ของ Sambrook and Russell (2001) โดยนำ เชื้อ *E. coli* ที่เลี้ยงในอาหาร LB เป็นเวลาข้ามคืน ปริมาตร 1.5 มิลลิลิตร ใส่ลงในหลอดขนาด 1.5 มิลลิลิตร ปั่นเหวี่ยงที่ 12,000 รอบต่อนาที เป็นเวลา 1 นาที เพื่อเก็บเซลล์ เทอาหารทึ้ง จากนั้น กระายตะกอนเซลล์ใน Solution I (50 mM glucose, 25 mM Tris-HCl, 10 mM EDTA, pH 8.0) ที่เย็นจัด ปริมาตร 100 ไมโครลิตร นำ ไปแช่ในน้ำแข็งเป็นเวลา 10-15 นาที เติม Solution II [0.2 M NaOH, 1%(w/v) SDS] ที่เตรียมสำหรับใช้ทันที 200 ไมโครลิตร พลิกหลอดไปมาทันทีจนของเหลวผสมกันดี แช่ในน้ำแข็งเป็นเวลา 5 นาที นำ ไปเติม Solution III (3 M potassium acetate, 5 M glacial acetic acid) ที่เย็นจัดปริมาตร 150 ไมโครลิตร พลิกหลอดไปมาให้ของเหลวผสมกันดี แช่ในน้ำแข็ง เป็นเวลา 3-5 นาที ปั่นเหวี่ยง 12,000 รอบต่อนาที เป็นเวลา 5 นาที ดูดสารละลายถ่ายใส่หลอดใหม่ เติมฟินอล: คลอโรฟอร์ม: ไอโซเอโนล แอลกอฮอล์ (25:24:1) ปริมาตร 1 เท่า ของสารละลายที่ดูดได้ พลิกหลอดไปมาประมาณ 1 นาที นำ ไปปั่นเหวี่ยงที่ 12,000 รอบต่อนาที เป็นเวลา 5 นาที ดูดสารละลายส่วนบนใส่หลอดใหม่ แล้วเติมเอทานอลสัมบูรณ์ (absolute ethanol) ปริมาตร 2 เท่าของสารละลายที่ดูดได้ พลิกหลอดไปมาเบาๆ ตั้งไว้ที่อุณหภูมิห้องเป็นเวลา 2 นาที แล้วปั่นเหวี่ยงเก็บตะกอนดีอีกครั้ง 12,000 รอบต่อนาที เป็นเวลา 5 นาที ล้างตะกอนด้วยเอทานอล 70 เบอร์เซ็นต์ ปริมาตร 200 ไมโครลิตร ปั่นเหวี่ยง 1 นาที แล้วดูดสารละลายออกให้หมด ทิ้งไว้ให้ตะกอนแห้งที่ อุณหภูมิห้อง จึงละลายดีอีกครั้งในบัฟเฟอร์ TE ที่มี RNase A ความเข้มข้น 20 ไมโครกรัมต่อ มิลลิลิตรปริมาตร 20-50 ไมโครลิตร ตามความเหมาะสม เก็บรักษาไว้ที่ -20 องศาเซลเซียส

7.1.3 การเตรียมคอมพิเทนต์เซลล์ (competent cell)

ตามวิธีของ Chung *et al.* (1989) โดยนำเชื้อที่เก็บข้ามคืนในอาหาร LB ปริมาตร 500 ไมโครลิตร ลงเลี้ยงในอาหาร LB ปริมาตร 50 มิลลิลิตร ในภาชนะพูชนาด 250 มิลลิลิตร เขย่า 250 รอบต่อนาที ที่ 37 องศาเซลเซียส จนมีค่าดูดแสงที่ความยาวคลื่น 600 นาโนเมตร (OD_{600}) เท่ากับ 0.3-0.4 (ประมาณ 2-3 ชั่วโมง) ถ่ายใส่หลอดขนาด 50 มิลลิลิตร แล้วแช่น้ำแข็งเป็นเวลา 15 นาที จึงนำไปปั่นให้วิ่งเก็บเซลล์ ที่ 4,000 รอบต่อนาที อุณหภูมิ 4 องศาเซลเซียส เป็นเวลา 5 นาที เทออาหารทิ้ง แล้วเติม Transformation and storage solution [TSS; 10 % (w/v) polyethylene glycol (PEG) MW = 8000, 5 % dimethylsulphoxide (DMSO), 50 mM MgCl₂, in LB, pH 6.5] ที่เย็นจัดปริมาตร 5 มิลลิลิตร กระจายเซลล์ในสารละลาย นำไปปั่นให้วิ่งเก็บเซลล์ แล้วกระจายเซลล์ ใน TSS ปริมาตร 3 มิลลิลิตร แบ่งเก็บในหลอดขนาด 1.5 มิลลิลิตร หลอดละ 100 ไมโครลิตร ถ้ายังไม่นำไปใช้ให้เก็บรักษาไว้ที่ -80 องศาเซลเซียส

7.1.4 การทราบฟอร์เมชัน

ใช้วิธี heat-shock (Sambrook and Russell, 2001) โดยเติมพลาสมิด 1-10 ไมโครลิตรในคอมพิเทนต์เซลล์ 100 ไมโครลิตร ใช้ปีเปตต์ผสมเบาๆ ทิ้งไว้ในน้ำแข็ง 20 นาที จึงนำไปปั่นที่อุณหภูมิ 42 องศาเซลเซียส เป็นเวลา 90 วินาที แล้วนำกลับไปแช่ในน้ำแข็งทันที เป็นเวลา 5 นาที เติมอาหาร LB ปริมาตร 900 ไมโครลิตร แล้วปั่นที่ 37 องศาเซลเซียส เขย่า 250 รอบต่อนาที เป็นเวลา 1 ชั่วโมง จึงแบ่งเซลล์ 100 ไมโครลิตร ไปเกลี่ยลงอาหาร LA ซึ่งมียาปฏิชีวนะตามความเหมาะสมเพื่อคัดเลือก โดยใช้ความเข้มข้นของยาปฏิชีวนะตามตารางที่ 3 จากนั้นบ่มงานอาหารที่เกลี่ยด้วยเซลล์แล้วที่ 37 องศาเซลเซียสข้ามคืน คัดเลือกโดยโคลนีที่เจริญไปตรวจสอบการได้รับพลาสมิดต่อไป

7.2 เทคนิคทางพันธุวิศวกรรม

7.2.1 การสกัดดีเอ็นเอจากอาหารเถาเจล

ใช้ชุดอุปกรณ์ QIAquick Gel Extraction (QIAGEN, Germany) ทำ ตามวิธีการ ในคู่มือ โดยตัดอาหารเถาเจลในตัว แห้งๆ ที่ปราศจากแอบดีเอ็นเอที่ต้องการ ใส่ลงในหลอดขนาด 1.5 มิลลิลิตร เติมน้ำฟเฟอร์ QG ปริมาตรประมาณ 3 เท่าของเจล นำไปปั่นที่ 50 องศาเซลเซียส ประมาณ

10 นาที หรือจนกว่าเจลละลายหมด โดยต้องพลิกหลอดไปมาเป็นครั้งคราว ดูดสารละลายทั้งหมดใส่ลงใน QIAquick spin column ที่วางอยู่ใน collection tube นำไปปั่นให้วิ่งที่ 12,000 รอบต่อนาที เป็นเวลา 1 นาที เทหองเหลวทึ้ง เติมบัฟเฟอร์ PE ปริมาตร 750 ไมโครลิตร ปั่นให้วิ่งเป็นเวลา 1 นาที เทหอง เหลวทึ้ง ปั่นให้วิ่งอีกครั้งเพื่อกำจัดของเหลวทั้งหมด จากนั้นขยับคล้มน้ำไปใส่ในหลอดขนาด 1.5 มิลลิลิตรหลอดใหม่ เติมบัฟเฟอร์ EB ที่มีอุณหภูมิ 50 องศาเซลเซียส ปริมาตร 30-50 ไมโครลิตร ตามความเหมาะสม ตั้งทิ้งไว้ 2 นาที หรืออาจนานไปปั่นที่ 50 องศาเซลเซียส เป็นเวลา 10 นาที ก่อนปั่นให้วิ่งเก็บสารละลายดีอีนเอที่ 12,000 รอบต่อนาที เป็นเวลา 1 นาที เก็บรักษาดีอีนเอที่อุณหภูมิ -20 องศาเซลเซียส

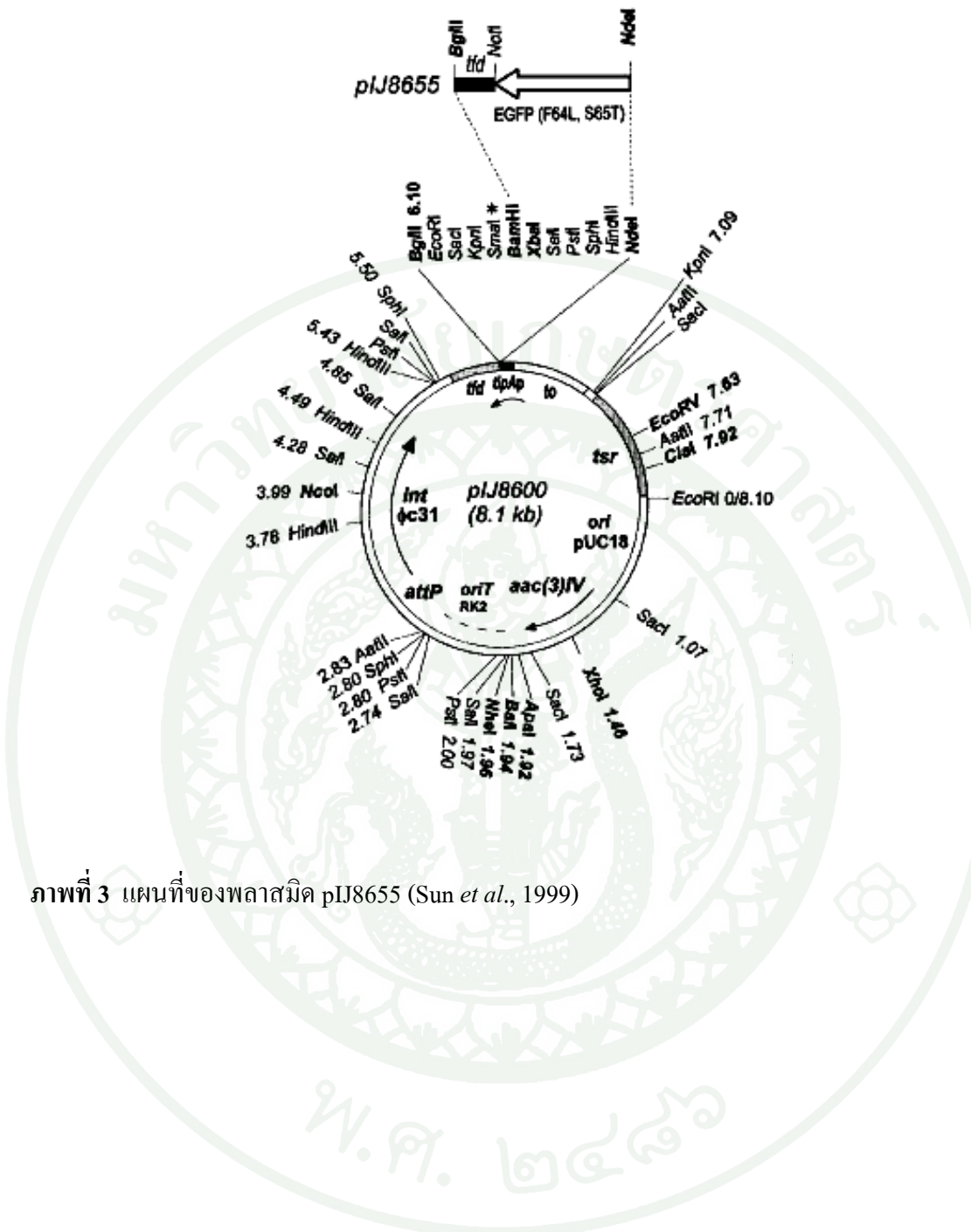
7.2.2 การตัดและเชื่อมดีอีนเอ

การตัดดีอีนเอ ใช้ออนไซซ์ตัดจำเพาะที่เหมาะสม โดยเตรียมส่วนผสม และบ่มตามสภาวะที่แนะนำ ในคู่มือ

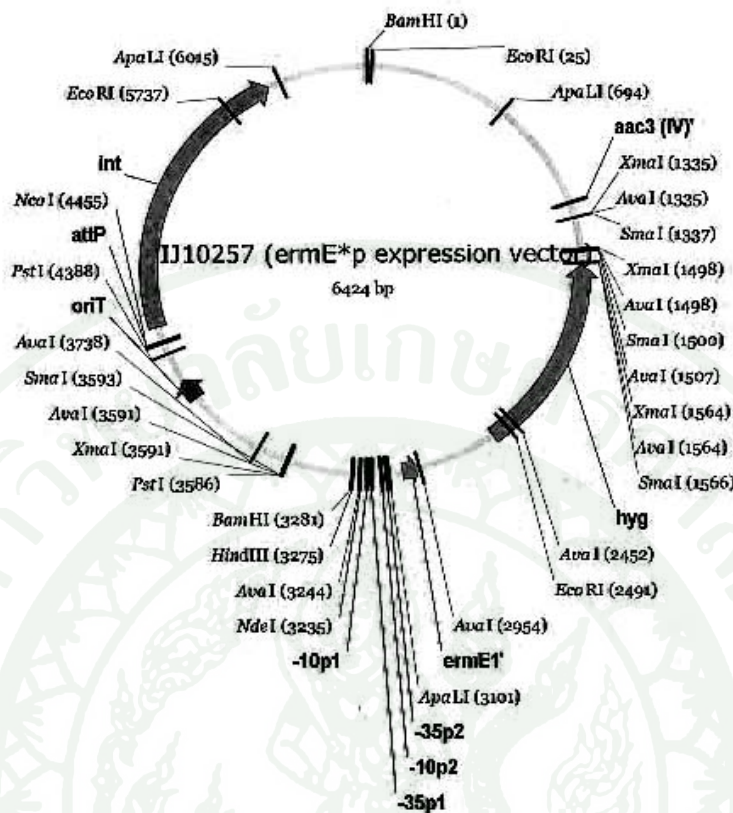
การเชื่อมต่อดีอีนเอเพื่อสร้างพลาสมิดสายผสม จะนำสารละลายดีอีนเอที่ทำให้บริสุทธิ์ตามวิธีการข้อ 7.2.1 เชื่อมต่อโดยใช้อัตราส่วนของพลาสมิดต่อชิ้นดีอีนเอ เท่ากับ 1:5 ในปฏิกิริยาที่ประกอบด้วย T4 DNA ligase 1 ยูนิต และ 5x Ligation buffer 4 ไมโครลิตร ในปริมาตรสุดท้าย 20 ไมโครลิตร บ่มที่อุณหภูมิ 16 องศาเซลเซียส ในอ่างน้ำควบคุมอุณหภูมิ ข้ามคืน เก็บรักษาไว้ที่ 4 องศาเซลเซียส ก่อนนำไปใช้ในการทวนสอบเมชันตามวิธีการข้อ 7.1.4

7.3 การสร้างพลาสมิดสายผสมเพื่อถ่ายยีน *egfp*

ตัดพลาสมิด pIJ8655 (ภาพที่ 3; Sun *et al.*, 1999) ด้วยออนไซซ์ตัดจำเพาะ *NdeI* และ *HindIII* ด้วยวิธีการตามข้อ 7.2.2 นำไปแยกขนาดด้วยอะกัวโรสเจลオリเย็กโทร โพเรซีสแล้วสกัดชิ้นดีอีนเอที่มีขนาด 1.4 กิโลเบปส ซึ่งเป็นส่วนของยีน *egfp* ออกจากอะกัวโรสเจลตามวิธีการในข้อ 7.2.1 จากนั้นจึงนำไปเชื่อมกับพลาสมิด pIJ10257 (ภาพที่ 4; ได้รับความอนุเคราะห์จากสถาบัน John Innes Centre, UK.) ที่ตัดด้วย *NdeI* และ *HindIII* เช่นเดียวกัน โดยใช้สภาวะในการเชื่อมดีอีน เอตามข้อ 7.2.2 แล้วทวนฟอร์มเข้าสู่คอมพิเทนเซลล์ของ *E. coli* XL1-blue ตามวิธีการในข้อ 7.1.3 และ 7.1.4 ตั้งชื่อพลาสมิดสายผสมที่สร้างขึ้นว่า pIJ10257*egfp*



ภาพที่ 3 แผนที่ของพลาสมิด pIJ8655 (Sun *et al.*, 1999)



ภาพที่ 4 แผนที่ของพลาสมิด pIJ10257

7.4 การตรวจสอบทรานฟอร์เม็นต์

เลือกโคลนีของ *E. coli* ที่เกิดขึ้นจากข้อ 7.3 ไปเดี่ยงตามข้อ 7.1.1 โดยเติมยาปฏิชีวนะ ความเข้มข้นตามตารางที่ 3 จากนั้นจึงนำมาสกัดพลาสมิดตามวิธีการในข้อ 7.1.2 และนำมาแยกขนาดด้วยอะการาโกรสเจลオリเอ็ก ไทร โพร์ซีส โดยเปรียบเทียบกับ pIJ10257 ตรวจสอบพลาสมิดสายพสม โดยเลือกพลาสมิดที่มีขนาดเพิ่มขึ้นมาตัดด้วย *Nde*I และ *Hind*III

8. การถ่ายยืน *egfp* สู่แอคติโนมัยสีฟ้า

8.1 การหาสภาวะที่เหมาะสมในการคงอุ่นต่างสกุล

8.1.1 การตรวจสอบความสามารถของแอคติโนมัยสีฟ้าในการต้านทานยาปฏิชีวนะ hygromycin B

เลี้ยงแบคทีโรมัยส์ทอนโคไซด์ในอาหาร MS ที่อุณหภูมิ 28 องศาเซลเซียส เป็นเวลา 5-7 วัน จนเจริญดี แล้วจึงเก็บโคโนนีของแบคทีโรมัยส์ทอนโคไซด์ลงบนอาหาร MS ที่ไม่เติมยาปฏิชีวนะ hygromycin B เพื่อเป็นตัวควบคุม และลงบนอาหาร MS ที่เติมยาปฏิชีวนะ hygromycin B ความเข้มข้น 25, 50 และ 100 ไมโครกรัมต่อมิลลิลิตร ตามลำดับ บ่มที่อุณหภูมิ 28 องศาเซลเซียส เป็นเวลา 3-5 วัน สังเกตการเจริญของแบคทีโรมัยส์ทอนโคไซด์

8.1.2 การเตรียม *E. coli* เชลล์ผู้ให้ (donor)

ถ่ายพลาสมิด pIJ10257 สู่ *E. coli* ET12567 (pUZ8002) โดยวิธีtranformation ตามข้อ 7.1.4 แล้วในน้ำ *E. coli* ดังกล่าวเลี้ยงข้ามคืนในอาหาร LB ที่มียาปฏิชีวนะ hygromycin B (คัดเลือก pIJ10257) kanamycin (คัดเลือก *Tn9* ที่ทำให้ *E. coli* มีจีโนไทป์เป็น *dam*) และ chloramphenicol (คัดเลือก pUZ8002) ความเข้มข้น ตามวิธีการข้อ 7.1.1 เจือจางเชลล์ 1:100 ด้วยอาหาร LB ที่มียาปฏิชีวนะเช่นเดิม แล้วเลี้ยงต่อที่สภาวะเดิม จนมีค่าดูดแสงที่ความยาวคลื่น 600 (OD_{600}) อยู่ระหว่าง 0.4-0.6 (ประมาณ 3 ชั่วโมง) นำเชื้อที่ได้ 5 มิลลิลิตร ไปล้างด้วยอาหาร LB ปริมาตรเท่ากัน 2 ครั้ง ตกตะกอนโดยการปั่นเหวี่ยง 12,000 รอบต่อนาที เป็นเวลา 1 นาที แล้วกรราชายเชลล์ในอาหาร LB ปริมาตร 500 ไมโครลิตร

8.1.3 การเตรียมแบคทีโรมัยส์ทอนโคไซด์ เชลล์ผู้รับ (recipient)

บูดสปอร์และเส้นใยของแบคทีโรมัยส์ทอนโคไซด์ที่เจริญดีบนอาหาร MS ลงในอาหารเหลว ISP2 ที่บรรจุในขวดรูปทรงพู่ที่ใส่ขด漉สปริง เขย่าที่ 200 รอบต่อนาที ที่อุณหภูมิ 28 องศาเซลเซียส เป็นเวลา 5 วัน เพื่อเป็นหัวเชื้อ จากนั้นจึงปลูกหัวเชื้อ ด้วยความเข้มข้นของหัวเชื้อ 10% v/v ลงในอาหารเหลว ISP2 ที่บรรจุในขวดรูปทรงพู่ที่ใส่ขด漉สปริง เขย่าที่ 200 รอบต่อนาที ที่อุณหภูมิ 28 องศาเซลเซียส เก็บเชลล์เมื่อมีอายุ 24, 36 และ 48 ชั่วโมง

8.1.4 การคุณภาพชัน

ผสมผู้ให้และผู้รับอย่างละ 500 ไมโครลิตร เข้าด้วยกัน ในหลอดขนาด 1.5 มิลลิลิตร นำไปปั่นเหวี่ยง 12,000 รอบต่อนาที เป็นเวลา 1 นาที เทบong เหลวทึ้ง 血腥 ตกตะกอนในอาหาร LB ปริมาตร 100 ไมโครลิตร แล้วเจือจางให้มีความเข้มข้นต่างๆ ตามความ

เหมาะสมด้วยอาหาร LB ก่อนเกลี่ยของผสานลงบนจานอาหารแข็ง ในปริมาตร 100 ไมโครลิตรต่อจานอาหาร บ่มไว้ที่อุณหภูมิ 28 องศาเซลเซียส เป็นเวลา 16-20 ชั่วโมง

เมื่อส่งถ่ายพลาสมิดที่ต้านยาปฎิชีวนะ hygromycin B จะเททับจานอาหารที่บ่มแล้วด้วยสารละลาย 1 มิลลิลิตร ที่มี hygromycin B ปริมาณตามการศึกษาในข้อ 8.1.1 และ nalidixic acid 500 ไมโครกรัม เพื่อคัดเลือกแบคทีโรมัยสีที่ได้รับพลาสมิดหรือเอกสารคอนจูเกนต์ (exconjugant) และกำจัด *E. coli* ตามลำดับ บ่มที่ 30 องศาเซลเซียส ต่อไปอีก 3-5 วัน นำโคลoni ของเชื้อเจริญไปเพิ่มลงบนอาหารแข็ง MS ที่มียาปฎิชีวนะ hygromycin B และ nalidixic acid ความเข้มข้นตามตารางที่ 3 ซึ่งอีก 1-2 รอบ เพื่อตรวจสอบยืนยันผลการต้านยาปฎิชีวนะจากพลาสมิดที่ได้รับรวมทั้งกำจัด *E. coli* ที่อาจหลงเหลืออยู่

8.1.5 การศึกษาผลอายุของเส้นใยและชนิดของอาหาร

ทำการอนุเกษณ์ตามวิธีการในข้อ 8.1.4 ศึกษาผลของอายุของเส้นใยที่ใช้ต่อประสิทธิภาพของคอนจูเกชัน โดยใช้เส้นใยของแบคทีโรมัยสีที่ทำการทำคอนจูเกชัน แล้วนำไปเกลี่ยลงบนอาหารแข็ง 3 ชนิดเพื่อศึกษาผลของชนิดของอาหาร โดยใช้อาหารแข็ง MS ที่มี $MgCl_2$ 10 มิลลิโอมาร์ อาหารแข็ง ISP4 [1 L: 10 g soluble starch, 1 g KH_2PO_4 anhydrous, 1 g $MgSO_4 \cdot 7H_2O$, 1 g NaCl, 1 g $(NH_4)_2SO_4$, 2 g $CaCO_3$, 1 ml trace element (1 L: 1 g $FeSO_4 \cdot 7H_2O$, 1 g $MnCl_2 \cdot 4H_2O$, 1 g $ZnSO_4 \cdot 7H_2O$), 20 g agar, pH 7.2; Shirling and Gottlieb, 1966] ที่มี $MgCl_2$ 10 มิลลิโอมาร์ และอาหารแข็ง tryptone soya agar (TSA; Oxoid) ที่มี $MgCl_2$ 10 มิลลิโอมาร์

8.1.6 การคำนวณหาประสิทธิภาพของการเกิดคอนจูเกชัน

คำนวณจากอัตราส่วนของจำนวนเชลล์ที่ได้รับพลาสมิดกับจำนวนเชลล์ที่ใช้ทั้งหมด โดยนับโคลoni ที่ได้รับพลาสมิดจากจานอาหารคัดเลือกเอกสารคอนจูเกนต์ และจำนวนเชลล์ที่ใช้ทั้งหมดคำนวณได้จากการนับจำนวนโคลoni ที่เจริญจากการเจือจางเส้นใยที่ใช้ในการทำคอนจูเกชันแล้วเกลี่ยลงบนอาหาร MS ISP4 หรือ TSA (Oxoid) ที่มี $MgCl_2$ เข้มข้น 10 มิลลิโอมาร์

8.2 การถ่ายพลาสมิคสายพสมสู่แอคติโนมัยสีฟ้าโดยวิธีค่อนจุเกชันต่างสกุล

ถ่ายพลาสมิคสายพสม pIJ10257 $egfp$ สู่แอคติโนมัยสีฟ้าโดยวิธีค่อนจุเกชันต่างสกุลโดยใช้ *E. coli* ET12567 (pUZ8002/pIJ10257 $egfp$) เป็นผู้ให้และสายพันธุ์แอคติโนมัยสีฟ้าโดยไฟต์เป็นผู้รับ โดยใช้สภาวะที่เหมาะสมจากการศึกษาในข้อ 8.1

8.3 การตรวจสอบเอกสารค่อนจุแกนต์

สักดิจิโนมิกดีเอ็นเอของเอกสารค่อนจุแกนต์ตามวิธีการในข้อ 5.1 แล้วนำมาเพิ่มปริมาณขึ้น $egfp$ โดยวิธีพีซีอาร์ ด้วยไพรเมอร์ 10257seqF (5'- ACGTCCATGCGAGTGTCC -3') และไพรเมอร์ 10257seqR (5'- CCAAACGGCATTGAGCGTC-3') (ได้รับความอนุเคราะห์จากสถาบัน John Innes Centre, UK.) โดยใช้สารเคมีสภาวะในการทำพีซีอาร์ตามข้อ 5.3 และใช้จิโนมิกดีเอ็นเอของสายพันธุ์ wild-type และพลาสมิค pIJ10257 $egfp$ เป็นตัวควบคุม

8.4 การตรวจสอบการเรืองแสงของ EGFP ในเอกสารค่อนจุแกนต์

เลี้ยงเอกสารค่อนจุแกนต์ในอาหารเหลว ISP2 ที่เติมยาปฎิชีวนะ hygromycin B ความเข้มข้นตามการศึกษาในข้อ 8.1.1 ในขวดรูปทรงพู่ที่ใส่ขวดลูปสปริง เบ่าที่ 200 รอบต่อนาที ที่อุณหภูมิ 28 องศาเซลเซียส เป็นเวลา 3 วัน นำสัมภัยที่เจริญในอาหารเหลวไปตรวจสอบภายใต้กล้อง fluorescent microscope (Olympus BX-51)

9. การปลูกเชื้อแอคติโนมัยสีฟ้าโดยไฟต์กลับสู่พืช

9.1 การเลี้ยงเชื้อจุลินทรีย์เพื่อปลูกถ่ายเข้าสู่พืช

เลี้ยงเชื้อแอคติโนมัยสีฟ้าในอาหาร ISP2 เบ่าด้วยความเร็ว 200 รอบต่อนาที ที่อุณหภูมิ 28 องศาเซลเซียส เป็นเวลา 3 วัน ส่วนเชื้อ *Rhizobium* sp. strain DASA36075 (ได้รับความอนุเคราะห์จาก กลุ่มงานวิจัยจุลินทรีย์คิน สำนักวิจัยพัฒนาปัจจัยการผลิตทางการเกษตร กรมวิชาการเกษตร) ซึ่งเป็นจุลินทรีย์ควบคุม เลี้ยงในอาหาร yeast extract manitol broth (YMB, 1L: 5 g manitol, 0.5 g K_2HPO_4 , 0.2 g $MgSO_4 \cdot 7H_2O$, 0.1 g NaCl, 0.5 g yeast extract) เบ่าที่อุณหภูมิห้อง เป็นเวลา 3-5 วัน

9.2 การปลูกเชื้อแอคติโนมัยสีท่อนโอด้าไฟต์กลับสู่พืช

การปลูกเชื้อแอคติโนมัยสีท่อนโอด้าไฟต์กลับเข้าสู่พืช ร่วมกับจุลินทรีย์ไโรโซบียม ใช้วิธีการของกลุ่มงานวิจัยจุลินทรีย์คิน สำนักวิจัยพัฒนาปัจจัยการผลิตทางการเกษตร กรมวิชาการเกษตร ซึ่งประยุกต์มาจากวิธีการของ Somasegaran and Hoben (1994) โดยการนำเมล็ดกระถิน ณ รงค์และ ถั่วเชอร์ราโต (*Macroptilium atropurpureum*) ซึ่งเป็นพืชควบคุม (ได้รับความอนุเคราะห์จาก กลุ่มงานวิจัยจุลินทรีย์คิน สำนักวิจัยพัฒนาปัจจัยการผลิตทางการเกษตร กรมวิชาการเกษตร) แล้วในกรดซัลฟูริกเข้มข้นเป็นเวลา 30 นาที เพื่อกระตุ้นการงอกของเมล็ด จากนั้นล้างเมล็ดด้วยน้ำ ประปา ไหหล่อผ่านเป็นเวลา 15 นาที แล้วจึงแช่เมล็ดไว้ในน้ำเป็นเวลา 12 ชั่วโมง จากนั้นจึงขี้ยามเมล็ด วางบนสำลีที่มีน้ำกลั่นปราศจากเชื้อออยู่ในจานเพาะเชื้อ บ่มที่อุณหภูมิห้องเป็นเวลา 1-2 วัน จึงนำเมล็ดที่งอกแล้ววางบน plastic growth pouches ขนาด 5 x 8 นิ้ว (Somasegaran and Hoben, 1994) ที่มีสารละลายน้ำ N-free Nutrient (Broughton and Dillworth, 1971) แล้วหยดเชื้อจุลินทรีย์ที่เลือยกว่าในอาหารเหลวปริมาณ 100 มิลลิลิตร ลงบนراكของเมล็ดพืชแต่ละชนิด โดยแบ่งเป็นพืชแต่ละชนิดเป็นสามกลุ่ม คือ กลุ่มแรกปลูกเชื้อไโรโซบียมเพียงอย่างเดียว กลุ่มที่สองปลูกเชื้อแอคติโนมัยสีท่อนโอด้าไฟต์ กลุ่มที่สามปลูกเชื้อไโรโซบียมร่วมกับเชื้อแอคติโนมัยสีท่อนโอด้าไฟต์ จากนั้นจึงนำพืชทั้งหมดที่อยู่ใน plastic growth pouches บ่มที่ห้องเพาะบ่มต้นกล้า อุณหภูมิ 25 องศาเซลเซียส ให้แสงสว่างเป็นเวลา 12 ชั่วโมงต่อวัน เป็นเวลา 8 สัปดาห์ ความสำเร็จในการปลูกเชื้อไโรโซบียมสามารถตรวจสอบได้โดยสังเกตจากการเกิดปมนบริเวณรากพืช และเก็บส่วนของรากพืชทุกชนิดมาแยกเชื้อจุลินทรีย์ต่อไป

10. การติดตามแอคติโนมัยสีท่อนโอด้าไฟต์ภายในพืช

10.1 การแยกเชื้อจุลินทรีย์ออกจากรากพืชที่ผ่านการปลูกเชื้อ

นำรากพืชที่ผ่านการปลูกเชื้อตามข้อ 9.2 มาแยกเชื้อจุลินทรีย์ตามวิธีการในข้อ 1.2 โดยการคัดแยกแอคติโนมัยสีท่อนโอด้าไฟต์ ใช้อาหาร SCA ที่เติมยาปฏิชีวนะในข้อ 1.2 และอาหาร Yeast extract manitol agar (YMA, 1L: 5 g manitol, 0.5 g K₂HPO₄, 0.2 g MgSO₄·7H₂O, 0.1 g NaCl, 0.5 g yeast extract, 10 ml congo red, 15 g agar) สำหรับการคัดแยกไโรโซบียม จากนั้นบ่มที่อุณหภูมิ 30 องศาเซลเซียส นาน 1-2 สัปดาห์ สังเกตโคลนีของแบคทีเรียและแอคติโนมัยสีที่เจริญขึ้น

10.2 การตรวจสอบการเรืองแสงของ EGFP ของแอคติโนมัยสีฟ้าในเนื้อเยื่อพืช

นำรากพืชที่ผ่านการปลูกเชือตามข้อ 9.2 มาดัดตามยาวและบางด้วย Cryo microtome (LEICA CM1800) ความหนาของเนื้อเยื่อ 20-25 ไมโครเมตร จากนั้นจึงนำเนื้อเยื่อรากไปศึกษาการเรืองแสงของ EGFP ภายใต้กล้อง confocal laser scanning microscope (Olympus FV1000, Japan) ที่ศูนย์วิเคราะห์ภาพระดับนาโน คณะวิทยาศาสตร์ มหาวิทยาลัยมหิดล กรุงเทพฯ โดยใช้ excitation wavelength 465-496 นาโนเมตร และ emission wavelength 515-555 นาโนเมตร เพื่อตรวจสอบการเรืองแสงของ EGFP และใช้ excitation wavelength 360-370 นาโนเมตร และ emission wavelength 420-460 นาโนเมตร เพื่อตรวจสอบการเรืองแสง fluorescent ของเนื้อเยื่อพืช

10.3 การตรวจสอบการเจริญของแอคติโนมัยสีฟ้าบริเวณผิวราชพืชโดยใช้กล้องจุลทรรศน์อิเล็กตรอนแบบส่องกราด

ตรวจสอบบริเวณผิวราชและปมราชของต้นอ่อนพืชที่ได้รับการปลูกเชือในข้อ 9.2 โดยใช้กล้องจุลทรรศน์อิเล็กตรอนแบบส่องกราด โดยส่งวิเคราะห์ที่ศูนย์กล้องจุลทรรศน์ คณะวิทยาศาสตร์ มหาวิทยาลัยบูรพา จังหวัดชลบุรี

11. สถานที่และระยะเวลาทำการวิจัย

ห้องปฏิบัติการวิจัย ภาควิชาพันธุศาสตร์ คณะวิทยาศาสตร์ มหาวิทยาลัยเกษตรศาสตร์ วิทยาเขตบางเขน และห้องปฏิบัติการกลุ่มงานวิจัยจุลทรีย์คิน สำนักวิจัยพัฒนาปัจจัยการผลิตทางการเกษตร กรมวิชาการเกษตร ในระหว่างเดือน พฤษภาคม 2549 - เมษายน 2553

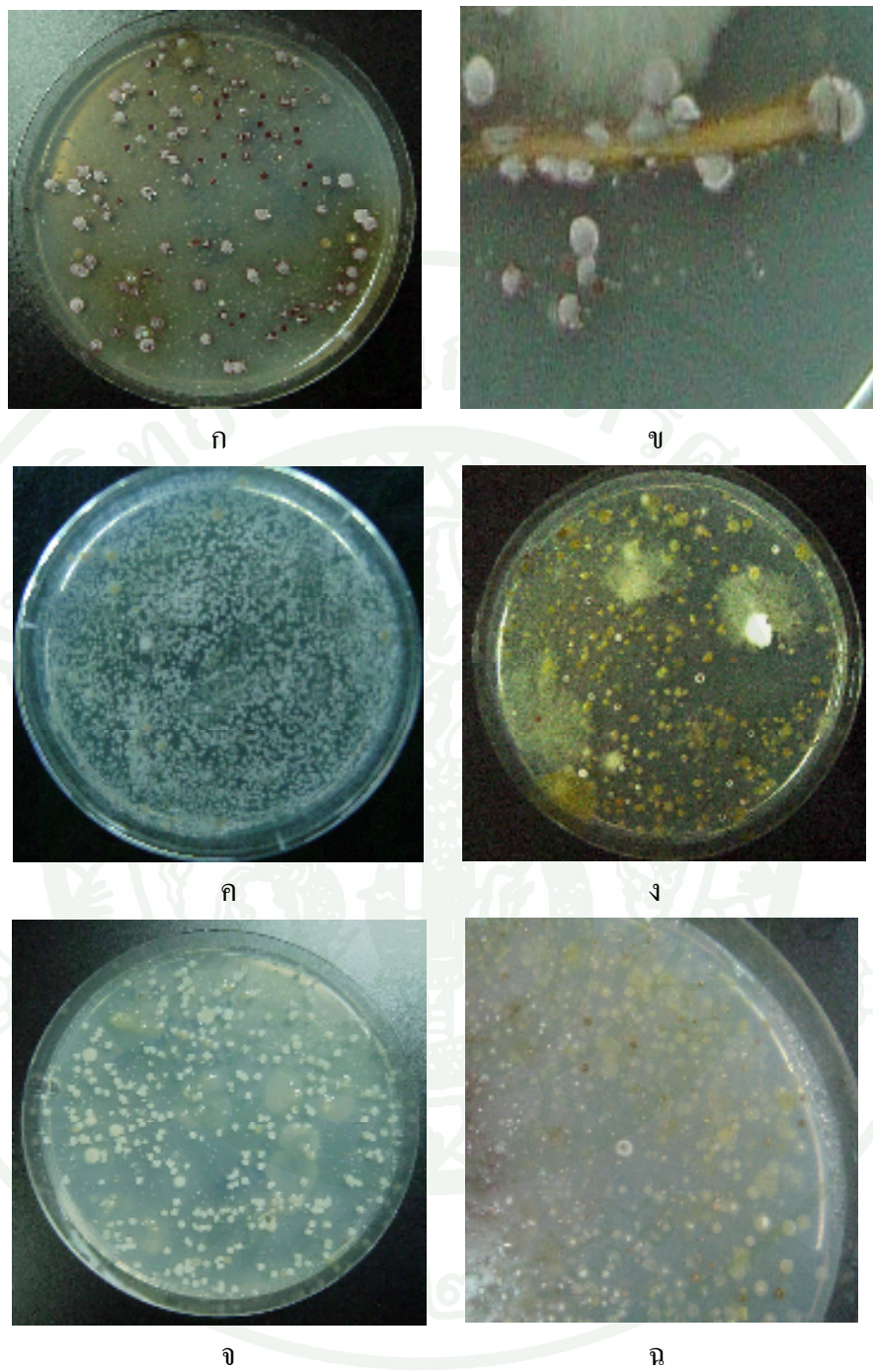
ผลและวิจารณ์

1. การคัดแยกแบคทีโรมัยสีฟ่อนโดยไฟต์จากกระถินรงค์

เมื่อบ่มจานเพาะเชื้อที่วางรากกระถินรงค์ที่ฟอกผ่าเชื้อที่ผิว และจานเพาะเชื้อที่เกลี่ยด้วยสารละลายน ¼ Ringer จากการบดครากร ของตัวอย่างรากที่เก็บจากมหาวิทยาลัยเกษตรศาสตร์ วิทยาเขตกำแพงแสน จังหวัดนนทบุรี เป็นเวลา 5-7 วัน พบโคลนีแบคทีโรมัยสีฟ่อนหลากหลายชนิดในจานเพาะเชื้อที่เกลี่ยด้วยสารละลายน ¼ Ringer จากการบดครากร (ภาพที่ 5 ก) นอกจากนี้ยังมีโคลนีของแบคทีโรมัยสีฟ่อนเกิดขึ้นบริเวณเนื้อรากและบริเวณอาหารรอบๆ เนื้อราก (ภาพที่ 5 ข) เมื่อพิจารณาลักษณะทางสัณฐานวิทยาเบื้องต้น เช่น ลักษณะโคลนี ลักษณะการสร้างสปอร์ และระยะเวลาที่ใช้ในการเจริญ (Goodfellow and Cross, 1984) คาดว่า แบคทีโรมัยสีฟอนดังกล่าวเป็นกลุ่ม *Streptomyces* ได้แก่ สายพันธุ์ GMKU 937, GMKU 940 จำนวน 1.77×10^2 C.F.U. ต่อ มิลลิลิตรต่อน้ำหนักพืชสดหนึ่งกรัม และ 1.96×10^2 C.F.U. ต่อมิลลิลิตรต่อน้ำหนักพืชสดหนึ่งตามลำดับ

เมื่อเปรียบเทียบกับการคัดแยกจากการบดครากรกระถินรงค์ที่เก็บจากมหาวิทยาลัยเกษตรศาสตร์ วิทยาเขตบางเขน กรุงเทพมหานคร เมื่อบ่มจานเพาะเชื้อที่เกลี่ยสารละลายน ¼ Ringer จากการบดครากรพบว่า ต้องใช้เวลาการบ่มมากกว่า 14 วัน จึงจะพบโคลนีของแบคทีโรมัยสีฟ่อน (ภาพที่ 5 ค) ซึ่งเมื่อพิจารณาลักษณะทางสัณฐานวิทยาเบื้องต้น พบว่า เป็นแบคทีโรมัยสีฟอนในกลุ่มที่ไม่ใช่ *Streptomyces* ซึ่งทำให้ต้องใช้เวลาในการเจริญนานกว่าสายพันธุ์ที่เป็น *Streptomyces* แบคทีโรมัยสีที่คัดแยกได้ คือ GMKU931 ซึ่งพบเพียงชนิดเดียว มีปริมาณ 2.25×10^5 C.F.U. ต่อ มิลลิลิตรต่อน้ำหนักพืชสดหนึ่งกรัม ซึ่งมีปริมาณมากที่สุดเมื่อเปรียบเทียบตัวอย่างจากบริเวณอื่นๆ ทำให้คาดได้ว่า แบคทีโรมัยสีฟ่อนนี้ เป็นแบคทีโรมัยสีฟอนกลุ่มหลัก (majority) ที่อาศัยอยู่ในรากพืชบริเวณนี้ เมื่อตรวจจานเพาะเชื้อที่วางรากพืช พบว่า ไม่พบโคลนีของแบคทีโรมัยสีฟอนนี้ จึงจากการเจริญของแบคทีโรมัยสีฟอนนี้เป็นเมือกเยื่อกลุ่มบริเวณราก

ตัวอย่างรากที่เก็บจากบริเวณอื่นๆ คือ มหาวิทยาลัยวิทยาลัยเกษตรศาสตร์ วิทยาเขตบางเขน กรุงเทพมหานคร ซึ่งเป็นคนละบริเวณกับที่กล่าวข้างต้น สวนรถไฟ กรุงเทพมหานครและมหาวิทยาลัยมหิดล วิทยาเขตศาลายา จังหวัดนนทบุรี เป็นเวลา 5-7 วัน พบโคลนีของแบคทีโรมัยสีฟอนนี้ได้จากการบดครากร อยู่ในกลุ่ม *Streptomyces* และกลุ่มที่ไม่ใช่ *Streptomyces* เช่นเดียวกัน (ภาพที่ 5 จ และ ฉ ตามลำดับ) ซึ่งสามารถสรุปได้ ตามตารางที่ 3



ภาพที่ 5 แบคทีโรนมัลติฟายท์ที่คัดแยกได้จากการกระถินณรงค์ (ก) และ (ข) ม. เกษตรศาสตร์ กำแพงแสน (ค) และ (ง) ม.เกษตรศาสตร์ บางเขน (จ) สวนรดไฟ (ฉ) ม.มหิดล ศากาฯ

ตารางที่ 3 สายพันธุ์แบคทีโรมัยสีที่คัดแยกได้จากการคัดนิณรงค์

สถานที่เก็บตัวอย่าง	ลักษณะการแยกเชื้อ	สายพันธุ์แบคทีโรมัยสีที่	C.F.U./ml/น้ำหนักพืช
สด 1 กรัม			
ม. เกษตรศาสตร์ บางเขน (1)*	บดراك	GMKU 931	2.25×10^5
ม. เกษตรศาสตร์ บางเขน (2)*	บดراك	GMKU 932	3.08
		GMKU 936	1.54×10
ม. เกษตรศาสตร์ กำแพงแสน	วางราก, บดراك	GMKU 937	1.77×10^2
		GMKU 940	1.96×10^2
สวนรถไฟ กรุงเทพฯ	บดراك	GMKU 938	1.49×10^3
		GMKU 939	68
ม. มหิดล ศาลายา จ.นครปฐม	บดراك	GMKU 941	1.56×10^2
		GMKU 942	1.7×10^2
		GMKU 943	1.15×10^2
		GMKU 944	1.33×10^2

*หมายเหตุ ม. เกษตรศาสตร์ บางเขน (1) และ (2) เก็บตัวอย่างคนละบริเวณ

เมื่อนำเชื้อแบคทีโรมัยสีทามาเลี้ยงบนอาหาร MS จนเชื้อบริสุทธิ์ พบร่วมกับสายพันธุ์ GMKU xxx ซึ่งยื่นมาจาก Genetics-Microbiology Kasetsart University การศึกษานี้สอดคล้องกับการศึกษาของรัชนี (2552) ซึ่งสามารถคัดแยกแบคทีโรมัยสีจากการคัดนิณรงค์ที่เก็บจากมหาวิทยาลัยเกษตรศาสตร์ วิทยาเขตบางเขน และกำแพงแสน (แต่เป็นคนละบริเวณกับการศึกษาครั้งนี้) พบร่องรอยของ Duangmal *et al.*, 2009 ซึ่งพบแบคทีโรมัยสีสายพันธุ์ใหม่จากผลกระทบของเชื้อกัน คือ *Pseudonocardia acaciae* sp. nov.

การคัดแยกแบคทีโรมัยสีจากใบพืช พบร่วมกับสายพันธุ์ GMKU xxx ได้เนื่องจากมีการเจริญของรา หรือแบคทีเรียชนิดอื่น หรือเนื่องจากแบคทีโรมัยสีทับบริเวณใบ อาจมีปริมาณน้อย เช่น การศึกษาของ TIAN *et al.* (2004) ซึ่งแยกแบคทีโรมัยสีจากการคัดนิณรงค์และใบของข้าวที่ปลูกในประเทศไทย พบร่วมกับแบคทีโรมัยสีที่คัดแยกได้จากการคัดนิณรงค์และความหลากหลายสูงกว่าบริเวณใบ ซึ่งสอดคล้องกับการศึกษาของ Indananda *et al.* (2009b) ซึ่งคัดแยกแบคทีโรมัยสีจากใบและ

รากของพืชสมุนไพรในประเทศไทย 20 ชนิด พบร้า แอกติโนมัยสีทจำนวนทั้งหมด 59 สายพันธุ์ คัดแยกได้จากการเป็นตัวน้ำในภูมิภาคเป็นร้อยละ 81 ส่วนแอกติโนมัยสีทที่คัดแยกได้จากใบพับเพียง 11 สายพันธุ์ ซึ่งคิดเป็นร้อยละ 19 จากข้อมูลดังกล่าวซึ่งให้เห็นว่ารากเป็นแหล่งที่มีความหลากหลายของแอกติโนมัยสีทสูง และคาดได้ว่าแอกติโนมัยสีಥ่อนโดยไฟต์เดินน่าจะอยู่อ่าศักขบดินรอบรากพืช (rhizosphere) ซึ่งเป็นบริเวณที่มีความหลากหลายของแอกติโนมัยสีทสูง แล้วจึงเข้าอ่ายู่อ่าศักขในรากพืช (Sardi *et al.*, 1992)

การคัดแยกแอกติโนมัยสีಥ่อนโดยไฟต์จากการพืชในทุกตัวอย่างมักพบแบคทีเรียซึ่งมีลักษณะเมื่อกี้ยิ่ม ซึ่งสอดคล้องกับการศึกษาของรัชนี (2552) ซึ่งคัดแยกแอกติโนมัยสีಥ่อนโดยไฟต์จากการกระถินรงค์และพืชตระกูลถั่วอื่นๆ เช่น กระถินบ้าน แคน جامจุรี ชงโคง ทองหลาง นนทรี ประดู่ มะขาม มะขามเทศ ราชพฤกษ์ และหางนกยูง เป็นต้น ซึ่งจะพบแบคทีเรียลักษณะเมื่อกี้ยิ่ม ข้อมติดสีแกรมลบ และมีรูปร่างท่อน ซึ่งคาดว่าจะเป็นจุลินทรีย์ในกลุ่มไวโอล์บีเนียมซึ่งพบในป่ารากพืชตระกูลถั่ว และยังพบการเจริญของรา ซึ่งจะทำให้การคัดแยกแอกติโนมัยสีททำได้ยาก เนื่องจากรากมีการเจริญที่รวดเร็วกว่าแอกติโนมัยสีท (*Cao et al.*, 2004) โดยเฉพาะแอกติโนมัยสีทในสกุลที่ไม่ใช่ *Streptomyces* อาจจะต้องใช้เวลาในการบ่มนานเพาะเชื้อมากกว่า 14 วันขึ้นไป การเติมยาปฏิชีวนะที่มีฤทธิ์ยับยั้งการเจริญของแบคทีเรีย คือ ampicillin และ penicillin G ร่วมกับยาปฏิชีวนะที่มีฤทธิ์ยับยั้งการเจริญของรา คือ amphotericin B และ cyclohexamide พบว่าสามารถใช้คัดแยกแอกติโนมัยสีทได้ นอกจากนี้ยาปฏิชีวนะที่ยับยั้งอื่นๆ เช่น nalidixic acid (*Cao et al.*, 2004; *Taechowisan et al.*, 2003; *Nimnoi et al.*, 2009) ketoconazole (รัชนี, 2552) และ nystatin (*Taechowisan et al.*, 2003) พบว่าสามารถนำมาใช้คัดแยกแอกติโนมัยสีಥ่อนโดยไฟต์ได้เช่นกัน อย่างไรก็ตาม การใช้ยาปฏิชีวนะโดยเฉพาะอย่างยิ่งกลุ่มที่มีฤทธิ์ยับยั้งรา อาจส่งผลต่อการเจริญของแอกติโนมัยสีทบางสายพันธุ์ได้ (*Cao et al.*, 2004a) การแช่ส่วนของตัวอย่างพืชในสารละลายน้ำ 10% (v/w) NaHCO₃ เป็นเวลา 10 นาที พบว่าสามารถลดอัตราการเจริญของราได้ ซึ่งสอดคล้องกับการศึกษาของ *Cao et al.* (2004a) และ *Tan et al.* (2006) เนื่องจากการแช่ตัวอย่างพืชสารละลายน้ำ 10% (v/w) NaHCO₃ จะทำให้มีสภาพเป็นค้าง ซึ่งไม่เหมาะสมกับการเจริญของรา

การคัดแยกแอกติโนมัยสีทโดยใช้อาหาร SCA พบว่า สามารถคัดแยกแอกติโนมัยสีทได้ทั้งกลุ่มที่เป็น *Streptomyces* และ กลุ่มที่ไม่ใช่ *Streptomyces* ซึ่งสอดคล้องกับการศึกษาของรัชนี (2552) *Nimnoi et al.* (2009) และ *Indananda et al.* (2009) นอกจากนี้อาจใช้อาหารอื่นๆ ในการคัดแยกแอกติโนมัยสีಥ่อนโดยไฟต์ได้ เช่น ใช้อาหาร Humic acid vitamin agar (*Nimnoi et al.*, 2009) หรือ S medium (*Tian et al.*, 2004) การใช้อาหาร water agar (WA) ในการคัดแยกแอกติโนมัย-

สีท่อนโอดีไฟต์จากการกระดินแปรรังค์ พบว่า ไม่ประสบความสำเร็จ เนื่องจากอาหารดังกล่าวขาดสารอาหารและแร่ธาตุที่จำเป็นต่อการเจริญของแอคติโนมัยสีท ซึ่งแตกต่างจากการศึกษาของ Castillo *et al.* (2002) ซึ่งสามารถคัดแยก *Streptomyces* จากลำต้นของ snakevive โดยใช้อาหาร WA ได้

เมื่อสังเกตงานพายเชื้อที่เกลี่ยน้ำกั่นที่ล้างรากครั้งสุดท้าย พบว่า ไม่มีจุลินทรีย์ชนิดใดๆ ไม่ว่าเป็นแบคทีเรีย และแอคติโนมัยสีท เจริญบนอาหาร แสดงว่าการใช้สารละลาย เอทานอล 95 % และสารละลาย 1% NaOCl มีประสิทธิภาพการฆ่าเชื้อบนพื้นผิวของพืช ซึ่งสอดคล้องกับ การศึกษาของ Cao *et al.* (2004a) Tian *et al.* (2004) และ Nimnoi *et al.* (2009) โดยระยะเวลาในการแช่ตัวอย่างพืชอาจจะแตกต่างกันไปขึ้นอยู่กับขนาดและสภาพของตัวอย่างพืช นอกจากนี้ การใช้ เอทานอล 70% เพียงอย่างเดียว ก็พบว่า สามารถทำให้พืชของตัวอย่างพืชปลดเชื้อได้ เช่นกัน (Ezra *et al.*, 2004)

2. การจำแนกแอคติโนมัยสีทโดยการหาลำดับเบสของยีน 16S rRNA

2.1 การเพิ่มปริมาณยีน 16S rRNA และการหาลำดับเบสบริเวณปลาย 5'

เมื่อใช้ไพรเมอร์ STR1F และ STR1530R เพิ่มปริมาณดีเอ็นเอบริเวณยีน 16S rRNA ด้วยเทคนิค PCR ในแอคติโนมัยสีททั้ง 11 สายพันธุ์ พบว่า ได้ชิ้นดีเอ็นเอขนาด 1.5 กิโลเบส ซึ่งมีขนาดสอดคล้องกับขนาดของยีน 16S rRNA ของแบคทีเรีย (Lewin, 2000) แสดงให้เห็นว่าไพรเมอร์ STR1F และ STR1530R ซึ่งออกแบบมาจากบริเวณอนุรักษ์ (conserved region) ของยีน 16S rRNA ใน *Streptomyces* สายพันธุ์ต่างๆ (Kataoka *et al.*, 1997) สามารถนำมาเพิ่มปริมาณยีน 16S rRNA ในแอคติโนมัยสีทในกลุ่มที่ไม่ใช่ *Streptomyces* ได้อีกด้วย

2.2 การเปรียบเทียบลำดับเบสบริเวณ 5' กับลำดับเบสของ type strain ในฐานข้อมูล

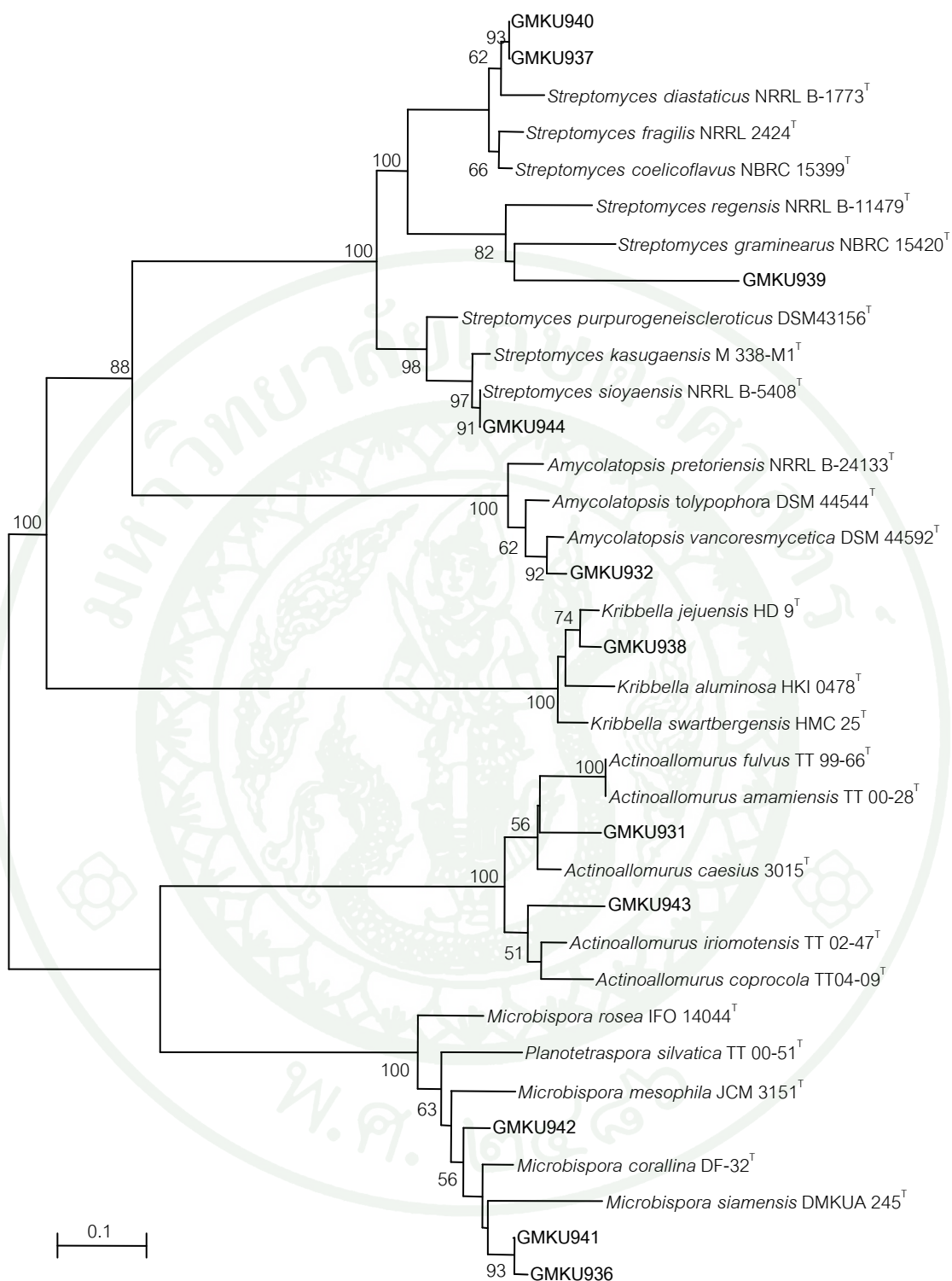
เมื่อนำชิ้นดีเอ็นเอที่ได้จากการทำพีซีอาร์ไปหาลำดับเบสโดยใช้ไพรเมอร์ STR1F พบว่า ได้ลำดับเบสประมาณ 600 คู่เบส (ภาคผนวก) เมื่อมาเปรียบเทียบกับฐานข้อมูล Genbank โดยใช้โปรแกรม Blastn ที่ www.ncbi.nih.gov/blast และโปรแกรม EzTaxon พบว่า แอคติโนมัยสีท 4 สายพันธุ์อยู่ในสกุล *Streptomyces* และ 7 สายพันธุ์จัดอยู่ในกลุ่มที่ไม่ใช่ *Streptomyces* หรือแอคติโนมัยสีทที่หายาก (rare actinomycete) ได้แก่ สกุล *Actinoallomurus* 2 สายพันธุ์ *Amycolatopsis* 1

สายพันธุ์ *Kribbella* 1 สายพันธุ์ *Microbispora* 3 สายพันธุ์ แสดงให้เห็นว่า ลำดับเบสบริเวณปลาย 5' ของยีน 16S rDNA สามารถนำมาจำแนกแอคติโนมัยสีฟ้าในระดับสกุลหรือสปีชีส์ได้ เนื่องจากลำดับเบสบริเวณนี้มีบริเวณที่มีความแปรผันสูง หรือเรียกว่า บริเวณอัลฟ่า (Stackebrandt *et al.*, 1991) ซึ่งสอดคล้องกับการศึกษาของ Tataoka *et al.* (1997) ซึ่งรายงานว่า ลำดับเบสบริเวณอัลฟ่าของยีน 16S rRNA สามารถนำมาใช้จำแนก *Streptomyces* ในระดับสปีชีส์ได้

เมื่อเปรียบเทียบลำดับเบสของยีน 16S rDNA ของตัวอย่างกับแอคติโนมัยสีฟ้าที่มีความคล้ายคลึงกัน โดยการทำ multiple alignment ด้วยโปรแกรม ClustalW 1.83 โดยลำดับเบสของยีน 16S rRNA ของเชื้อแอคติโนมัยสีฟ้าที่มีความคล้ายคลึงกับตัวอย่างนี้สืบคันจากฐานข้อมูล GenBank จากนั้นนำไปสร้าง phylogenetic tree ด้วยโปรแกรม MEGA 3.1 โดยคำนวณตามวิธี neighbor-joining ด้วยค่า bootstrap 1,000 ครั้ง พบร่วมให้ผลสอดคล้องกับการวิเคราะห์ด้วยโปรแกรม blanstn และ EzTaxon

ตารางที่ 4 การเปรียบเทียบความคล้ายคลึงของลำดับเบสทางส่วนของยีน 16S rRNA จากแอคติโนมัยสีฟ่อนโดไฟต์ 11 สายพันธุ์ กับลำดับเบสในฐานข้อมูลด้วยโปรแกรม Eztaxon

สายพันธุ์	สายพันธุ์ที่ใกล้เคียงที่สุด (accession no.)	เปอร์เซนต์ความเหมือน
GMKU 931	<i>Actinoallomurus caesius</i> A3015 ^T (AB364589)	99
GMKU 932	<i>Amycolatopsis tolypomycina</i> DSM 44544 ^T (AJ508241)	99
GMKU 936	<i>Microbispora corallina</i> DF-32 ^T (AB018046)	97
GMKU 937	<i>Streptomyces coelicoflavus</i> NBRC 15399 ^T (AB184650)	99
GMKU 940	<i>Streptomyces coelicoflavus</i> NBRC 15399 ^T (AB184650)	99
GMKU 938	<i>Kribbella jejuensis</i> HD9 ^T (AY253866)	99
GMKU 939	<i>Streptomyces regensis</i> NRRL B-11479 ^T (DQ026649)	96
GMKU 941	<i>Microbispora mesophila</i> JCM 3151 ^T (AF002266)	98
GMKU 942	<i>Microbispora mesophila</i> JCM 3151 ^T (AF002266)	98
GKMU 943	<i>Actinoallomurus coprocola</i> TT04-09 ^T (AB364579)	99
GMKU 944	<i>Streptomyces sioyaensis</i> NRRL B-5408 ^T (DQ026654)	100



ภาพที่ 6 การวิเคราะห์ phylogenetic tree ของสายพันธุ์ทั้ง 11 สายพันธุ์ โดยคำนวณตามวิธี neighbor-joining ด้วยค่า bootstrap 1,000 ครั้ง

2.3 การหาลำดับเบสของยีน 16S rRNA แบบสมบูรณ์

เมื่อนำเข้าคิเอ็นเอที่ได้จากการทำพีซีอาร์ของแอคติโนมัยสีทกลุ่มที่ไม่ใช่ *Streptomyces* คือ GMKU 931, GMKU 932 และ GMKU 943 มาหาลำดับเบสโดยใช้ไฟร์เมอร์ STR1F, STR1530R, ATT025 และ ATT026 นำลำดับเบสรวมโดยโปรแกรม CAP3 พบว่า สามารถใช้ไฟร์เมอร์ทั้งสี่ชนิดดังกล่าวในการหาลำดับเบสของยีน 16S rRNA แบบสมบูรณ์ได้ โดยไฟร์เมอร์ STR1F และ STR1530R จะจำเพาะกับบริเวณปลาย 5' และ 3' ของยีนตามลำดับ ส่วนไฟร์เมอร์ ATT025 และ ATT026 จะจำเพาะกับบริเวณกลางยีน

เมื่อนำลำดับเบสแบบสมบูรณ์ของยีน 16S rRNA ของสายพันธุ์ GMKU 931 (ภาคพนวก) มาเปรียบเทียบกับลำดับเบสของแอคติโนมัยสีทที่มีความคล้ายคลึงกับตัวอย่างนั้น ลีบค้นจากฐานข้อมูล GenBank โดยการทำ multiple alignment และสร้าง phylogenetic tree พบว่า GMKU 931 มีการแยกตัวออกจากกลุ่ม *Actinoallomulus* อีก 1 สายพันธุ์ เมื่อนำไปศึกษาเพิ่มเติม เช่น ศึกษาลักษณะทางสัณฐานวิทยา องค์ประกอบของเคมีของเซลล์ และการเปรียบเทียบกับแอคติโนมัยสีทสายพันธุ์ที่ใกล้เคียงด้วย DNA-DNA hybridization โดย Thamchaipenet *et al.* (2010) พบว่าเป็นแอคติโนมัยสีทสายพันธุ์ใหม่ ให้ชื่อว่า *Actinoallomurus acaciae* sp. nov.

2.4 ความหลากหลายของแอคติโนมัยสีทในโอดีไฟต์

จากการจำแนกแอคติโนมัยสีทโดยการหาลำดับเบสของยีน 16S rRNA ดังกล่าวข้างต้น แสดงให้เห็นว่า แอคติโนมัยสีทที่คัดแยกจากพีซีมีความหลากหลายสูง คือ พบทั้งกลุ่มที่เป็น *Streptomyces* และ กลุ่มแอคติโนมัยสีทที่หายาก ซึ่งแตกต่างกับความหลากหลายของแอคติโนมัยสีทในแหล่งคืน ซึ่งจะพบ *Streptomyces* เป็นส่วนมาก (Williams *et al.*, 1989) การพบแอคติโนมัยสีทในโอดีไฟต์ ซึ่งอยู่ในสกุล *Streptomyces* และสกุลที่หายาก สอดคล้องกับการศึกษาของรัชนี (2552) ซึ่งคัดแยกแอคติโนมัยสีทจากกรากกระถินผนังค์ แล้วพบว่าอยู่ในสกุล *Streptomyces* และ *Microbispora* เช่นเดียวกับการคัดแยกแอคติโนมัยสีทในโอดีไฟต์ในพืชอื่นๆ ก็พบแอคติโนมัยสีท สกุลที่หายากหลายสกุล เช่น ในข้าวสาลีที่ปลูกในประเทศไทย เนื่องจากในโอดีไฟต์ พบแอคติโนมัยสีทในสกุล *Microbispora*, *Micromonospora* และ *Nocardioidies* (Coombs *et al.*, 2004) กล่าวที่ปลูกในประเทศไทย พนектิโนมัยสีทในสกุล *Microbispora*, *Micromonospora* และ *Nocardioidies* (Coombs *et al.*, 2004) พบแอคติโนมัยสีทในสกุล *Microbispora*, *Nocardia* และ *Micromonospora* (Taechowisan *et al.*, 2003) เป็นต้น

เมื่อเปรียบเทียบแบคทีโนมยสีที่คัดแยกจากกระถินณรงค์ที่เก็บจากแหล่งต่างๆ พบว่า ตัวอย่างที่เก็บจากมหาวิทยาลัยเกษตรศาสตร์ วิทยาเขตบางเขน พบแบคทีโนมยสีที่ในสกุล *Actinoallomurus*, *Amycolatopsis* และ *Microbispora* ส่วนตัวอย่างที่เก็บในมหาวิทยาลัยเกษตรศาสตร์ วิทยาเขตกำแพงแสน พบแบคทีโนมยสีที่ในสกุล *Streptomyces* ตัวอย่างที่เก็บจากสวนรถไฟ พบแบคทีโนมยสีที่ในสกุล *Streptomyces* และ *Kribbella* และตัวอย่างที่เก็บจากมหาวิทยาลัยหิดล วิทยาเขตศาลาฯ พบแบคทีโนมยสีที่ในสกุล *Streptomyces*, *Actinoallomurus* และ *Microbispora* แสดงให้เห็นว่า สายพันธุ์ของแบคทีโนมยสีที่พบโดยไม่ได้จำเพาะกับพืชแต่ความหลากหลายจะขึ้นอยู่กับสภาพปริมาณแร่ธาตุ และความเป็นกรดด่างของดิน โดยรอบที่พืชนั้นๆ เจริญขึ้น (Conn and Franco, 2004; Tian et al., 2004) นอกจากนี้ปัจจัยทางชีวภาพอื่นๆ เช่น อายุของพืช, ชนิดของเนื้อเยื่อพืช และถูกุกาลที่เก็บตัวอย่างยังส่งผลต่อความหลากหลายของแบคทีโนมยสีที่พบโดยไฟต์อิกด้วย (Araújo et al., 2001; Adams and Klopper, 2002; Zinniel et al., 2002)

แบคทีโนมยสีสายพันธุ์ GMKU 931 พบว่า เป็นแบคทีโนมยสีสายพันธุ์ใหม่ ซึ่งสอดคล้องกับการศึกษาของ Duangmal et al. (2009) ซึ่งพบแบคทีโนมยสีสายพันธุ์ใหม่ซึ่งคัดแยกจากกระถินณรงค์เข่นกัน คือ *Pseudonocardia acaciae* sp. nov. แสดงให้เห็นว่ากระถินณรงค์เป็นแหล่งค้นพบแบคทีโนมยสีที่หายากและแบคทีโนมยสีสายพันธุ์ใหม่อีกด้วย

3. การศึกษาลักษณะทางสัณฐานวิทยา

เมื่อศึกษาการสร้างสารสีเมลานิน บนอาหาร ISP7 พบว่า ไม่มีสายพันธุ์แบคทีโนมยสีที่สามารถสร้างสารสีเมلانินได้ ลักษณะทางสัณฐานวิทยาอื่นๆ คือ ลักษณะโคลoni สีของสปอร์สีของเส้นใยอาหาร และสารสีที่ละลายน้ำ ของแบคทีโนมยสีสายพันธุ์ต่างๆ แสดงในตารางที่ 5

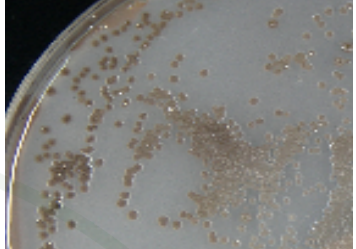
ตารางที่ 5 ลักษณะทางสัณฐานวิทยาของแบคทีโรมัยสีฟ้ายพันธุ์ต่างๆ

สายพันธุ์	การเจริญบนอาหาร ISP3		ลักษณะ
GMKU 931	สปอร์ : ขาว เส้นใยอาหาร : เหลืองอ่อน สารสี : ไม่สร้าง		
GMKU 932	สปอร์ : ขาว เส้นใยอาหาร : ขาว สารสี : ไม่สร้าง		
GMKU 936	สปอร์ : ขาว เส้นใยอาหาร : ส้ม สารสี : ไม่สร้าง		
GMKU 937	สปอร์ : เทา เส้นใยอาหาร : แดง สารสี : น้ำตาลแดง		
GMKU 938	สปอร์ : ขาว เส้นใยอาหาร : เหลืองอ่อน สารสี : ไม่สร้าง		

ตารางที่ 5 (ต่อ)

สายพันธุ์	การเจริญบนอาหาร ISP3		ลักษณะ
GMKU 939	สปอร์ : เทา เส้นใยอาหาร : น้ำตาลอ่อน สารสี : ไม่สร้าง		
GMKU 940	สปอร์ : ขาว เส้นใยอาหาร : ชมพูอ่อน สารสี : ไม่สร้าง		
GMKU 941	สปอร์ : ขาว เส้นใยอาหาร : น้ำตาลอ่อน สารสี : ไม่สร้าง		
GMKU 942	สปอร์ : ขาว เส้นใยอาหาร : น้ำตาลอ่อน สารสี : ไม่สร้าง		
GMKU 943	สปอร์ : ขาว เส้นใยอาหาร : เหลืองอ่อน สารสี : ไม่สร้าง		

ตารางที่ 5 (ต่อ)

สายพันธุ์	การเจริญบนอาหาร ISP3		ลักษณะ
GMKU 944	สภาพ : ไม่สร้าง เส้นอาหาร : น้ำตาล สารสี : น้ำตาลอ่อน		

4. การทดสอบความสามารถในการยับยั้งจุลินทรีย์ทดสอบ

4.1 ความสามารถในการยับยั้งแบคทีเรียทดสอบ

เมื่อนำแอคติโนมัยสีทอ่อนโอดาไฟต์ 11 สายพันธุ์ มาทดสอบการยับยั้งการเจริญของแบคทีเรีย พบร่วมกับผลการยับยั้งทั้งหมด 3 สายพันธุ์ (ตารางที่ 6) คือ สายพันธุ์ GMKU 932 สามารถยับยั้ง *Bacillus cereus* ATCC11778 สายพันธุ์ GMKU 940 สามารถยับยั้งได้ทั้งแบคทีเรียแกรมบวกและลบ คือ *B. cereus* ATCC11778 *Staphylococcus aureus* ATCC25923 และ *E. coli* ATCC8739 สายพันธุ์ GMKU 944 สามารถยับยั้ง *B. cereus* ATCC11778, *S. aureus* ATCC25923 และแบคทีเรียก่อโรคพืช *Ralstonia solanacearum* ซึ่งทำให้เกิดโรคเหี้ยวนะเขือเทศ อย่างไรก็ตาม แอคติโนมัยสีทั้ง 3 สายพันธุ์ดังกล่าวไม่สามารถยับยั้งแบคทีเรียก่อโรคพืช คือ *Xanthomonas campestris* pv. *glycine* และ *Erwinia carotovora* pv. *carotovora* ได้

แอคติโนมัยสีทสายพันธุ์ GMKU 932 สามารถออกฤทธิ์ยับยั้งแบคทีเรียแกรมบวกได้เพียงชนิดเดียว GMKU 940 และ GMKU 944 สามารถยับยั้งแบคทีเรียทั้งแกรมบวกและลบ แสดงว่า แอคติโนมัยสีทดสอบสายพันธุ์ดังกล่าวสามารถสร้างสารเมแทบอไลท์ได้มากกว่าชนิดเดียว และแต่ละชนิดมีกลไกการยับยั้งที่แตกต่างกัน จึงมีฤทธิ์ยับยั้งแบคทีเรียได้หลายชนิด

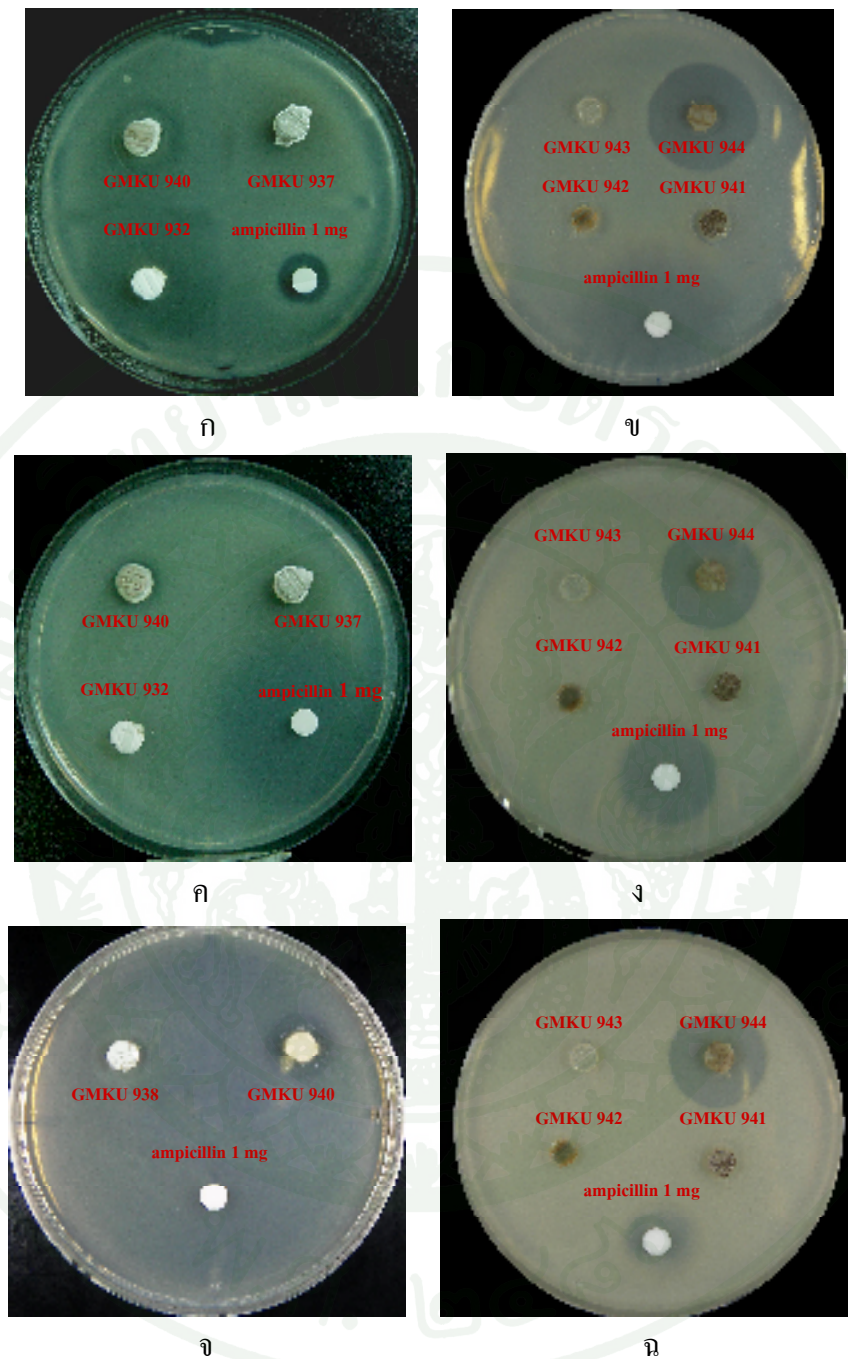
เมื่อตรวจดูการออกฤทธิ์ต่อต้านแบคทีเรียทดสอบของแอคติโนมัยสีที่เจริญบนอาหาร MS, ISP2 และ ISP3 พบร่วมกับชนิดของอาหารมีผลต่อการออกฤทธิ์ต่อต้านแบคทีเรียทดสอบเนื่องจาก ความสามารถในการสร้างสารเมแทบอไลท์ที่มีฤทธิ์ทางชีวภาพของแอคติโนมัยสีที่น้อยกว่ากับปัจจัยหลายประการ ได้แก่ องค์ประกอบของอาหารเลี้ยงเชื้อ เช่น แหล่งคาร์บอน แหล่งไนโตรเจน เกลือและฟอสฟอตอินทรีย์ สารตั้งต้น สารยับยั้ง เป็นต้น (Iwai and Omura, 1982)

นอกจากนี้องค์ประกอบของอาหารยังมีผลต่อความกว้างของวงไส้ในการทดสอบด้วย เช่น องค์ประกอบของอาหารที่มีแคลเซียม แมกนีเซียมและเหล็ก จะมีผลต่อฤทธิ์ของสารปฏิชีวนะกลุ่ม tetracycline และ gentamicin เกลือโซเดียมคลอไรด์ มีผลลดการออกฤทธิ์ของสารปฏิชีวนะกลุ่ม aminoglycoside แต่เพิ่มประสิทธิภาพของสารปฏิชีวนะกลุ่ม fusidic acid ล่วงقارب ไ索เดรตจะช่วยเพิ่มประสิทธิภาพของสารปฏิชีวนะกลุ่ม nitrofuranoin และ ampicillin (Collins *et al.*, 1989)

4.2 ความสามารถในการขับยั้งราทดสอบ

จากการตรวจสอบเชื้อจำนวน 11 สายพันธุ์พบว่า แอคติโนมัยสีทั้งจำนวน 4 สายพันธุ์ สามารถออกฤทธิ์ขับยั้งราทดสอบได้ คือ GMKU 937, GMKU 938, GMKU 940 และ GMKU 944 สามารถต้านเชื้อราก *A. niger* ได้ นอกจากนี้สายพันธุ์ GMKU 940 ยังสามารถออกฤทธิ์ขับยั้งรา ก่อโรคพืช คือ *Fusarium proliferatum* DOAC 0842 และ *Fusarium moniliforme* อย่างไรก็ตาม แอคติโนมัยสีทั้ง 4 สายพันธุ์ดังกล่าวไม่สามารถขับยั้ง *Candida albicans*, *Heminthosporium oryzae* และ *Rhizoctonia solani* ได้

แอคติโนมัยสีที่มีความสามารถในการขับยั้งแบคทีเรียโรคพืชได้ สามารถนำไป ประยุกต์ใช้เป็นสารชีวภัณฑ์ (biolcontrol agent) ป้องกันการเข้าทำลายของจุลินทรีย์ก่อโรคพืช ช่วยให้พืชทนต่อการเกิดโรค รวมทั้งส่งเสริมการเจริญแก่ต้นพืช และเพื่อเป็นการลดการใช้สารเคมีได้ เช่น มีรายงานว่า *Streptomyces* sp. ที่แยกได้จากรากมะเขือเทศ สามารถส่งเสริมการเจริญและช่วยให้พืชต้านทานต่อการเข้าทำลายของ *Rhizoctonia solani* ในมะเขือเทศได้ (Cao *et al.*, 2004) นอกจากนี้ *Streptomyces aureofaciens* CMUAc130 ที่แยกได้จากรากขิง สามารถขับยั้งเชื้อราก *Colletotrichum musae* และ *Fusarium oxysporum* ซึ่งเป็นเชื้อสาเหตุของโรคแอนแทรคโนสในกล้วยและโรคเหี่ยวในข้าวสาลีได้ ตามลำดับ (Taechowisan and Lumyong *et al.*, 2003)



ภาพที่ 7 การทดสอบความสามารถของแบคทีโรมัยสีทึในการยับยั้งแบคทีเรียทดสอบ

(ก) และ (ก) *Bacillus cereus* ATCC 11778

(ก) และ (ก) *Staphylococcus aureus* ATCC 25923

(ก) *Escherichia coli* ATCC 8739

(ก) *Ralstonia solanacearum*

5. การถ่ายยืน enhanced green fluorescent protein (*egfp*) สู่แอกติโนมัยสีท่อนโอดไฟต์

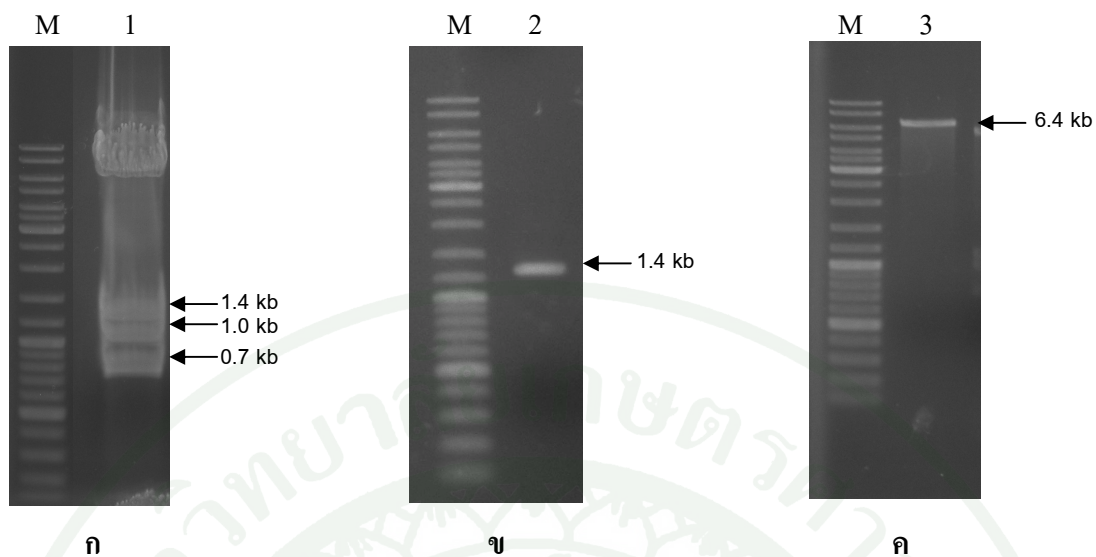
5.1 การสร้างพลาสมิด pIJ10257*egfp*

การติดตามความสามารถในการเข้าอุ่่าศักขของแอกติโนมัยสีท่อนโอดไฟต์ภายในเนื้อเยื่อพิชจาก การเรืองแสงของโปรตีน enhanced green fluorescent (enhanced green fluorescent protein; EGFP) โดยการสร้างพลาสมิดสายพสมที่ประกอบด้วยยืน *egfp* จากพลาสมิด pIJ8655 (Sun et al., 1999) เชื่อมเข้าหลังปลาย 3' ของ *ermE* promoter บนพลาสมิด pIJ10257 ซึ่งเป็น constitutive promoter ของ *Streptomyces* นอกจากนี้ pIJ10257 ยังมีคุณสมบัติเป็น conjugative vector ทำให้สามารถถ่ายเข้าสู่แอกติโนมัยสีท่อนโอดไฟต์ได้ด้วยวิธีคอนjugation ต่างสกุลได้

สกัดพลาสมิด pIJ8655 และ pIJ10257 ตัดพลาสมิดทั้งสองด้วยendonuclease *NdeI* และ *HindIII* จากนั้นจึงตรวจสอบขนาดคีอีนของตัวอย่างโดยใช้เจลเอลอกอฟโรฟรีซิส พบว่าได้ชิ้นคีอีนของขนาด 0.7, 1.0 และ 1.4 กิโลเบส (ภาพที่ 8 ก) ตัดเจลบริเวณชิ้นคีอีนของขนาด 1.4 กิโลเบส ซึ่งเป็นยืน *egfp* แล้วนำໄไปทำให้บริสุทธิ์ (ภาพที่ 8 ข)

เมื่อตัดพลาสมิด pIJ10257 ด้วยendonuclease *NdeI* สองช่วงขนาดข้างต้น จะได้ชิ้นคีอีนของขนาด 6.4 กิโลเบส (ภาพที่ 8 ค) จากนั้นจึงเชื่อมต่อชิ้นคีอีนของขนาด 1.4 กิโลเบสที่ทำให้บริสุทธิ์ข้างต้นเข้ากับ pIJ10257 แล้วจึงนำพลาสมิดสายพสมทранฟอร์เมชันสู่ *E. coli* XL-1blue ต่อไป

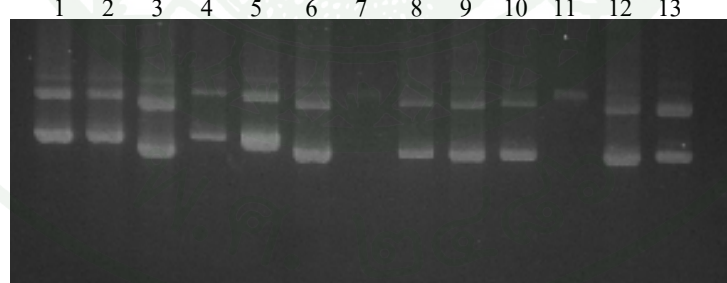
เมื่อนำทรายฟอร์เมนต์มาตรวจสอบโดยการสกัดพลาสมิด แยกขนาดด้วยองค์การโรสเจลอิเล็กโทรโฟรีซิสเบรียบเทียบกับพลาสมิด pIJ10257 (ภาพที่ 9) เลือกพลาสมิดที่มีขนาดใหญ่กว่า เมื่อเปรียบเทียบกับ pIJ10257 (ภาพที่ 9; หมายเลข 1 และ 2) มาตัดด้วยendonuclease *NdeI* และ *HindIII* พบว่าได้ชิ้นคีอีนของขนาด 6.4 และ 1.4 กิโลเบส ซึ่งเป็นชิ้นคีอีนของพลาสมิด pIJ10257 และยืน *egfp* ตามลำดับ (ภาพที่ 10) แสดงให้เห็นว่า พลาสมิดที่ตรวจสอบเป็นพลาสมิดสายพสมที่ต้องการ ตั้งชื่อพลาสมิดสายพสมว่า pIJ10257*egfp*



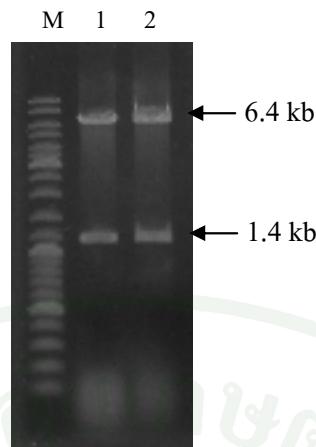
ภาพที่ 8 การสร้างพลาสมิด pIJ10257^{egfp} โดยตัดชิ้นยีน egfp จาก pIJ8655 เพื่อนำมาเชื่อมกับ pIJ10257

- (ก) การตัดพลาสมิค pIJ8655 ด้วยเอนไซม์ *NdeI* และ *HindIII* (ช่องที่ 1)
 - (ข) การตัดชิ้นคีอี็นขนาด 1.4 กิโลเบส จากภาพ ก แล้วทำให้บริสุทธิ์ (ช่องที่ 2)
 - (ค) การตัดพลาสมิค pIJ10257 ด้วยเอนไซม์ *NdeI* และ *HindIII* (ช่องที่ 3)

M គីអូ 1 kb DNA ladder mix



ภาพที่ 9 การตรวจสอบพลาสมิคสายพสນค์ด้วยอะกาโรไสเจลอิเล็ก tro-ไฟรีซิส; หมายเลข 1-12 คือ พลาสมิคที่สักด้วยโภคโลนีของ *E. coli* หลังจากการทราบฟอร์เมชัน; หมายเลข 13 คือ พลาสมิค pIJ10257



ภาพที่ 10 การตรวจสอบพลาสมิคส์สายพsm pIJ10257egfp ด้วยการตัดด้วยเอนไซม์ตัดจำเพาะ; M คือ 1 kb DNA ladder mix; 1 และ 2 คือ พลาสมิคจากภาคที่ 9 หมายเลข 1 และ 2 ตามลำดับ ตัดด้วยเอนไซม์ *NdeI* และ *HindIII*

5.2 ประสิทธิภาพการค่อนจุ่นเกษณ์ต่างสกุล

เมื่อศึกษาความสามารถในการต้านทานยาปฏิชีวนะ hygromycin B ของ *Streptomyces* sp. GMKU 937 และ GMKU 944 พบว่า ปริมาณของยาปฏิชีวนะที่เหมาะสมเพื่อนำมาใช้ตัดเลือก เอกซ์ค่อนจุ่นแกนต์ คือ 50 ไมโครกรัมต่อมิลลิลิตร หรือคิดเป็น 1000 ไมโครกรัมต่อจานเพาะเชื้อ ศึกษาประสิทธิภาพการค่อนจุ่นเกษณ์ต่างสกุล โดยใช้ *E. coli* ET12567 (pUZ8002/pIJ10257) เป็นผู้ให้ และ *Streptomyces* sp. GMKU 937 และ GMKU 944 เป็นผู้รับ โดยใช้เส้นไส้ยาพันธุ์ GMKU 937 และ GMKU 944 ที่เลี้ยงในอาหารเหลว ISP2 อายุ 24, 36 และ 48 ชั่วโมง ซึ่งมีจำนวนเซลล์อยู่ ในช่วง 10^5 - 10^6 เซลล์ต่อมิลลิลิตร เมื่อทำการค่อนจุ่นแล้วจึงราดทับด้วย hygromycin B 1000 ไมโครกรัมต่อจานเพาะเชื้อ และ nalidixic acid 500 ไมโครกรัมต่อจานเพาะเชื้อ พบว่า สายพันธุ์ GMKU 937 ไม่สามารถเกิดค่อนจุ่นเกษณ์ได้ ส่วนสายพันธุ์ GMKU 944 พบว่าการค่อนจุ่นเกษณ์บนอาหาร MS และ ISP4 ต้องบ่มจานเพาะเชื้อที่ 28 องศาเซลเซียส เป็นเวลา 2 วัน หลังการราดด้วยยาปฏิชีวนะ จึงจะสามารถสังเกตเห็น โคลoniของเอกซ์ค่อนจุ่นแกนต์ได้ สำหรับการทำค่อนจุ่นเกษณ์บนอาหาร TSA (Oxoid) ต้องบ่มจานเพาะเชื้อที่ 28 องศาเซลเซียส เป็นเวลา 3-4 วันหลังการราดด้วยยาปฏิชีวนะ จึงจะสามารถสังเกตเห็น โคลoniของเอกซ์ค่อนจุ่นแกนต์ได้ เมื่อเปรียบเทียบประสิทธิภาพ พบว่ามีประสิทธิภาพอยู่ระหว่าง 10^{-3} ถึง 10^{-5} เอกซ์ค่อนจุ่นแกนต์ต่อผู้รับ (colony forming unit; CFU) (ตารางที่ 6) เมื่อเปรียบเทียบอายุของเส้นไส้พบว่า อายุเส้นไส้ 24 ชั่วโมงจะมีประสิทธิภาพการค่อนจุ่นสูงสุด คือ มีประสิทธิภาพอยู่ที่ 10^{-3} เอกซ์ค่อนจุ่นแกนต์ต่อผู้รับ และจะค่อยๆ ลดลง

เล็กน้อยเมื่อเส้นใยมีอายุมากขึ้น และคงให้เห็นว่า การค่อนjugexan ต่างสกุล โดยใช้เส้นใยของ *Streptomyces* sp. GMKU 944 ประสบความสำเร็จ เนื่องจากสายพันธุ์ GMKU 944 เมื่อเจริญบนอาหารแข็งชนิดต่างๆ ได้แก่ MS, TSA (Oxoid) หรือ ISP 4 จะสร้างสปอร์น้อยหรือไม่สร้างเลย จึงไม่สามารถนำมาทำค่อนjugexan โดยใช้สปอร์เป็นผู้รับได้ การศึกษานี้สอดคล้องกับ Phornphisutthimas *et al.* (2010) ซึ่งประสบความสำเร็จในการค่อนjugexan ต่างสกุลระหว่าง *E. coli* ET12567 (pUZ8002/pIJ8600) และ เส้นใยของ *S. rimosus* โดยพบว่ามีประสิทธิภาพอยู่ระหว่าง 10^{-3} ถึง 10^{-7} เอกซ์ค่อนjugexan ต่อผู้รับ ซึ่งผลดังกล่าวไม่แตกต่างกับการใช้สปอร์เป็นผู้รับ และพบว่า ประสิทธิภาพของการค่อนjugexan จะลดลงเมื่อเส้นใยมีอายุมากขึ้นอีกด้วย ผลการศึกษาดังกล่าวบ่งมีค่าไอล์เดียงกับประสิทธิภาพการค่อนjugexan โดยใช้เส้นใย *S. peucetius* ซึ่งให้ค่าอยู่ที่ 10^{-4} เอกซ์ค่อนjugexan ต่อผู้รับ (Paranthaman and Dharmalingum, 2003) ในขณะที่ *S. natalensis* ไม่สามารถเกิดค่อนjugexan โดยใช้เส้นใยเป็นผู้รับได้ (Enriquez *et al.* 2006) เช่นเดียวกับ *Streptomyces* สายพันธุ์ GMKU 937 ซึ่งแสดงให้เห็นว่าประสิทธิภาพในการค่อนjugexan ด้วยวิธีดังกล่าวบ่งชี้ข้อยุ่งกับสายพันธุ์ของ *Streptomyces* และลักษณะการกระจายของเส้นใยเมื่อเจริญในอาหารเหลว (Phornphisutthimas *et al.*, 2010)

เมื่อเปรียบเทียบชนิดของอาหาร คือ MS, ISP4 และ TSA (Oxoid) ที่เติม $MgCl_2$ 10 มิลลิโตรลาร์ พบร่วมกันว่า ประสิทธิภาพการค่อนjugexan ไม่แตกต่างกัน ซึ่งแตกต่างกับการศึกษาของ Phornphisutthimas *et al.* (2010) ที่พบว่า การค่อนjugexan ต่างสกุล โดยใช้เส้นใยของ *S. rimosus* เป็นผู้รับ จะมีประสิทธิภาพสูงสุดเมื่อใช้อาหาร TSA (Oxoid) เมื่อเปรียบเทียบกับอาหาร MS และ ISP4 ส่วนการค่อนjugexan ต่างสกุล โดยใช้สปอร์ของ *S. ipomoeae* และ *Kitasatospora setae* เป็นผู้รับ ให้ประสิทธิภาพสูงสุดบนอาหาร ISP4 คือ 10^{-5} และ 10^{-8} เอกซ์ค่อนjugexan ต่อผู้รับ ตามลำดับ (Guan and Pettis, 2009; Choi *et al.*, 2004) ซึ่งประสิทธิภาพของการค่อนjugexan บนอาหารชนิดต่างๆ อาจขึ้นอยู่กับสายพันธุ์ของ *Streptomyces* นั้นด้วย นอกจากนี้ การเติม $MgCl_2$ พบร่วมบังช่วยเพิ่มประสิทธิภาพการค่อนjugexan ต่างสกุลอีกด้วย แม้ว่าบังช่วยไม่ทราบก็ตาม

ตารางที่ 6 ประสิทธิภาพการคอนจูเกชันต่างสกุลระหว่าง *E. coli* ET12567 (pUZ8002/pIJ10257) และเส้นใยของ *Streptomyces* sp. GMKU 944 ที่อายุและอาหารต่างๆ

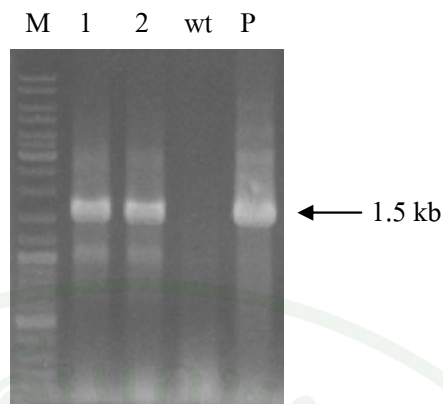
อายุของเส้นใย (ชั่วโมง)	ประสิทธิภาพการคอนจูเกชัน		
	MS + 10 mM MgCl ₂	ISP4 + 10 mM MgCl ₂	TSA + 10 mM MgCl ₂
24	1.35×10^{-3}	2.18×10^{-3}	1.58×10^{-3}
36	2.17×10^{-3}	3.67×10^{-3}	3.40×10^{-3}
48	6.10×10^{-3}	3.66×10^{-4}	5.15×10^{-5}

5.3 การถ่ายพลาสมิด pIJ10257egfp สร้าง *Streptomyces* โดยวิธีค่อนจูเกชันต่างสกุล

จากการทำการค่อนจูเกชันถ่ายพลาสมิด pIJ10257egfp สร้าง *Streptomyces* สายพันธุ์ GMKU 944 โดยใช้เส้นใยอายุ 24 ชั่วโมง และทำการค่อนจูเกชันบนอาหาร MS ที่เติม MgCl₂ 10 มิลลิโอมอลาร์ โดยใช้ยาปฏิชีวนะ hygromycin B เข้มข้น 1000 ไมโครกรัมต์/_ml ในการกรองต่อจากน้ำเพาะเชื้อในภาชนะพลาสติก 4-5 วัน จากนั้นจึงนำเข้าไปคัดเลือกบนอาหาร MS ที่เติมยาปฏิชีวนะ hygromycin B และกรองนาลิติดิชิก สำหรับในการใช้พลาสมิด pIJ10257egfp เพื่อถ่ายยีน egfp สร้าง *Streptomyces* นี้ พลาสมิดจะเกิดการแทรกตัวแบบ site-specific recombination ของตำแหน่ง attachment site บนพลาสมิด (attP) กับตำแหน่ง attB บนโครโนซิม โดยอาศัย酵ん integrase จากยีน int ของฝ่า ØC31 ซึ่งอยู่บนพลาสมิด pIJ10257 ได้อย่างมีประสิทธิภาพ

5.4 การตรวจสอบเอกสารค่อนจูแกนต์

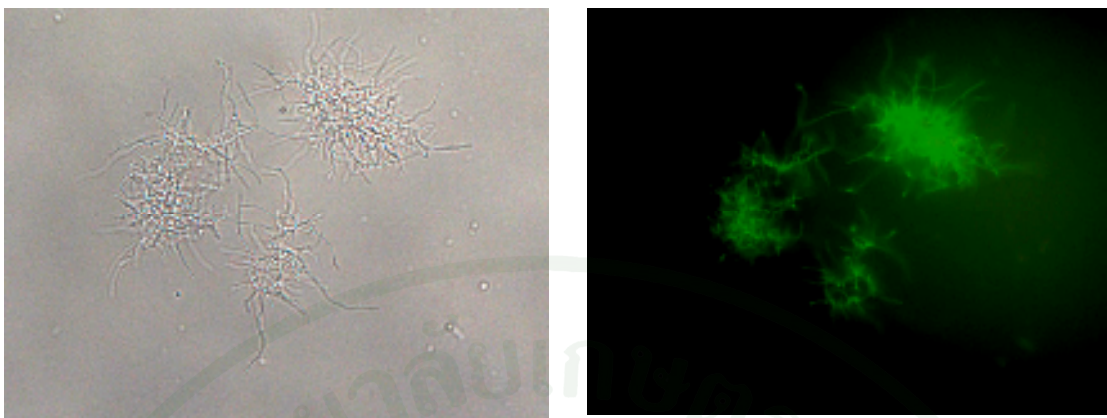
เมื่อนำจีโนมิกดีเอ็นเอเอกสารค่อนจูแกนต์ไปตรวจสอบด้วยเทคนิคพีวีอาร์ โดยใช้ไฟร์เมอร์ 10257seqF และ 10257seqR ซึ่งจำเพาะกับบริเวณ multiple cloning site ของพลาสมิด pIJ10257 ซึ่งพบว่าผลเป็นไปตามคาดหวัง คือ สามารถเพิ่มปริมาณชิ้นดีเอ็นเอขนาด 1.5 กิโลเบปต์ ซึ่งเป็นชิ้นยีน egfp ที่เชื่อมอยู่ระหว่างบริเวณ multiple cloning site ของพลาสมิด pIJ10257 เมื่อตรวจสอบพลาสมิด pIJ10257egfp ซึ่งเป็น positive control พบว่า สามารถเพิ่มปริมาณชิ้นดีเอ็นเอขนาด 1.5 กิโลเบปต์ได้ ส่วนจีโนมิกดีเอ็นเอของ GMKU 944 ที่ไม่มีพลาสมิดนั้นไม่สามารถเพิ่มปริมาณดีเอ็นเอโดยใช้ไฟร์เมอร์คู่ดังกล่าวได้ (ภาพที่ 11) แสดงให้เห็นว่า เอกซ์ค่อนจูแกนต์ดังกล่าว มีพลาสมิด pIJ10257egfp ไปแทรกจริงโดยตั้งชื่อว่าสายพันธุ์ *Streptomyces* sp. GMKU944/egfp



ภาพที่ 11 การตรวจสอบເອກະຄອນຈູແກນຕໍ່ໂດຍເຖິງພີ້ອົງໄວ້ໄປເມວຣ໌ 10257seqF ແລະ 10257seqR; M ຄື່ອ 1 kb DNA ladder mix; 1 ແລະ 2 ຄື່ອ ເອກະຄອນຈູແກນຕໍ່wt ຄື່ອ ສາຍພັນຊື່ GMKU 944 ທີ່ໄມ້ມີພລາສມິດ P ຄື່ອ ພລາສມິດ pIJ10257egfp

5.5 การตรวจสอบการເຮືອງແສງຂອງ EGFP ໃນເອກະຄອນຈູແກນຕໍ່

ເມື່ອເລື່ອງເອກະຄອນຈູແກນຕໍ່ໃນອາຫານເຫຼວ ISP2 ທີ່ເຕີມຢາປຸງທຶນນະ hygromycin B ແລ້ວນໍາເສັ້ນໄຍໄປຕຽບສອບກາຍໄຕ້ກລົ່ງ fluorescent microscope ພບວ່າ ມີການເຮືອງແສງສີເຂົາຂອງ EGFP (ກາພທີ 12) ແສດງໃຫ້ເຫັນວ່າ ມີການແສດງອອກຂອງເຍືນ *egfp* ໃນ *Streptomyces* sp. GMKU944 ໄດ້ ຜົ່ງສອດຄລ້ອງກັບການສຶກຍາຂອງ Sun *et al.* (1999) ຜົ່ງໄດ້ຄ່າຍເຍືນ *egfp* ສູ່ *S. coelicolor* A3(2) ໂດຍວິທີຄອນຈູກຂັ້ນຕ່າງສຸກລແລ້ວພບວ່າ ມີການແສດງອອກຂອງ *egfp* ໃນ *S. coelicolor* A3(2) ແສດງໃຫ້ເຫັນວ່າເຍືນ *egfp* ມີຄວາມເໝາະສົມກັບ *Streptomyces* ຜົ່ງແຕກຕ່າງກັນເຍືນ *gfp* ທີ່ພບວ່າໄມ່ສາມາດແສດງອອກໃນ *Streptomyces* ໄດ້ເນື່ອງຈາກມີ rare codon ຂອງ *Streptomyces* (Leskiw *et al.*, 1991) ນອກຈາກນີ້ຍັງພບວ່າ ເຍືນ *egfp* ຍັງສາມາດແສດງອອກໄດ້ໃນ *Streptomyces* ສາຍພັນຊື່ອື່ນໆ ໄດ້ ເຊັ່ນ *S. rimosus* R7 (Phornphisutthimas *et al.*, 2010) ເປັນດີນ ການແສດງອອກຂອງເຍືນ *egfp* ບນພລາສມິດ pIJ10257egfp ນັ້ນຄຸກຄວນດ້ວຍໂປຣໂມເຕອຣ໌ *ermE* ຜົ່ງເປັນ constitutive strong promoter ໃນ *Streptomyces* ທຳໄໝເຍືນ *egfp* ມີການແສດງອອກຕອດເວລາໂດຍໄນ່ຕ້ອງອາສີຍຕ້ວກະຕຸ້ນ (inducer) ຜົ່ງສອດຄລ້ອງກັບການສຶກຍາຂອງ Coombs and Franco (2003) ຜົ່ງສ່ຽງພລາສມິດເພື່ອຄ່າຍເຍືນ *egfp* ສູ່ *Streptomyces* ໂດຍໃຫ້ໂປຣໂມເຕອຣ໌ *ermE* ເປັນຕົວຄວນຄຸມ ພບວ່າ *Streptomyces* ມີການແສດງອອກຂອງເຍືນ *egfp* ຕລອດເວລາໂດຍໄນ່ຕ້ອງອາສີຍຕ້ວກະຕຸ້ນເຊັ່ນກັນ



ภาพที่ 12 การตรวจส่วนการเรืองแสงของ EGFP ในองค์คุณจุแกนต์

- (ก) Bright field กำลังขยาย 500x
- (ข) Blue light excitation โดยมี excitation wavelength 465-496 นาโนเมตร และ emission wavelength 515-555 นาโนเมตร กำลังขยาย 500x

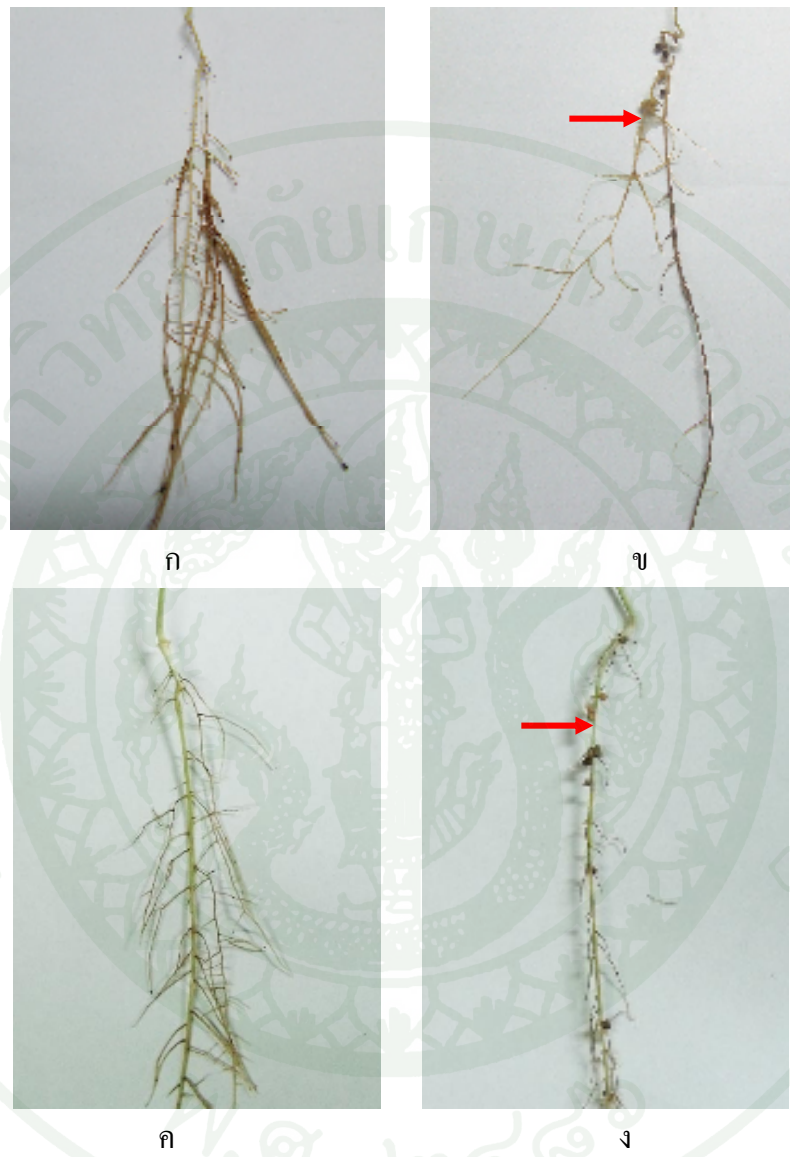
6. การติดตามแอคติโนมัยสีท่อนโดยไฟต์ในเนื้อยื่อพืช

6.1 การปลูกแอคติโนมัยสีทอกลับสู่ต้นอ่อนกระถินแพร่งร่วมกับจุลินทรีย์ไโรโซเบียม

ปลูกเชื้อแอคติโนมัยสีทอกลับสู่ต้นอ่อนกระถินแพร่งร่วมกับจุลินทรีย์ไโรโซเบียมร่วมกับเชื้อ *Streptomyces* sp. GMKU 937 หรือ *Streptomyces* sp. GMKU 944/egfp เพียงอย่างเดียว กลุ่มที่สองปลูกเชื้อ *Streptomyces* sp. GMKU 937 หรือ *Streptomyces* sp. GMKU 944/egfp เมื่อบ่มพืชเป็นเวลา 8 สัปดาห์ พืชที่ปลูกเชื้อจุลินทรีย์ในทุกกลุ่มการทดลองมีลักษณะที่ปกติ และไม่มีการแสดงอาการของโรคพืชเกิดขึ้น แสดงให้เห็นว่า *Streptomyces* sp. GMKU 937 หรือ GMKU 944/egfp ไม่ได้เป็นจุลินทรีย์ที่ก่อโรคพืช เมื่อตรวจสอบการเกิดปมบริเวณรากพืช พบว่า กลุ่มพืชที่ปลูกเชื้อ *Streptomyces* sp. GMKU 937 หรือ GMKU 944/egfp ไม่สามารถกระตุ้นการสร้างปมบริเวณรากพืชได้ ในขณะที่กลุ่มพืชที่ปลูกเชื้อ ไโรโซเบียมเพียงอย่างเดียวหรือกลุ่มพืชที่ปลูกเชื้อ ไโรโซเบียมร่วมกับ *Streptomyces* sp. GMKU 937 หรือ GMKU 944/egfp พบการสร้างปมบริเวณรากจำนวนมาก (ภาพที่ 13 ง และ จ ตามลำดับ) นอกจากนี้เมื่อเปรียบเทียบปมที่เกิดขึ้นไม่ว่าจะปลูกไโรโซเบียมเพียงอย่างเดียวหรือร่วมกับ *Streptomyces* sp. GMKU 937 หรือ GMKU 944/egfp มีปริมาณและขนาดของปมใกล้เคียงกัน แสดงว่า *Streptomyces* sp. GMKU ทั้งสองไม่มีผลต่อการสร้างปมของกระถินแพร่งร่วมกับจุลินทรีย์

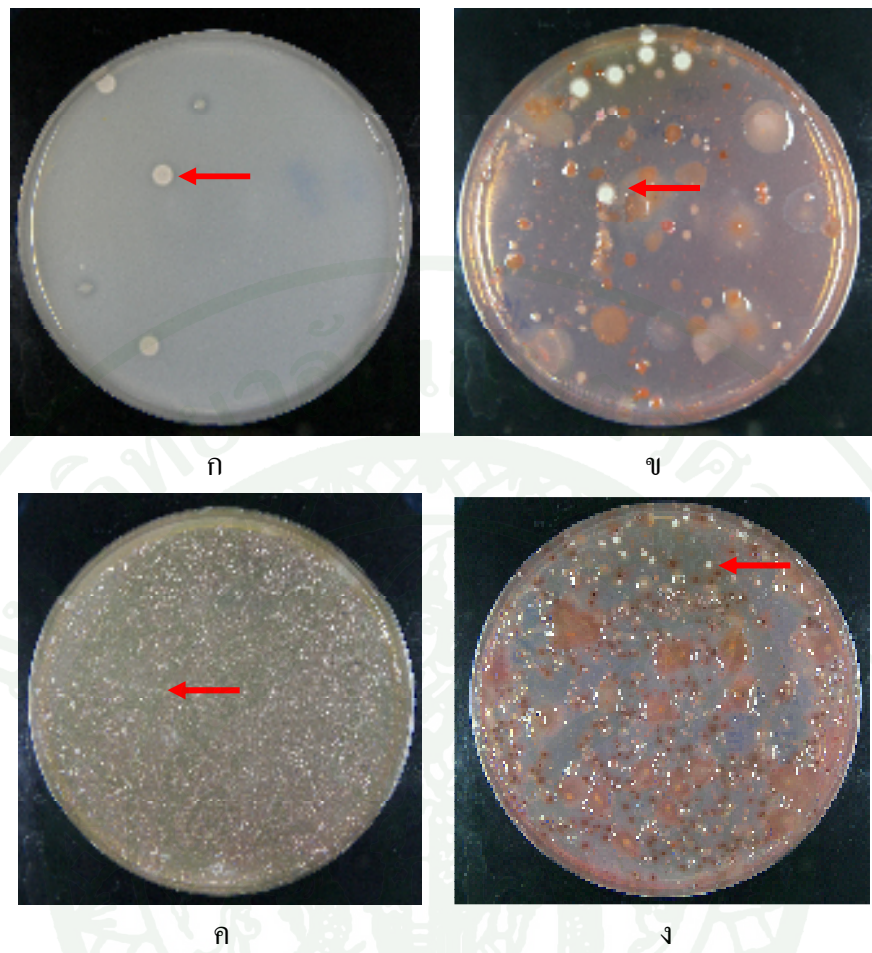
เมื่อคัดแยกจุลินทรีย์จากการพืชที่ปลูกเชื้อ *Streptomyces* sp. GMKU937 เพียงอย่างเดียว พบว่า สามารถคัดแยก *Streptomyces* sp. GMKU937 กลับօอกมาได้ ทั้งในอาหาร SCA และ YMA (ภาพที่ 14 ก และ ข) ส่วนพืชที่ปลูกเชื้อ *Streptomyces* sp. GMKU 937 ร่วมกับ ไโรโซเบียม พบว่า สามารถคัดแยก *Streptomyces* sp. GMKU937 ในอาหาร SCA และ YMA และพบโคลิโนของไโรโซเบียมในอาหาร YMA (ภาพที่ 14 ค และ ง) จากผลการทดลองดังกล่าว แสดงให้เห็นว่า *Streptomyces* sp. GMKU937 เป็นเออนโดยไฟต์ที่แท้จริงและยังสามารถอยู่ร่วมกับจุลินทรีย์กลุ่ม ไโรโซเบียมได้ ส่วนกลุ่มพืชที่ปลูกเชื้อ ไโรโซเบียมเพียงอย่างเดียว พบว่า ไม่สามารถคัดแยก แอคติโนมัยสีท่าได้ แสดงให้เห็นว่า แอคติโนมัยสีท่อนโดยไฟต์ที่พบในรากพืชไม่ได้อาศัยอยู่ใน เมล็ดพืชตั้งแต่แรก แต่เป็นจุลินทรีย์ที่อาศัยอยู่บริเวณดินรอบรากพืชแล้วจึงเข้าไปอยู่อาศัยในรากพืช ส่วนการคัดแยกรากพืชที่ปลูกเชื้อ *Streptomyces* sp. GMKU 944/egfp พบว่า ไม่สามารถแยกเชื้อ กลับมาได้ เนื่องจากแอคติโนมัยสีทอกลับซึ่งกล่าวอาจมีปริมาณน้อยในราก หรือเนื่องจากมีการ

เจริญของไโรโซบียมซึ่งสามารถเจริญได้เร็วกว่า *Streptomyces* sp. GMKU 944/egfp จนเต็มงานเพาะเชื้อ จึงไม่สามารถตรวจพบ *Streptomyces* sp. GMKU 944/egfp จากการแยกเชื้อบนอาหารได้



ภาพที่ 13 รากของกระถินณรงค์หลังจากการบ่มพืชในห้องเพาะบ่มดันกล้าเป็นเวลา 8 สัปดาห์
 (ก) รากกระถินณรงค์ที่ปลูก *Streptomyces* sp. GMKU 937 เพียงอย่างเดียว
 (ข) รากกระถินณรงค์ที่ปลูก *Streptomyces* sp. GMKU 937 ร่วมกับไโรโซบียม
 (ค) รากกระถินณรงค์ที่ปลูก *Streptomyces* sp. GMKU 944/egfp เพียงอย่างเดียว
 (ง) รากกระถินณรงค์ที่ปลูก *Streptomyces* sp. GMKU 944/egfp ร่วมกับไโรโซบียม

หมายเหตุ ลูกศรชี้ คือ บริเวณที่เกิดปมราก



ภาพที่ 14 การแยกเชื้อจุลินทรีย์จากการกระดินผงรังค์ที่ได้รับการปลูกเชื้อ

(ก) การแยกเชื้อจุลินทรีย์จากการกระดินผงรังค์ที่ปั่นลูก Streptomyces sp. GMKU 937 บนอาหาร SCA

(ข) การแยกเชื้อจุลินทรีย์จากการกระดินผงรังค์ที่ปั่นลูก Streptomyces sp. GMKU 937 บนอาหาร YMA

(ค) การแยกเชื้อจุลินทรีย์จากการกระดินผงรังค์ที่ปั่นลูก Streptomyces sp. GMKU 937 ร่วมกับไธโอลีบีมบนอาหาร SCA

(ง) การแยกเชื้อจุลินทรีย์จากการกระดินผงรังค์ที่ปั่นลูก Streptomyces sp. GMKU 937 ร่วมกับไธโอลีบีมบนอาหาร YMA

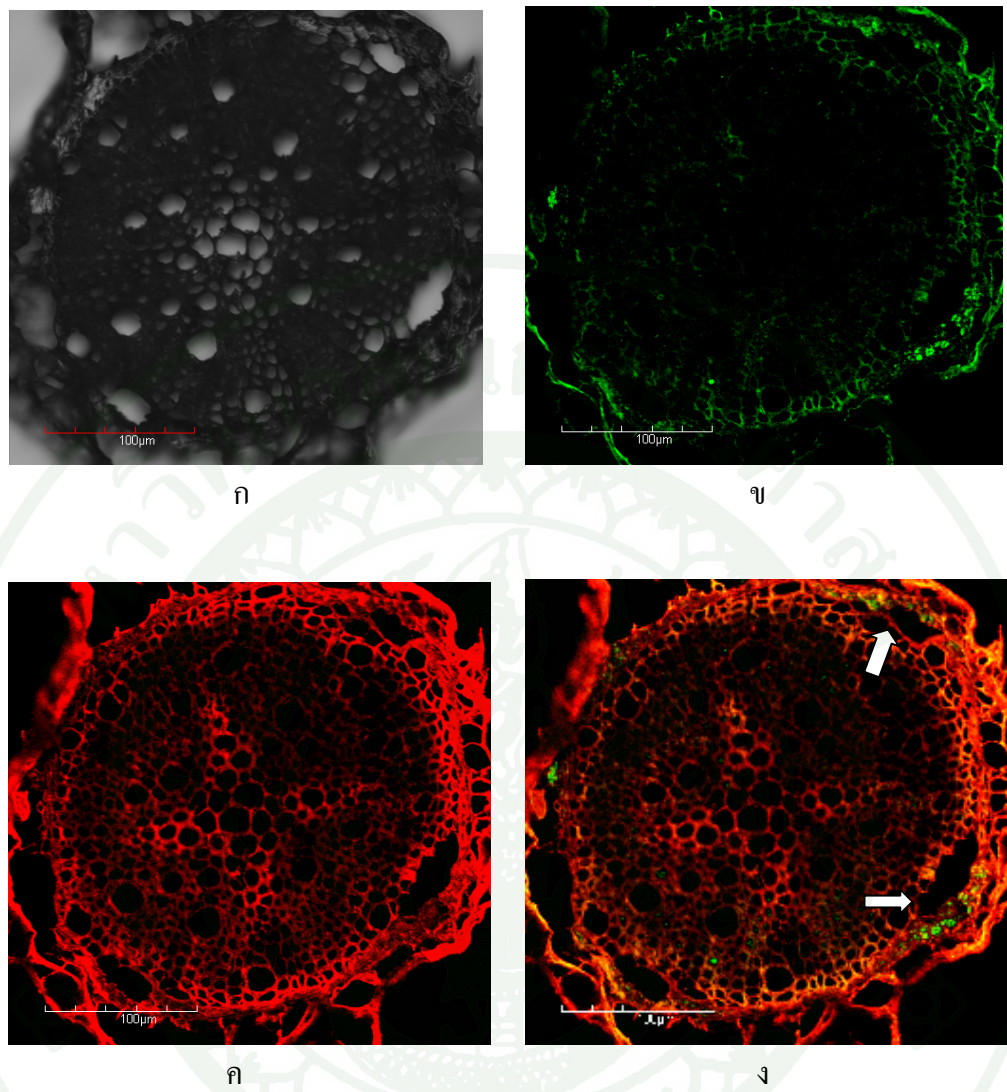
หมายเหตุ ลูกครึ่งแสดงถึงโคลoniของ *Streptomyces* sp. GMKU 937

6.2 การติดตามแอคติโนมัยสีฟ้าในเนื้อเยื่อพืชจากการเรืองแสงของ EGFP

ตรวจสอบการเรืองแสงของ EGFP ใน *Streptomyces* sp. GMKU 944/egfp ภายใต้กล้อง confocal laser scanning microscope โดยใช้ excitation wavelength 465-496 นาโนเมตร และ emission wavelength 515-555 นาโนเมตร พบว่าเส้นใยของ GMKU 944/egfp มีการเรืองแสงสีเขียวของ EGFP และเมื่อใช้ excitation wavelength 465-496 นาโนเมตร และ emission wavelength 515-555 นาโนเมตร พบว่าเส้นใยของ *Streptomyces* sp. GMKU 944/egfp ไม่มีการเรืองแสง fluorescent สีแดง (ผลไม่ได้แสดง)

เมื่อนำรากของต้นอ่อนกระถินลงครึ่งปีกุกเชือ *Streptomyces* sp. GMKU 944/egfp ไปตัดตามหัวให้มีความหนา 20-25 ไมโครเมตร จากนั้นจึงนำเนื้อเยื่อรากไปตรวจสอบการเรืองแสงของ EGFP ภายใต้กล้อง confocal laser scanning microscope โดยใช้ excitation wavelength 465-496 นาโนเมตร และ emission wavelength 515-555 นาโนเมตร เพื่อตรวจสอบการเรืองแสงของ EGFP พบว่ามีการเรืองแสงสีเขียวทั่วไปในเนื้อเยื่อพืช โดยเฉพาะอย่างยิ่งบริเวณโครงสร้างของเซลล์พืช (ภาพที่ 15 ข) ซึ่งอาจเกิดจากโครงสร้างของเซลล์พืชสามารถเรืองแสงได้ด้วยตัวเองอยู่แล้ว (autofluorescent) ซึ่งให้ผลที่แตกต่างจากการศึกษาของ Coombs and Franco (2003) ซึ่งรายงานว่า เมื่อตรวจสอบเนื้อเยื่อรากของข้าวสาลีด้วย confocal laser scanning microscope โดยใช้ความยาวคลื่นเท่ากัน พบว่าโครงสร้างรากของข้าวสาลีไม่มีการเรืองแสงสีเขียวเกิดขึ้น

เมื่อใช้ excitation wavelength 360-370 นาโนเมตร และ emission wavelength 420-460 นาโนเมตร พบว่าโครงสร้างพืชมีการเรืองแสงสีแดง (ภาพที่ 15 ค) ซึ่งสอดคล้องกับการศึกษาของ Coombs and Franco (2003b) ซึ่งรายงานว่า เมื่อตรวจสอบเนื้อเยื่อรากของข้าวสาลีด้วย confocal laser scanning microscope ด้วยความยาวคลื่นดังกล่าว พบว่าโครงสร้างพืชมีการเรืองแสงสีแดง เช่นกัน เมื่อนำภาพที่ได้จากการถ่ายด้วยความยาวคลื่นที่ต่างกันทั้งสองภาพดังกล่าวข้างต้นมาซ้อนกันโดยใช้โปรแกรม Olympus Fluoroview version 7.1b พบว่า มีกลุ่มเรืองแสงสีเขียวหลายกลุ่ม ที่ไม่มีการเรืองแสงสีแดง (ภาพที่ 15 ง) บริเวณดังกล่าวมีความเป็นไปได้ว่า น่าจะเป็นกลุ่มของเส้นใย *Streptomyces* sp. GMKU 944/egfp ที่เจริญในเนื้อเยื่อพืช เนื่องจากเส้นใย *Streptomyces* sp. GMKU 944/egfp ไม่สามารถเรืองแสงสีแดงได้ โดยจะพบกลุ่มของเส้นใยกระจายบริเวณท่ออาหาร (phloem) โดยส่วนใหญ่แสดงให้เห็นว่า แอคติโนมัยสีฟ้าถอนโคลไฟต์อยู่ร่วมอาศัยภายในเนื้อเยื่อพืช โดยได้รับสารอาหารจากพืช นอกจากนี้ยังสามารถถูกกลุ่มเส้นใยที่เรืองแสงไม่มากนักได้บริเวณท่อน้ำที่ยังมีชีวิตอยู่ (xylem parenchyma) อีกด้วย (ภาพที่ 15 ง)



ภาพที่ 15 ภาพตัดขวางของรากกระถินณรงค์ภัยได้กล้อง confocal laser scanning microscope

(ก) Bright field

(ข) การตรวจสอบการเรืองแสงสีเขียว ที่ excitation wavelength 465-496 นาโนเมตร และ emission wavelength 515-555 นาโนเมตร

(ค) การตรวจสอบการเรืองแสงสีแดง ที่ excitation wavelength 360-370 นาโนเมตร และ emission wavelength 420-460 นาโนเมตร

(ง) การซ้อนภาพ (ข) และ (ค)

หมายเหตุ บริเวณลูกศรชี้ คือ บริเวณที่คาดว่าจะเป็น *Streptomyces* sp. GMKU 944/egfp

เมื่อตรวจสอบเนื้อรากที่ตัดตามยาวพบว่า ให้ผลเช่นเดียวกับรากพืชที่ตัดตามห่วงคือ โครงสร้างพืชมีการเรืองแสงสีแดงและสีเขียวได้ เมื่อนำมาพัฒนาซ้อนกัน ไม่สามารถตรวจพบบริเวณที่คาดว่าจะเป็นเส้นใยของ *Streptomyces* sp. GMKU 944/egfp ได้

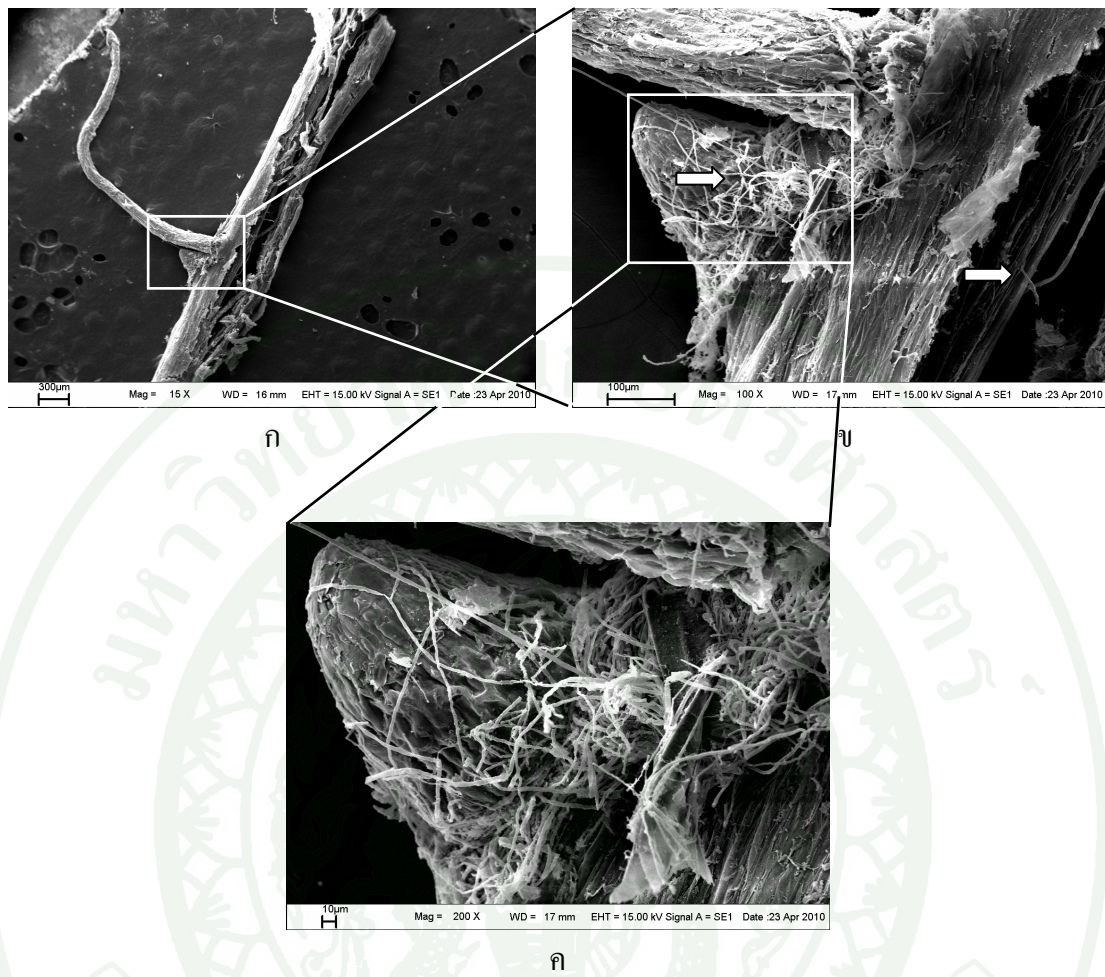
Coombs and Franco (2003) ได้ถ่ายยืน *egfp* สู่ *Streptomyces* ที่เป็นเออนโดไฟต์ในข้าวสาลี แล้วศึกษาการเจริญในต้นอ่อนข้าวสาลีโดยติดตามจากการเรืองแสงสีเขียวของ EGFP พบการเรืองแสงสีเขียวของ *Streptomyces* ในเนื้อเยื่ออ่อนบุริโ'o (plumule) อายุ 1 วัน โดยมีการเจริญของ *Streptomyces* ติดกับบริเวณผนังเซลล์ภายในอ่อนบุริโ'o เมื่อต้นอ่อนอายุ 3 วัน พบว่า มีการเรืองแสงสีเขียวภายในอ่อนบุริโ'o มากขึ้น แสดงให้เห็นว่า มีการเจริญของ *Streptomyces* นอกจากนี้ ยังพบการเจริญลักษณะเป็น microcolony บริเวณรากอ่อนอิเก็ตวัย จากรายงานดังกล่าวแสดงว่า การใช้ EGFP เป็นเครื่องหมายโมเลกุลในการติดตามแอคติโนมัยสีฟ้าในข้าวสาลีได้ อย่างไรก็ตาม โครงสร้างพืชหลายชนิด อาจพนการเรืองแสงสีเขียวด้วยตัวเอง ได้ ซึ่งจะเป็นอุปสรรคในการติดตาม โดยใช้ EGFP ซึ่งอาจแก้ไขได้ โดยการเพิ่มการแสดงออกของยืน *egfp* ในแอคติโนมัยสีฟ้าให้มากขึ้น เช่น การเพิ่มจำนวนชุดของยืน *egfp* ให้มีจำนวนชุดมากขึ้น เป็นต้น หรืออาจใช้โปรตีนเรืองแสงชนิดอื่น เช่น yellow fluorescent protein (EYFP) และ enhanced cyan fluorescent protein (ECFP) เป็นต้น (Stuurman *et al.*, 2000) นอกจากนี้ อาจใช้กล้องจุลทรรศน์อิเล็กตรอนแบบส่อง粒 (Scanning electron microscope; SEM) หรือจุลทรรศน์อิเล็กตรอนแบบส่องผ่าน (Transmission electron microscope; TEM) มาติดตามการเจริญของแอคติโนมัยสีฟ้าในพืชได้ เช่น Minamiyama *et al.* (2003) ติดตามการเข้าอยู่อาศัยของ *S. galbus* ในกุหลาบพันปี โดยใช้ SEM พบว่า สามารถตรวจสอบเส้นใยของ *S. galbus* เข้าอยู่อาศัยในเนื้อเยื่อใบของกุหลาบพันปีผ่านทางปากใบ ได้ และ Suzuki *et al.* (2005) ได้ระบุตำแหน่งการเจริญของ *S. galbus* ในเนื้อเยื่อใบของกุหลาบพันปีโดยใช้ TEM ร่วมกับเทคนิค histochemistry ซึ่งพบเส้นใยของ *S. galbus* อยู่บริเวณช่องระหว่างเซลล์ (intercellular space)

6.3 การตรวจสอบการเจริญของแอคติโนมัยสีฟ้าบริเวณผิวราก

เมื่อนำรากกระถินบรรจงที่มีอายุ 2 เดือนหลังการปลูกเชื้อ *Streptomyces* sp. GMKU 944/egfp ไปตรวจสอบบริเวณผิวรากโดยใช้กล้องจุลทรรศน์อิเล็กตรอนแบบส่อง粒 พบว่า บริเวณผิวรากมีเส้นใยของแอคติโนมัยสีฟ้าเจริญแบบชิดกันเนื้อเยื่อผิวราก โดยเฉพาะอย่างยิ่งบริเวณระหว่างรากแขนงและรากแก้วจะพบเส้นใยของแอคติโนมัยสีฟ้าเป็นจำนวนมาก (ภาพที่ 16) นอกจากนี้ เมื่อตรวจสอบบริเวณภายในเนื้อเยื่อรากที่แตกออกเนื่องจากการเตรียมตัวอย่าง ยังพบเส้น

ไขข้องแอกติโนมัยสีทเจริญภายในเนื้อเยื่อราก (ภาพที่ 16 ข) แสดงให้เห็นว่า *Streptomyces* sp. GMKU 944 มีความสัมพันธ์อย่างใกล้ชิดกับกระถินธรรค์โดยสามารถเจริญได้ดีบริเวณผิวรากพืช และมีเส้นใยบางส่วนสามารถเจริญภายในเนื้อเยื่อพืชได้ โดยแอกติโนมัยสีทอาจได้รับประโยชน์จากพืชโดยได้รับน้ำ และย่อยสลายเนื้อเยื่อพืชที่ตายแล้วเพื่อเป็นแหล่งอาหาร หรือได้รับสารประกอบบางชนิดจากพืชซึ่งเป็นประโยชน์ต่อการเจริญของแอกติโนมัยสีท ในขณะที่ตรวจสอบผิวรากพืชที่ไม่ได้รับการปลูกเชื้อใดๆ พบว่า ไม่มีเส้นไขข้องแอกติโนมัยสีทอาศัยอยู่ และข้อมูลนี้ยังสนับสนุนสมมติฐานที่คาดว่าแอกติโนมัยสีทบนโอดไฟต์ไม่ได้ถ่ายทอดทางเมล็ด แต่น่าจะอยู่อาศัยในดินรอบรากมาก่อนซึ่งเป็นบริเวณที่มีความหลากหลายของแอกติโนมัยสีทสูงแล้วจึงเข้าอยู่อาศัยในรากพืชและเนื้อเยื่อส่วนอื่นๆ ต่อไป (Sardi *et al.*, 1992)

เมื่อตรวจสอบรากพืชที่ได้รับการปลูก *Streptomyces* sp. GMKU 944/egfp ร่วมกับจุลินทรีย์ไฮโซเบี้ยม พบว่า มีการเจริญของเส้นไขข้องแอกติโนมัยสีทบนบริเวณผิวรากเช่นเดียวกัน (ภาพที่ 18) นอกจากนี้ยังพบเส้นไขข้องแอกติโนมัยสีทจำนวนมากเจริญครอบคลุมบริเวณผิวของปมรากกระถินธรรค์อีกด้วย (ภาพที่ 16 ค) ซึ่งสอดคล้องกับการศึกษาของ Tokala *et al.* (2002) เมื่อปลูกเชื้อ *S. lydicus* WYEC108 ซึ่งคัดแยกได้จากดินรอบรากร่วมกับไฮโซเบี้ยมในถัวลันเตา แล้วนำรากและปมรากไปตรวจสอบด้วยกล้องจุลทรรศน์อิเล็กตรอนแบบส่องราก พบว่า มีเส้นไขข้อง *S. lydicus* WYEC108 เจริญอยู่บริเวณผิวรากโดยเฉพาะอย่างยิ่งบริเวณผิวของปมราก แสดงให้เห็นความสัมพันธ์อย่างใกล้ชิดระหว่างแอกติโนมัยสีทบนบริเวณดินรอบรากและพืช นอกจากนี้ยังพบว่า ปมรากที่มีเส้นไขข้อง *S. lydicus* WYEC108 จะมีขนาดใหญ่กว่าและมีกิจกรรมการตรึงไนโตรเจนสูงกว่า พืชที่ไม่ได้ปลูกเชื้อ *S. lydicus* WYEC108 ซึ่งคาดได้ว่า แอกติโนมัยสีทจากดินรอบรากน่าจะมีส่วนช่วยในการเข้าอยู่อาศัยและการเจริญของไฮโซเบี้ยมบริเวณรากพืช อย่างไรก็ตาม ในงานวิจัยนี้ยังไม่พบความแตกต่างของการเจริญของพืชและการสร้างปมรากพืชระหว่างกลุ่มที่ปลูกเชื้อไฮโซเบี้ยมเพียงอย่างเดียว หรือกลุ่มที่ปลูกเชื้อไฮโซเบี้ยมร่วมกับ *Streptomyces* sp. GMKU 944 สำหรับการติดตามการเจริญของเส้นไขข้อง *Streptomyces* sp. GMKU 944/egfp ภายในปมรากนั้น อาจจะต้องใช้กล้องจุลทรรศน์อิเล็กตรอนแบบส่องผ่านเพื่อศึกษาเพิ่มเติมต่อไป

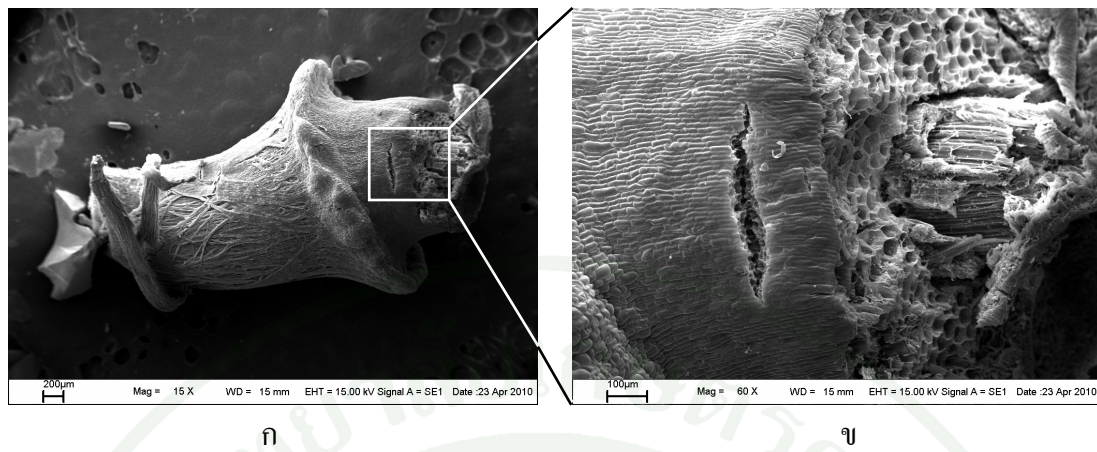


ภาพที่ 16 การตรวจสอบบริเวณผิวราชการะดินฟองค์ที่ได้รับการปลูก *Streptomyces* sp. GMKU

944/egfp โดยกล้องจุลทรรศน์อิเล็กตรอนแบบส่องกราด

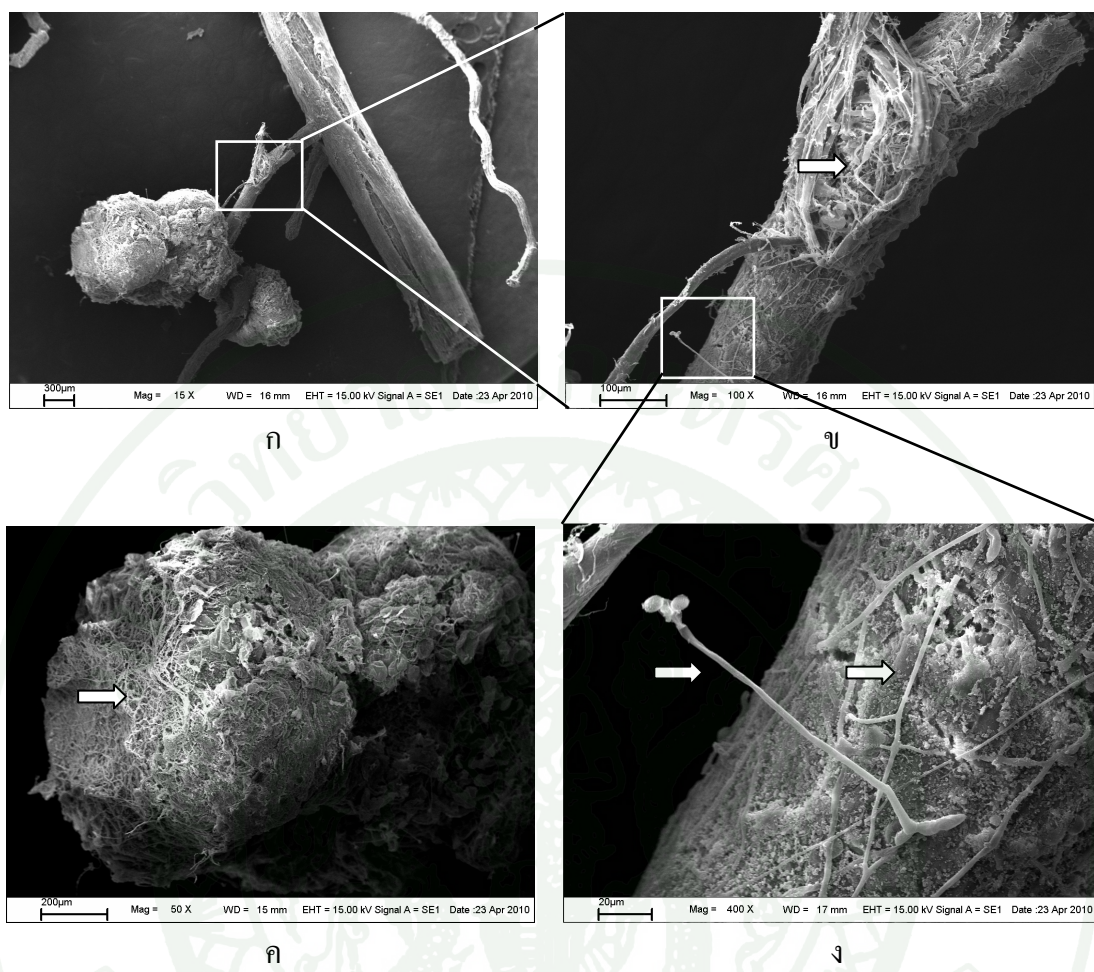
- (ก) กำลังขยาย 15 เท่า
- (ข) กำลังขยาย 100 เท่า
- (ค) กำลังขยาย 200 เท่า

หมายเหตุ ลูกศรชี้ คือ เส้นไขของ *Streptomyces* sp. GMKU 944/egfp



ภาพที่ 17 การตรวจสอบบริเวณผิวปากกระดิณรงค์ที่ไม่ได้รับการปลูกเชื้อโดยกล้องจุลทรรศน์อิเล็กตรอนแบบส่องการดู
 (ก) กำลังขยาย 15 เท่า
 (ข) กำลังขยาย 60 เท่า

กลไกการเข้าอยู่อาศัยของ GMKU 944/*egfp* ในรากของกระดิณรงค์นั้นยังไม่สามารถสรุปได้แน่ชัด อย่างไรก็ตามจากการศึกษาโดยติดตามการเจริญของ GMKU 944/*egfp* โดยใช้ EGFP และกล้องจุลทรรศน์อิเล็กตรอนแบบส่องการดูแสดงให้เห็นว่า GMKU 944/*egfp* มีความสัมพันธ์อย่างใกล้ชิดกับพืชและสามารถเข้าอยู่อาศัยพืชได้ โดยการเข้าอยู่อาศัยเกิดจากการเลือกเข้าอยู่อาศัยบริเวณเนื้อเยื่อพืชที่อ่อนหรือเกิดบาดแผล (Tokala *et al.*, 2002) หรือแอคติโนมัย-สีท่อนโคไฟด์บางสายพันธุ์อาจสามารถล้ำรังเออนไปมายังชนิดที่สามารถย่อยสลายองค์ประกอบของผนังเซลล์พืชแล้วจึงเข้าอยู่อาศัยในเนื้อเยื่อพืชต่อไป เช่น การติดตามการเข้าอยู่อาศัยของ *S. galbus* ในใบของกุหลาบพันปี พบว่า บริเวณผิวใบที่มีการเจริญของเส้นใย *S. galbus* จะมีชั้น wax บางกว่าผิวใบบริเวณอื่นๆ และคงให้เห็นว่า *S. galbus* น่าจะสามารถผลิตเอนไซม์มาย่อยสลายชั้น wax ให้บางลงเพื่อประโยชน์ในการเข้าอยู่อาศัยได้ (Suzuki *et al.*, 2005)



ภาพที่ 18 การตรวจสอบบริเวณปมและผิวภาคกระถินณรงค์ที่ได้รับการปลูก *Streptomyces* sp. GMKU 944/egfp ร่วมกับไโร โซเบียม โดยกล้องจุลทรรศน์อิเล็กตรอนแบบส่องการดู

(ก) รากกำลังขยาย 15 เท่า

(ข) รากกำลังขยาย 100 เท่า

(ค) ปมราก กำลังขยาย 50 เท่า

(ง) รากกำลังขยาย 400 เท่า

หมายเหตุ ลูกศรชี้ คือ เส้นใยของ *Streptomyces* sp. GMKU 944/egfp

สรุปและข้อเสนอแนะ

จากการคัดแยกแอคติโนมัยสีท่อนโคล่าไฟต์จากการกรองกระถินวงร์ บนอาหาร starch casein agar ที่เติมสารปฏิชีวนะ ampicillin, penicillin G, amphotericin B และ cyclohexamide !เพื่อขับยั้งแบคทีเรียชนิดอื่นและรา พบร่วมกับแอคติโนมัยสีท่อนโคล่าไฟต์ 11 สายพันธุ์ เมื่อศึกษาลำดับเบสบริเวณส่วนปลาย 5' ของยีน 16S rRNA เปรียบเทียบกับฐานข้อมูลใน Genbank และสร้าง phylogenetic tree พบร่วม มี 4 สายพันธุ์อยู่ในสกุล *Streptomyces* คือ สายพันธุ์ GMKU 937, GMKU 939, GMKU 940 และ GMKU 944 และอีก 7 สายพันธุ์จัดอยู่ในกลุ่ม rare actinomycete ได้แก่สกุล *Actinoallomurus* 2 สายพันธุ์ คือ สายพันธุ์ GMKU 931 และ GMKU 943 *Amycolatopsis* 1 สายพันธุ์ คือ สายพันธุ์ GMKU 932 *Kribella* 1 สายพันธุ์ คือ สายพันธุ์ GMKU 938 และ *Microbispora* 3 สายพันธุ์ คือ สายพันธุ์ GMKU 936, GMKU 941 และ GMKU 942

เมื่อนำแอคติโนมัยสีท่อนโคล่าไฟต์ 11 สายพันธุ์ มาทดสอบการขับยั้งการเจริญของแบคทีเรีย พบร่วมให้ผลการขับยั้งทั้งหมด 3 สายพันธุ์ คือ สายพันธุ์ GMKU 932 สามารถขับยั้ง *B. cereus* ATCC11778 สายพันธุ์ GMKU 940 สามารถขับยั้ง ได้ทั้งแบคทีเรียแกรมบวกและลบ คือ *B. cereus* ATCC11778, *S. aureus* ATCC25923 และ *E. coli* ATCC8739 สายพันธุ์ GMKU 944 สามารถขับยั้ง *B. cereus* ATCC11778, *S. aureus* ATCC25923 และแบคทีเรียก่อโรคพืช *R. solanacearum* เมื่อทดสอบความสามารถในการขับยั้งรา พบร่วมมิแอคติโนมัยสีท่อนโคล่าไฟต์จำนวน 4 สายพันธุ์ สามารถออกฤทธิ์ขับยั้งราททดสอบได้ คือ สายพันธุ์ GMKU 937, GMKU 938, GMKU 940 และ GMKU 944 โดยสามารถขับยั้ง *A. niger* ได้ นอกจากนี้สายพันธุ์ GMKU 940 ยังสามารถออกฤทธิ์ขับยั้งรา ก่อโรคพืช คือ *F. proliferatum* DOAC 0842 และ *F. moniliforme* ได้อีกด้วย

การศึกษาการถ่ายพลาสมิดโดยวิธีคอนจูเกชันต่างสกุล โดยใช้สีน้ำเงินของ *Streptomyces* sp. GMKU 937 และ GMKU 944 เป็นผู้รับ พบร่วม *Streptomyces* sp. GMKU 937 ไม่สามารถส่งถ่ายพลาสมิดด้วยวิธีดังกล่าวได้ ส่วน *Streptomyces* sp. GMKU 944 ให้ประสิทธิภาพในการเกิดคอนจูเกชันสูงสุดเมื่อใช้สีน้ำเงินอายุ 24 ชั่วโมง โดยมีค่า 10^{-3} เอกซ์คอนจูเกนต์ต่อผู้รับ เมื่อเปรียบเทียบชนิดของอาหารพบว่า ไม่มีผลต่อประสิทธิภาพการเกิดคอนจูเกชัน เมื่อถ่ายยีน *egfp* สำหรับ *Streptomyces* sp. GMKU 944 โดยวิธีคอนจูเกชันต่างสกุลบนอาหาร MS ที่เติม $MgCl_2$ 10 มิลลิโมลาร์ โดยใช้สีน้ำเงินอายุ 24 ชั่วโมง พบร่วม *Streptomyces* sp. GMKU 944 สามารถถ่ายยีนได้สำเร็จ และมีการแสดงออกของ EGFP

เมื่อปลูกเชื้อตัวใหม่สีฟ้าเงิน โดยไฟฟ้าสายพันธุ์ GMKU 937 และสายพันธุ์คล้ายของ GMKU 944 ที่ได้รับการถ่ายทอด *egfp* สู่ต้นอ่อนกระถินแปรร่วมกับไวโตรไซเบี้ยน พบว่า เมื่อพืชมีอายุสองเดือน สามารถตรวจพบการสร้างปมที่รากได้ แต่กระถินแปรร่วมกับปลูกเชื้อตัวใหม่สีฟ้าเพียงชนิดเดียว พบว่า ไม่สามารถกระตุ้นการสร้างปมในรากพืชได้ และพบว่าการปลูกเชื้อตัวใหม่สีฟ้าไม่มีผลต่อการเจริญของต้นอ่อนกระถินแปรร่วม เมื่อนำรากดังกล่าวมาคัดแยกแล้วตัวใหม่สีฟ้า GMKU 937 เป็นเงินโดยไฟฟ้าที่แท้จริง แต่ไม่สามารถคัดแยก *Streptomyces* sp. GMKU 944 กลับมาได้ อย่างไรก็ตาม เมื่อนำรากพืชที่ได้รับการปลูกเชื้อสายพันธุ์คล้ายของ *Streptomyces* sp. GMKU 944 ไปตัดตามขวางแล้วตรวจดูการเรืองแสงสีเขียวของ EGFP ด้วยกล้อง confocal laser scanning microscope พบว่า มีกลุ่มเรืองแสงสีเขียวในเนื้อเยื่อพืช โดยเฉพาะอย่างยิ่ง บริเวณท่ออาหาร (phloem) และท่อน้ำ (xylem parenchyma) ซึ่งกลุ่มเรืองแสงดังกล่าว คือ *Streptomyces* sp. GMKU 944/*egfp* ที่อาศัยในโครงสร้างพืช เมื่อนำรากพืชดังกล่าวไปตรวจสอบโดยใช้กล้องจุลทรรศน์อิเล็กตรอนแบบส่อง粒ภาพพบว่า บริเวณผิวราชมีการเจริญของเส้นใยของ *Streptomyces* sp. GMKU 944/*egfp* จำนวนมาก นอกจากนี้ เมื่อตรวจสอบกระถินแปรที่ได้รับการปลูกเชื้อ *Streptomyces* sp. GMKU 944/*egfp* ร่วมกับไวโตรไซเบี้ยนด้วยกล้องจุลทรรศน์อิเล็กตรอนแบบส่อง粒ภาพก็พบเส้นใยของ *Streptomyces* sp. GMKU 944/*egfp* เจริญบริเวณผิวราชและผิวของปมราชจำนวนมาก และคงให้เห็นว่า *Streptomyces* sp. GMKU 944 น่าจะเป็นเงินโดยไฟฟ้าที่แท้จริงและมีความสัมพันธ์อย่างใกล้ชิดกับกระถินแปรร่วมกับไวโตรไซเบี้ยน

เอกสารและสิ่งอ้างอิง

- ทองพูล วรรณโพธิ์. 2545. ໄຟປ້າເຄຣມຮູກຈົ. ນາຄາອິນເຕອຮົມມືເດີຍ, ກຽງເທພາ.
- ຮັບນີ້ ມິ່ນມາ. 2552. ແອດຕິໂນມයສື່ຖາກຮາກແລະດິນຮອບຮາກພື້ທະກຸລຄົ້ວແລະກາຍັນຍັ້ງຈຸລິນທີ່ກ່ອ
ໂຮກພື້໌. ວິທານິພນີ້ປະລຸງໝາໄທ, ມາວິທາລັບເກຍດຽກຄາສຕ່ວ. ກຽງເທພາ.

Adams, P.D. and J.W. Kloepper, 2002. Effect of host genotype on indigenous bacterial endophytes of cotton (*Gossypium hirsutum L.*). **Plant Soil.** 240: 181-189.

Alexander, M. 1977. **Introduction to Soil Microbiology.** 2nd ed. John Wiley and Sons Inc., New York.

Araújo, W.L., W. Maccheroni, Jr, C.I. Aguilar-Vildoso, P.A.V. Barroso, H.O. Saridakis and J.L. Azevedo. 2001. Variability and interactions between endophytic bacteria and fungi isolated from leaf tissues of citrus rootstocks. **Can. J. Microbiol.** 47: 229-236.

Azevedo, J.L., W. Maccheroni Jr., J.O. Pereira and W.L. Araujo. 2000. Endophytic microorganisms: a review on insect control and recent advances on tropical plants. **Electron. J. Biotechnol.** 3: 40-62.

Baltz, R. H. 1998. Genetic manipulation of antibiotic-producing *Streptomyces*. **Trends Microbiol.** 6: 76-83.

Bascom-Slack, C. A., C. Ma, E. Moore, B. Babbs, K. Fenn, J. S. Greene, B. D. Hann, J. Keehner, E. G. Kelley-Swift, V. Kembaiyan, S. J. Lee, P. Li, D. Y. Light, E. H. Lin, M. A. Schorn, D. Vekhter, L. Boulanger, W. M. Hess, P. N. Vargas, G. A. Strobel and S. A. Strobel. 2009. Multiple, novel biologically active endophytic actinomycetes isolated from upper Amazonian rainforests. **Microb. Ecol.** 58: 374-383.

Bierman, M., R. Logan, K.O' Brien, E. T. Seno., R. Nagaraja Rao. and B.E. Schoner. 1992.

Plasmid cloning vectors for the conjugal transfer of DNA from *Escherichia coli* to *Streptomyces* spp. **Gene** 116: 43–49.

Bogs, J., K. Richter, W. S. Kim, S. Jock and K. Geider. 2004. Alternative methods to describe virulence of *Erwinia amylovora* and host-plant resistance against fireblight. **Plant Pathology**. 53:80-89.

Broughton, W.J. and M.J. Dillworth. 1971. Control of leghaemoglobin synthesis in snake beans. **Bioch J.** 125: 1075-1080.

Cao, L., Z. Qiu, J. You, H. Tan and S. Zhou. 2004a. Isolation and characterization of endophytic *Streptomyces* strains from surface-sterilized tomato (*Lycopersicon esculentum*) roots. **Lett. Appl. Microbial.** 39: 425-430.

Cao, L., Z. Qiu, X. Dai, H. Tan, Y. Lin and S. Zhou. 2004b. Isolation of endophytic actinomycetes from roots and leaves of banana (*Musa acuminata*) plants and their activities against *Fusarium oxysporum* f. sp. *cubense*. **World J. Microbiol. Biotechnol.** 20: 501-504.

Castillo, U.F., G.A. Strobel, E.J. Ford, W.M. Hess, H. Porter, J.B. Jensen, H. Albert, R. Robison, M.A. Condron, D.B. Teplow, D. Stevens, and D. Yaver. 2002. Munumbicins, wide-spectrum antibiotics produced by *Streptomyces* NRRL 30562, endophytic on *Kennedia nigriscans*. **Microbiology** 148: 2675-2685.

Chalfie, M., Y. Tu, G. Euskirchen, W.W. Ward and D.C. Prashar. 1994. GFP as a marker for gene expression. **Science** 263: 802-805.

Chun, J., J.-H. Lee, Y. Jung, M. Kim, S. Kim, B.K. Kim and Y.W. Lim. 2007. EzTaxon: a web-based tool for the identification of prokaryotes based on 16S ribosomal RNA gene sequences. **Int. J. Syst. Evol. Microbiol.** 57: 2259-2261.

Chung, C.T., S.L. Niemela and R.H. Miller. 1989. One-step preparation of competent *Escherichia coli*: transformation and storage of bacterial cells in the same solution. **Proc. Nat. Acad. Sci. USA** 86: 2172-2175.

Collins, C. H., P. M. Lyne and J. M. Grange. 1989. **Collins and Lyne's Microbiological Methods**. Butterworth & Co (Publishers) Ltd, Oxford.

Conn, V.M. and C.M.M. Franco. 2004. Effect of microbial inoculants on the indigenous actinobacterial endophyte population in the roots of wheat as determined by terminal restriction fragment length polymorphism. **Appl. Environ. Microbiol.** 70: 6407-6413.

Coombs, J. T. and C. M. M. Franco. 2003a. Isolation and identification of actinobacteria from surface-sterilized wheat roots. **Appl. Environ. Microbiol.** 69: 5603-5608.

_____ and _____. 2003b. Visualization of an endophytic *Streptomyces* species in wheat seed. **Appl. Environ. Microbiol.** 69: 4260-4262.

_____, P. P. Michelsen and C. M. M. Franco. 2004. Evaluation of endophytic actinobacteria as antagonists of *Gaeumannomyces graminis* var. *tritici* in wheat. **Biol. Control.** 29: 359-366.

Cormack, B.P., R.H Valdiva,, and S. Falkow. 1996. FACS optimized mutants of the green fluorescent protein (GFP). **Gene**. 173: 33-38.

Crawford, D. L., Lynch, J. M., Whipps, J. M., and M. A Ousley. 1993. Isolation and characterization of actinomycete antagonists of a fungal root pathogen. **Appl. Environ. Microbiol.** 59: 3899-3905.

Diouf, D., R. Duponnois, A.T. Ba, M. Neyra and D. Lesueur. 2005. Symbiosis of *Acacia auriculiformis* and *Acacia mangium* with mycorrhizal fungi and *Bradyrhizobium* spp. improves salt tolerance in greenhouse conditions. **Funct. Plant Biol.** 32: 1143-1152.

Dorofeeva, L. V., V. I. Krausova, L. I. Evtushenko and J. M. Tiedje. 2003. *Agromyces albus* sp. nov., isolated from a plant (*Androsace* sp.). **Int. J. Syst. Evol. Microbiol.** 53: 1435-1438.

Duangmal K., A. Thamchaipenet, I. Ara, A. Matsumoto and Y. Takahashi. 2008. *Kineococcus gynurae* sp. nov., isolated from a Thai medicinal plant. **Int. J. Syst. Evol. Microbiol.** 58: 2439-2442.

Duangmal, K., A. Thamchaipenet, A. Matsumoto and Y. Takahashi. 2009. *Pseudonocardia acaciae* sp. nov., isolated from *Acacia auriculiformis* A. Cunn. ex Benth. **Int. J. Syst. Evol. Microbiol.** 59: 1487-1491.

Duponnois, R. and A.M. Ba. 1999. Growth stimulation of *Acacia mangium* Willd by *Pisolithus* sp. in some Senegalese soils. **For. Ecol. Manage.** 199: 209-215. ed. Cold Spring Harbor Laboratory Press, New York.

_____, H. Founoune, D. Lesueur, J. Thioulouse and M. Neyra. 2000. Ectomycorrhization of six *Acacia auriculiformis* provenances from Australia, Papua New Guinea and Senegal in Glasshouse conditions: effect on the plant growth and on the multiplication of plant parasitic nematodes. **Aust. J. Eep. Agr.** 40: 443-450.

Duponnois, R. and C. Plenchette. 2003. A mycorrhiza helper bacterium enhances ectomycorrhizal and endomycorrhizal symbiosis of Australian *Acacia* species. **Mycorrhiza.** 13: 85-91.

Ezra D., U. F. Castillo, G. A. Strobel, W. M. Hess, H. Porter, J. B. Jensen, M. A. M. Condron, D. B. Teplow, J. Sears, M. Maranta, M. Hunter, B. Weber and D. Yaver. 2004. Coronamycins, peptide antibiotics produced by a verticillate *Streptomyces* sp. (MSU-2110) endophytic on *Monstera* sp. **Microbiology** 150: 785-793.

- Flett, F., V. Mersinias and C. P. Smith. 1997. Height efficiency intergeneric conjugal transfer of plasmid DNA from *Escherichia coli* to methyl DNA-restricting streptomycetes. **FEMS Microbiol. Lett.** 155: 223-229.
- Fouces, R., M. Rodriguez, E. Mellado, B. Diez and, J.L. Barredo. 2000. Conjugation and transformation of *Streptomyces* species by tylosin resistance. **FEMS Microbiol. Lett.** 186: 319-325.
- Gage, D.J., T. Bobo and S.R. Long. 1996. Use of green fluorescent protein to visualize the early events of symbiosis between *Rhizobium meliloti* and Alfalfa (*Medicago sativa*). **J. Bacteriol.** 178: 7159-7166.
- Goodfellow, M. and T. Cross. 1984. Classification. In The biology of the Actinomycetes ed. Goodfellow, M., Mordarski, M. and Williams, S.T. Academic Press, London.
- _____, S.T. Williams and M. Mordarski. 1988. **Actinomycetes in Biotechnology**. Academic Press, London.
- Grall, S. and C. Manceau. 2003. Colonization of *Vitis vinifera* by a green fluorescence protein-labeled, *gfp*-marked strain of *Xylophilus ampelinus*, the causal agent of bacterial necrosis of grapevine. **Appl. Environ. Microbiol.** 69: 1904-1912.
- Gu, Q., H. Luo, W. Zheng, Z. Liu. and Y. Huang. 2006. *Pseudonocardia oroxyli* sp. nov., a novel actinomycetes isolated from surface-sterilized *Oroxylum indicum* root. **Int. J. Syst. Evol. Microbiol.** 56: 2193-2197.
- Haas, J., E. Park and B. Seed. 1996. Codon usage limitation in the expression of HIV-1 envelope glycoprotein. **Curr. Biol.** 6: 315-324.
- Hallmann, J., A. Quadt-Hallmann, W.G. Miller, R.A. Sikora, and S.E. Lindow. 2001. Endophytic Colonization of plants by the biocontrol agent *Rhizobium etli* G12 in relation to *Meloidogyne incognita* infection. **Phytopathology**. 91: 415-422.

- Hasegawa, S., A. Meguro, M. Shimizu, T. Nishimura and H. Kunoh. 2006. Endophytic actinomycetes and their interaction with host plants. **Actinomycetologica** 20: 72-81.
- Hasegawa, T., M. P. Lechevalier and H. A. Lechevalier. 1978. A new genus of the *Actinomycetales*, *Actinosynnema* gen. nov. **Int. J. Syst. Bacteriol.** 28: 304-310.
- Heinzelmann, E., S. Berger, O. Puk, B. Reichenstein, W. Wohlleben and D. Schwartz. 2001. A glutamate mutase is involved in the biosynthesis of the lipopeptide antibiotic friulimicin in *Actinoplanes friuliensis*. **Antimicrob. Agents Chemother.** 47: 447-457.
- Igarashi, Y., T. Iwashita, T. Fujita, H. Naoki, T. Yamakawa, R. Yoshida and T. Furumai. 2002. Clethramycin, a new inhibitor of pollen tube growth with antifungal activity from *Streptomyces hygroscopicus* TP-A0623. II. Physico-chemical properties and structure determination. **J. Antibiot.** 56: 705-706.
- _____. 2004. Screening of novel bioactive compounds from plant-associated actinomycetes. **Actinomycetologica** 18: 63-66.
- Indananda, C., A. Matsumoto, Y. Inahashi, Y. Takahashi, K. Duangmal and A. Thamchaipenet. 2009a. *Actinophytocola oryzae* gen. nov., sp. nov., a new member of the family *Pseudonocardiaceae* isolated from roots of Thai glutinous rice plants. **Int. J. Syst. Evol. Microbiol.** 60: 1141 - 1146.
- Indananda, C., K. Duangmal, S. Peyachokanagul and A. Thamchaipenet. 2009b. Endophytic actinomycetes isolated from Thai medicinal plants as producer of antimicrobial and plant growth promoting agents. Proceeding of 35th Congress on Science and Technology of Thailand.

- Indananda, C., A. Thamchaipenet, A. Matsumoto, K. Duangmal and Y. Takahashi. 2010. *Actinoallomurus oryzae* sp. nov., an endophytic actinomycete isolated from root of Thai jasmine rice plant. **Int. J. Syst. Evol. Microbiol.** (in press) doi: 10.1099/ijss.0.022509-0.
- Iwai, Y. and S. Omura. 1982. Culture conditions for screening of new antibiotics. **J. Antibiot.** 35: 123-141.
- Kataoka, M., K. Ueda, T. Kudo, T. Seki and T. Yoshida. 1997. Application of the variable region in 16S rDNA to create an index for rapid species identification in genus *Streptomyces*. **FEMS Microbiol. Lett.** 151: 249-255.
- Kieser, T., M. J. Bibb, M. J. Buttner, K. F. Chater and D. A. Hopwood. 2000. **Practical Streptomyces Genetics**. The John Innes Foundation, Norwich.
- Kitani, S., M.J. Bibb, T. Nihira and Y. Yamada. 2000. Conjugal transfer of plasmid DNA from *Escherichia coli* to *Streptomyces lavendulae* FRI-5. **J. Microbiol. Biotechnol.** 10: 535-538.
- Kumar, S., Tamura, K., Nei, M. 2004. MEGA3: integrated software for molecular evolutionary genetics analysis and sequence alignment. **Brief Bioinform.** 5: 150-163
- Küster, E. and S.T. Williams. 1964. Selection of media for isolation of streptomycetes. **Nature** 202: 928-929.
- Lagopodi, A. L., A. F. J. Ram, G. E. M. Lamers, P. J. Punt, C. A. M. J. J. Van den Hondel, B. J. J. Lugtenberg and G.V. Bloemberg. 2002. Novel aspects of tomato root colonization and infection by *Fusarium oxysporum* f. sp. *radicis-lycopersici* revealed by confocal laser scanning microscopic analysis using the green fluorescent protein as a marker. **Mol. Plant Microbe Interact.** 15: 172-179.

Lechevalier, H.A. and M.P. Lechevalier, 1970. **The Actinomycetales**. Gustav Fischer Publication, Jena.

Leskiw, B., M.J. Bibb and K.F. Chater. 1991. The use of a rare codon specifically during development. **Mol. Microbiol.** 5: 2861-2867.

Lewin, B. 2000. **Gene VII**. Oxford University Press, Inc., New York.

Liu, X., H. Zhao and S. Chen. 2006. Colonization of maize and rice plants by strain *Bacillus megaterium* C4. **Curr.Microbiol.** 52: 186-190.

Masakazu, E., T. Seki, K. Ueda, T. Kudo and T. Yoshida. 1997. Application of the variable region in 16S rDNA to create an index for rapid species identification in genus *Streptomyces*. **FEM Microbiol. Lett.** 151: 249-255.

Matsushima, P., M. C. Broughton, J. R. Turner and R. H. Baltz. 1994. Conjugal transfer of cosmid DNA from *Escherichia coli* to *Saccharopolyspora spinosa*: effects of chromosomal insertions on macrolide A83543 production. **Gene** 146, 39-45.

Mazodier, P., R. Petter and C. Thompson. 1989. Intergeneric conjugation between *Escherichia coli* and *Streptomyces* species. **J. Bacteriol.** 171: 3583-3585.

Meguro, A., Y. Ohmura, S. Hasegawa, M. Shimizu, T. Nishimura and H. Kunoh. 2006. An endophytic actinomycete, *Streptomyces* sp. MBR-52, that accelerates emergence and elongation of plant adventitious roots. **Actinomycetologica** 20: 1-9.

Minamiyama, H., M. Shizumi, T. Furamai, Y. Igarashi, H. Onaka, R. Yoshida and H. Kunoh. 2003. Multiplication of isolate R-5 *Streptomyces galbus* on rhododendron leaves and its production of cell wall degrading enzymes. **J. Gen. Plant Pathol.** 69: 65-70.

Nimnoi, P., N. Pongsilp and S. Lumyong. 2009. Endophytic actinomycetes isolated from *Aquilaria crassna* Pierre ex Lec and screening of plant growth promoters production. **World J. Microbiol. Biotechnol.** 26: 193-203.

Okazaki, T. 2006. Intrigued by actinomycete diversity. **Actinomycetologica**. 20: 15-22.

Pernodet, L.L., F. Boccard, M.T. Alegre, J. Gagnat and M. Guerineau. 1989. Organization and nucleotide sequences analysis of a ribosomal RNA gene cluster from *S. ambofaciens*. **Gene** 79: 33-46.

Phornphisutthimas, S., N. Sudtachat, C. Bunyoo, P. Chotewutmontri, B. Panijpan and A. Thamchaipenet. 2010. Development of an intergeneric conjugal transfer system for rimocidin-producing *Streptomyces rimosus*. **Lett. Appl. Microbiol.** 50: 530–536.

Pullen,C., P. Schmitz, K. Meurer, D.D.V. Bamberg, S. Lohmann, S.D.C. Franca, I. Groth, B. Schlegel, U. Mollmann, F. Gollmick, U. Grafe and E. Leistner. 2002. New and bioactive compounds from *Streptomyces* strains residing in the wood of Celastraceae. **Planta** 216: 162-167.

Saitou, N. and M. Nei. 1987. The neighbor-joining method: A new method for reconstructing phylogenetic trees. **Mol. Biol. Evol.** 4: 406-425.

Sambrook, J. and D.W. Russell. 2001. **Molecular Cloning: a Laboratory Manual**. 3nd ed. Cold Spring Harbor Laboratory Press, New York.

Sardi, P., M. Saracchi, S. Quaroni, B. Petrolini, E. Borgonovi and S. Merli. 1992. Isolation of endophytic *Streptomyces* strains from surface-sterilized roots. **Appl. Environ. Microbiol.** 58: 2691-2693.

Seghers, D., L. Wittebolle, E. M. Top and W. Verstraete. 2004. Impact of agricultural practices on *Zea mays* L. endophytic community. **Appl. Environ. Microbiol.** 70: 1475-1482.

Sessitsch, A., G. Hardarson, W.M. de Vos and K.J. Wilson. 1998. Use of marker genes in competition studies *Rhizobium*. **Plant Soil.** 204: 35-45.

Sharma, P. K., S. Sarita and J. Prell. 2005. Isolation and characterization of an endophytic bacterium related to *Rhizobium/Agrobacterium* from wheat (*Triticum aestivum L.*) roots. **Curr. Sci.** 89: 608-610.

Shirling, E.B. and D. Gottlieb. 1966. Method for characterization of *Streptomyces* species. **Int. J. Syst. Bacteriol.** 16: 313-340.

Sia, L.A., D.M. Kuehner and D.H. Figurski. 1996. Mechanism of retrotransfer in conjugation: prior transfer of conjugative plasmid is required. **J. Bacteriol.** 178: 1457-1464.

Smith, G. E. 1957. Inhibition of *Fusarium oxysporum* f. *lycopersici* by a species of *Micromonospora* isolated from tomato. **Phytopathology** 47: 429-432.

Somasegaran, P. and H.J. Hoben. 1994. **Method in legume rhizobium technology**. Springer-Verlag, New york.

Song, J., B-Y. Kim, S-B. Hong, H-S. Cho, K. Sohn, J. Chun and J-W. Suh. 2004. *Kribbella solani* sp. nov. and *Kribbella jejuensis* sp. nov., isolated from potato tuber and soil in Jeju, Korea. **Int. j. Syst. Evol. Microbiol.** 54: 1345-1348.

Stackebrandt., E., D. Witt, C. Kemmerling, R. Kroppenstedt and W. Liesack. 1991. Designation of Streptomycete 16S and 23S rRNA-based target regions for oligonucleotide probes. **Appl. Environ. Microbiol.** 57: 1468-1477.

_____ and F. Rainey. 1997. Proposal for new hierachic classification system, actinobacteria classis nov. **Int. J. Syst. Bacteriol.** 47: 479-491.

- Stegmann, E., S. Pelzer, K. Wilken and W. Wohlleben. 2001. Development of three different gene cloning systems for genetic investigation of the new species *Amycolatopsis japonicum* MG417-CF17, the ethylenediaminedisuccinic acid producer. **J. Biotechnol.** 92: 195-204.
- Stinchi, S., S. Azimonti, S. Donadio, and M. Sosio. 2003. A gene transfer system for the glycopeptide producer *Nonomuraea* sp. ATCC39727. **FEMS Microbiol. Lett.** 225: 53-57.
- Strobel, G. A. 2003. Endophytes as sources of bioactive products. **Microbes Infect.** 5: 535-544.
- Stuurman, N., C. P. Bras, H. R. M. Schlaman and A. H. M. Wijfjes. 2000. Use of green fluorescent protein variants expressed on stable broad host range vectors to visualize rhizobia interacting with plants. **Mol. Plant-Microbe interact.** 13: 1163-1169
- Sun, J., G.H. Kelemen, J.M. Fernandez-Abalos and M.J. Bibb. 1999. Green fluorescent protein as a reporter for spatial and temporal gene expression in *Streptomyces coelicolor* A3(2). **Microbiology** 145: 2221-2227.
- Suzuki, T. M. Shimizu, A. Meguro, S. Hasegawa, T. Nishimura and H. Kunoh. 2005. Visualization of infection of an endophytic actinomycete *Streptomyces galbus* in leaves of tissuecultured rhododendron. **Actinomycetologica** 19: 7-12.
- Taechowisan, T. and S. Lumyong. 2003. Activity of endophytic actinomycetes from roots of *Zingiber officinale* and *Alpinia galanga* against phytopathogenic fungi. **Ann. Microbiol.** 53: 291-298.
- _____, J. F. Peberdy and S. Lumyong. 2003. Isolation of endophytic actinomycetes from selected plants and their antifungal activity. **World J. Microbiol. Biotechnol.** 19: 381-385.

Takahashi, Y. and S. Omura. 2003. Isolation of new actinomycete strains for the screening of new bioactive compound. **J. Gen. Appl. Microbiol.** 49: 145-154.

Tan, H.M., L. X. Cao, Z. F. He, G. J. Su, B. Lin and S. N. Zhou. 2006. Isolation of endophytic actinomycetes from different cultivars of tomato and their activities against *Ralstonia solanacearum* *in vitro*. **World J. Microbiol. Biotechnol.** 22: 1275-1280.

Thamchaipenet, A., C. Indananda, C. Bunyoo, K. Duangmal, A. Matsumoto and Y. Takahashi. 2010. *Actinoallomurus acaciae* sp. nov., a novel endophytic actinomycete isolated from *Acacia auriculiformis* A. Cunn. ex Benth. **Int. J. Syst. Evol. Microbiol.** 60: 554-559.

Thompson, J.D., Higgins, D.G. and Gibson, T.J. 1994. CLUSTALW: improving the sensitivity of progressive multiple sequence alignment through sequence weighting, position-specific gap penalties and weight matrix choice. **Nucleic Acids Res.** 22: 4673-4680.

Tian, X. L., L. X. Cao, H. M. Tan, Q. G. Zeng, Y. Y. Jia, W. Q. Han and S. N. Zhou. 2004. Study on the communities of endophytic fungi and endophytic actinomycetes from rice and their antipathogenic activities *in vitro*. **World J. Microbiol. Biotechnol.** 20: 303-309.

Tokala, R. K., J. L. Strap, C. M. Jung, D. L. Crawford, M. H. Salove, L. A. Deobald, J. F. Bailey and M. J. Morra. 2002. Novel plant-microbe rhizosphere interaction involving *Streptomyces lydicus* WYEC108 and the pea plant (*Pisum sativum*). **Appl. Environ. Microbiol.** 68: 2161-2171.

Trieu-Cuot, P., C. Carlier, P. Martin and P. Courvalin. 1987. Plasmid transfer by conjugation from *Escherichia coli* to Gram positive bacteria. **FEMS Microbiol. Lett.** 48: 289-294.

Trujillo, M. E., R. M. Kroppenstedt, C. Fernández-Molinero, P. Schumann and E. Martínez-Molina. 2007. *Micromonospora lupini* sp. nov. and *Micromonospora saelicesensis* sp. nov., isolated from root nodules of *Lupinus angustifolius*. **Int. J. Syst. Evol. Microbiol.** 57: 2799-2804.

- Tsien, R.Y. 1998. The green fluorescent protein. **Annu. Rev. Genet.** 67 :509-544.
- Verma, S.C., A. Singh, S.P. Chowdhury and A.K. Tripathi. 2004. Endophytic colonization ability of two deep water rice endophytes, *Pantoea sp.* and *Ochrobactrum sp.* using green fluorescent protein reporter. **Biotechnol. Lett.** 26: 425-429.
- Vobis, G. 1997. Morphology of actinomycetes, pp. 180-191. **Atlas of Actinomycetes.** Asakura Publishing, Japan.
- Williams, S.T., M.E. Sharpe and J.G. Holt, J. G. 1989. **Bergey's Manual of Systematic Bacteriology.** Vol. 4. Williams & Wilkins, Baltimore, USA.
- Zinniel, D.K., P. Lambrecht, N.B. Harris, Z. Feng, D. KuczmarSKI, P. Higley, C.A. Ishimaru, A. Arunakumari, R.G. Barletta and A.K. Vidaver. 2002. Isolation and characterization of endophytic bacteria from wild and cultivated soybean varieties. **Appl. Environ. Microbiol.** 68: 2198-2208.



สิงห์สีห์ มหาวิทยาลัยเกษตรศาสตร์

ลำดับเบสของยีน 16S rRNA ของแบคทีโรมัยสีท

GMKU 931 complete sequence 1362 bp

```

1 GCAAGTCGAG CGGAAAGGCC CTTGGGGTA CTCGAGCGC GAACGGGTGA
51 GTAACACGTG AGTAACCTGC CCTTGGCTCT GGGATAAGCC CGGGAAACTG
101 GGTCTAATAC CGGATATGAC CACTGGACGC ATGTTCTTGG TGGTGGAAAG
151 TTTTTCGGCT GGGGATGGAC TCGCGGTCTA TCAGCTGTGTT GGTGGGGTGA
201 TGGCCTACCA AGGCGACGAC GGATAGCCGG CCTGAGAGGG TGACCGGCCA
251 CACTGGGACT GAGACACGGC CCAGACTCCT ACAGGGAGGCA GCAGTGGGA
301 ATATTGCGCA ATGGGGCGGAA GCCTGACGCA GCGACGCCGC GTGGGGGATG
351 AAGGCCTTCG GGTTGTAAAC CTCTTCACC ACCGACGAAG CTAACGTGAC
401 GGTAGGTGGG GAAGAACGCC CGGCTAACTA CGTGCCAGCA GCCGCGGTAA
451 TACGTAGGGC GCAAGCGTTG TCCGGAATTA TTGGGCGTAA AGAGCTCGTA
501 GGTGGTTTGT CGCGTCTGCC GTGAAAACCC GAGGCTTAAC CTCGGGCTGG
551 CGGTGGATAC GGGCAGACTA GAGGTAGGTA GGGGAGAACG GAATTCCCAG
601 TGTAGCGGTG AAATGCGCAG ATATCGGGAG GAACACCGGT GGCGAAGGCG
651 GTTCTCTGGG CCTTACCTGA CGCTGAGGAG CGAAAGCGTG GGGAGCGAAC
701 AGGATTAGAT ACCCTGGTAG TCCACGCCGT AAACGTTGGG CGCTAGGTGT
751 GGGGTCTTTC CACGGACTCC GTGCCGGAGC TAACGCATTA AGCGCCCCGC
801 CTGGGGGAGT ACGGCCGCAA GGCTAAAAC CAAAGGAATT GACGGGGGCC
851 CGCACAAAGCG GCGGAGCATG TTGCTTAATT CGACGCAACG CGAAGAACCT
901 TACCAAGGTT TGACATCACC GGAAAACCTCG CAGAGATGCG GGGTCCTTT
951 GGGCCGGTGA CAGGTGGTGC ATGGCTGTGC TCAGCTCGTG TCGTGAGATG
1001 TTGGGTTAAG TCCCGCAACG AGCGCAACCC TCGTTCCATG TTGCCAGCAC
1051 GTAGTGGTGG GGACTCATGG GAGACTGCCG GGGTCAACTC GGAGGAAGGT
1101 GGGGATGACG TCAAGTCATC ATGCCCTTA TGTCTTGGC TGCAAACATG
1151 CTACAATGGC CGGTACAAGA GGCTGCGAAA CCGTGAGGT AAGCGAATCC
1201 CGGAAAGCCG GTCTCAGTTC GGATTGGGTT CTGCAACTCG ACCCCATGAA
1251 GTCGGAGTCG CTAGTAATCG CAAATCAGCA ACGCTGCGGT GAATACGTT
1301 CCGGGCCTTG TACACACCAGC CCGTCACGTC ACGAAAGTCG GCAACACCCG
1351 AAGCCGGTGG CC

```

GMKU 932 complete sequence 1368 bp

```

1 GTGCTTAACA CATGCAAGGT CGAACGCTGA ACCGCCCTCG GGCTGGGGAT
51 GAGTGGCGAA CGGGTGAGTA ACACGTGGGT AATCTGCCCT GCACTCTGGG
101 ATAAGCCTTG GAAACGAGGT CTAATACCGG ATATCACCTT TCTAGGCATC
151 TAGATTGGTT GAAAGTTCTG GCGGTGCAGG ATGAACCCGC GGCCTATCAG
201 CTTGTTGGTG GGGTAGTGGC CTACCAAGGC GACGACGGGT AGCCGGCCTG
251 AGAGGGTGC CGGCCACACT GGGACTGAGA CACGGCCCAG ACTCCTACGG
301 GAGGCAGCAG TGGGAATAT TGCACAATGG GCGCAAGCCT GATGCAGCGA
351 CGCCGCGTGA GGGATGACGG CCTCAGGGTT GTAAACCTCT TTCGCCAGGG
401 ACGAAGCGCA AGTGACGGTA CCTGGATAAG AAGCACCGGC TAACTACGTG
451 CCAGCAGCCG CGGTAAATACG TAGGGTGCAGA GCGTTGTCCG GATTTATTGG
501 GCGTAAAGAG CTCGTAGGCG GTTGTGCGC TCGGCCGTGA AATCTCCACG
551 CTTAACGTGG AGCGTGCAGG CGATACGGGC AGACTTGAGT TCGGTAGGGG
601 AGACTGGAAT TCCTGGTGTA GCGGTGAAAT GCGCAGATAT CAGGAGGAAC
651 ACCGGTGGCG AAGGGGGTC TCTGGGCCGA TACTGACGCT GAGGAGCGAA
701 AGCGTGGGGA GCGAACAGGA TTAGATACCC TGGTAGTCCA CGCTGTAAAC
751 GTTGGGCGCT AGGTGTGGC GACATCCACG TTGTCCGTGC CGTAGCTAAC
801 GCATTAAGCG CCCCGCCTGG GGAGTACGGC CGCAAGGCTA AACTCAAAG
851 GAATTGACGG GGGCCCGCAC AAGCGGCGGA GCATGTGGAT TAATTGATG
901 CAACGCGAAG AACCTTACCT GGGCTTGACA TGCGCCAGAC ATCCCCAGAG
951 ATGGGGCTTC CCTTGTGGTT GGTGTACAGG TGGTGCATGG CTGTCGTCA
1001 CTCGTGTCGT GAGATGTTGG GTTAAGTCCC GCAACGAGCG CAACCCTTAT

```

1051 CCTACGTTGC CAGCGCGTTA TGGCGGGGAC TCGTGGGAGA CTGCCGGGT
 1101 CAACTCGGAG GAAGGTGGGG ATGACGTCAA GTCATCATGC CCCTTATGTC
 1151 CAGGGCTTCA CACATGCTAC AATGGCTGGT ACAGAGGGCT GCGATACCGC
 1201 GAGGTGGAGC GAATCCCTTA AAGCCGGTCT CAGTCGGAT CGCAGTCTGC
 1251 AACTCGACTG CGTGAAGTCG GAGTCGCTAG TAATCGCAGA TCAGCAACGC
 1301 TGCGGTGAAT ACGTTCCCGG GCCTTGTACA CACCGCCCGT CACGTATGA
 1351 AAGTCGGTAA CACCGAA

GMKU 936 884 bp

1 CTGGAGGTAA CACGCTGAGT AACCTGCCCT TGCACTCTGG GGATAAGCCT
 51 GGGAAACCGG GTCTTATACC GGATACGACC CTTTCTCGCA TGGGATGGTG
 101 GTGGAAAGTT TTTTCGGTTG GGGATGGGCT CGCggcctat CAGCTTGGTG
 151 GTGGGGTGT GGCCTACCAA GGCACGACG GGTAGCCGC CTGAGAGGGC
 201 GACCGGCCAC ACTGGGACTG AGACACGGCC CAGACTCCTA CGGGAGGCAG
 251 CAGTGGGAA TATTGCGCAA TGGGCGGAAG CCTGACGCG CGACGCCGCG
 301 TGGGGGATGA CGGCCTTCGG GTTGTAAACC TCTTCAGCA GGGACGAAGT
 351 TGACGTGTAC CTGTAGAAGA AGCGCCGGCT AACTACGTGC CAGCAGCCGC
 401 GGTAAATACGT AGGGCGCGAG CGTTGTCCGG AATTATTGGG CGTAAAGAGC
 451 TCGTAGGTGG CTTGTTGCGT CTGCCGTGAA AGCCCGTGGC TTAACTACGG
 501 GTCTCGGGT GATAACGGCA GGCTAGAGGC TGGTAGGGC AAGCGGAATT
 551 CCTGGTGTAG CGGTGAAATG CGCAGATATC AGGAGGAACA CCGGTGGCGA
 601 AGGCGGCTTG CTGGGCCAGT TCTGACGCTG AGGAGCGAAA GCGTGGGGAG
 651 CGAACAGGAT TAGATACCCCT GGTAGTCCAC GCTGTAACG TTGGCGCTA
 701 GGTGTGGGG TCTTCCACGA TTCTGTGCC GTAGCTAACG CATTAAGCGC
 751 CCCGCCTGGG GAGTACGGCC GCAAGGCTAA AACTCAAGGA ATTGACGGGG
 801 GCCCGCACAG CGGNCGAGCA TGTGCTTAA TTGACGCGAC GCGAAACCT
 851 TACCAAGGTT TGACATACAC CGGAAACACT CAAA

GMKU 937 835 bp

1 CAAGTCGAAC GATGAACCAC CTTCGGTTG GGGATTAGTG GCGAACGGGT
 51 GAGTAACACG TGGGCAATCT GCCCTGCACT CTGGGACAAG CCCTGGAAAC
 101 GGGGTCTAAT ACCGGATACT GACCTGCCAA GGCATCTTGG CGGGTCGAAA
 151 GCTCCGGCGG TGCAGGATGA GCCCGCGGGCC TATCAGCTTG TTGGTGAGGT
 201 AATGGCTCAC CAAGGCAGC ACGGGTAGCC GGCCTGANAG GGCACCGGC
 251 CACACTGGGA CTGAGACACG GCCCAGACTC CTACGGGAGG CAGCAGTGGG
 301 GAATATTGCA CAATGGCGA AAGCCTGATG CAGCGACGCC GCGTGAGGGA
 351 TGACGGCCTT CGGGTTGTAA ACCTCTTCA GCAGGGAAGA AGCGAAAGTG
 401 ACGGTACCTG CAGAAGAACG GCCGGCTAAC TACGTGCCAG CAGCCGCGGT
 451 AATACGTAGG GCGCAAGCGT TGTCCGGAAT TATTGGCGT AAAGAGCTCG
 501 TAGGCGGCTT GTCGCGTCGG TTGTGAAAGC CCGGGGCTTA ACCCCGGGTC
 551 TGCAGTCGAT ACGGGCAGGC TAGAGTTCGG TAGGGGAGAT CGGAATTCTC
 601 GGTGTAGCGG TGAAATGCGC AGATATCAGG AGGAACACCG GTGGCGAAGG
 651 CGGATCTCTG GGCGATACT GACGCTGAGG AGCGAAAGCG TGGGGAGCGA
 701 ACAGGATTAG ATACCCTGGT AGTCCACGCC GTAAACGGTG GGCACTAGGT
 751 GTGGGCAACA TTCCACGTTG TCCGTGCCGC AGCTAACGCA TTAAGTGCC
 801 CGCCTGGGGA GTACGGCCGC AAGGCTAAA CTCAA

GMKU 938 779 bp

1 CGAGCGGCAGA ACGGGTGAGT AACACGTGAG CAACCTACCC TCAACTTTGG
 51 GATAAGCCTC GGAAACGAGG TCTAATACCG GATAATACTA TGCTCCTCAT
 101 GGGGTGTGGT TGAAAGTTCT GGCGGTTGGG GATGGGCTCG CGGCCTATCA
 151 GCTTGTGGT GGGGTAATGG CCTACCAAGG CGTCGACGGG TAGCCGGCCT

201 GAGAGGGCGA CCGGCCACAC TGGGACTGAG ACACGGCCCA GACTCCTACG
 251 GGAGGCAGCA GTGGGGAAATA TTGCGCAATG GACGAAAGTC TGACGCAGCA
 301 ACGCCCGCTG AGGGATGACG GCCTTCGGGT TGTAAACCTC TTTCAGCAGG
 351 GACGAAGCGA GAGTGACGGT ACCTGCAGAA GAAGGACCGG CCAACTACGT
 401 GCCAGCAGCC GCGGTAATAC GTAGGGTCCG AGCGTTGTCC GGAATTATTG
 451 GGCCTAAAGG GCTCGTAGGC GTTCTCGTCAC GTCGGGAGTG AAAACTCGGG
 501 GCTTAACCCC GAGCCTGCTT CCGATACGGG CAGACTAGAG GTAGGCAGGG
 551 GAGAGCGGAA CTCCCTGGTGT AGCGGGTGGAA TGCGCAGATA TCAGGAAGAA
 601 CACCGGTGGC GAAGGCAGCT CTCTGGGCCT TACCTGACGC TGAGGAGCGA
 651 AAGCGTGGGT AGCGAACAGG ATTAGATACC CTGGTAGTCC ACGCCGTAAA
 701 CGTTGGCGC TAGGTGTGGG GGACATTCCA CGTCCTCCGT GCCGCAGCTA
 751 ACGCATTAAG CGCCCCGCCT GGGGAGTAC

GMKU 939 780 bp

1 TGGATTAGTG GCGAACGGGT GAGTAACACG TGGGCAATCT GCCCTGCACT
 51 CTGGGACAAG CCCTGGAAAC GGGGTCTAAT ACCGGATATG AGGGTCACCG
 101 GCATCGGTGA TTCTGTAAAG CTCCGGCGGT GCAGGATGGG CCCGCGGCC
 151 ATCAGCTTGT CGGTGGGTA ATGGCCTTAC GAGGCGACGA CGGGTAGCCG
 201 GCCTGAGAGG GCGACCGGCC ACACTGGGAC TGAGACACGG CCCAGACTCC
 251 TACGGGAGGC AGCAGTGGG AATATTGCAC AATGGGCGCA AGCCTGATGC
 301 AGCGACGCCG CGTGAGGGAT GACGGCCTTC GGGTTGTAAA CCTCTTCAG
 351 CAGGGAAGAA GCCTTTCGGG GTGACGGTAC CTGCAGAAGA AGCGCCGGCT
 401 AACTACGTGC CAGCAGCCGC GGTAAATACGT AGGGCGCGAG CGTTGTCCGG
 451 AATTATTGGG CGTAAAGAGC TCGTAGGCAG CTTGTACGT CGATTGTGAA
 501 AGCCCGAGGC TTAACCTCGG GTCTGCAGTC GATACGGGCT GGCTGGAGTG
 551 TGGTAGGGGA GATCGGAATT CCTGGTGTAG CGGTGAAATG CGCAGATATC
 601 AGGAGGAACA CCGGTGGCGA AGGCGGATCT CTGGGCCATT ACTGACGCTG
 651 AGGAGCGAAA GCGTGGGAG CGAACAGGAT TAGATACCCT GGTAGTCCAC
 701 GCCGTAAACG GTGGGCACTA GGTGTTGGCG ACATTCCACG TCGTCGGTGC
 751 CGCAGCTAAC GCATTAAGTG CCCCCGCCTGG

GMKU 940 813 bp

1 GAACCACCTT CGGTGTGGGG ATTAGTGGCG AACGGGTGAG TAACACGTGG
 51 GCAATCTGCC CTGCACTCTG GGACAAGCCC TGGAAACGGG GTCTAATACC
 101 GGATACTGAC CTGCCAAGGC ATCTTGGCGG GTCGAAAGCT CCGGCGGTGC
 151 AGGATGAGCC CGCGGCCTAT CAGCTTGTG GTGAGGTAAT GGCTCACCAA
 201 GGCACGACG GGTAGCCGGC CTGAGAGGGC GACCAGGCCAC ACTGGGACTG
 251 AGACACGGCC CAGACTCCTA CGGGAGGCAG CAGTGGGAA TATTGCACAA
 301 TGGGCAGGAA CCTGATGCAG CGACGCCCG TGAGGGATGA CGGCCTTCGG
 351 GTTGTAAACC TCTTCAGCA GGGAAAGAAGC GAAAGTGACG GTACCTGCAG
 401 AAGAACGCC GGCTAACTAC GTGCCAGCAG CCGCGGTAAT ACGTAGGGCG
 451 CAAGCGTTGT CGCGAATTAT TGGGCGTAAA GAGCTCGTAG GCGGCTTGTG
 501 GCGTCGGTTG TGAAAGCCCCG GGGCTTAACC CCGGGTCTGC AGTCGATACG
 551 GGCAGGCTAG AGTCGGTAG GGGAGATCGG AATTCTGGT GTAGCGGTGA
 601 AATGCGCAGA TATCAGGAGG AACACCGGTG GCGAAGGCAG ATCTCTGGG
 651 CGATACTGAC GCTGAGGAGC GAAAGCGTGG GGAGCGAACAA GGATTAGATA
 701 CCCTGGTAGT CCACGCCGTA AACGGTGGGC ACTAGGTGTG GGCAACATTC
 751 CACGTTGTCC GTGCCGCAGC TAACGCATTA AGTGCCCGC CTGGGGAGTA
 801 CGGCCGCAAG GCT

GMKU 941 793 bp

1 AGGCCCTCG GGGTACTCGA GC GGCGAACG GGTGAGTAAC ACGTGAGTAA
 51 CCTGCCCTG ACTCTGGGAT AAGCCTGGGA AACCGGGTCT AATACCGGAT
 101 ACGACCATT CTCGCATGGG ATGGTGGTGG AAAGTTTTT CGGTTGGGG
 151 TGGGCTCGCG GCCTATCAGC TTGTTGGTGG GGTGATGGCC TACCAAGGCG
 201 ACGACGGGTA GCCGGCCTGA GAGGGCGACC GGCCACACTG GGACTGAGAC
 251 ACGGCCAGA CTCCTACGGG AGGCAGCAGT GGGGAATATT GCGCAATGGG
 301 CGGAAGCCTG ACGCAGCGAC GCCCGTGGG GGATGACGGC CTTCGGGTTG
 351 TAAACCTCTT TCAGCAGGGGA CGAAGTTGAC GTGTACCTGT AGAAGAAGCG
 401 CCGGCTAAGT ACGTGCCAGC AGCCGCGGT A ATACGTAGGG CGCGAGCGTT
 451 GTCCGGAATT ATTGGGCGTA AAGAGCTCGT AGGTGGCTTG TTGCGTCTGC
 501 CGTGAAGGCC CGTGGCTTAA CTACGGGTCT GCGGTGGATA CGGGCAGGCT
 551 AGAGGCTGGT AGGGGCAAGC GGAATTCCCTG GTGTAGCGGT GAAATGCGCA
 601 GATATCAGGA GGAACACCGG TGGCGAAGGC GGCTGCTGG GCCAGTTCTG
 651 ACGCTGAGGA GCGAAAGCGT GGGGAGCGAA CAGGATTAGA TACCCCTGGTA
 701 GTCCACGCTG TAAACGTTGG GCGCTAGGTG TG GGGGTCTT CCACGATTCC
 751 TGTGCCGTAG CTAACGCATT AAGCGCCCCG CCTGGGGAGT ACG

GMKU 942 802 bp

1 AGGCCCTCG GGGTACTCGA GC GGCGAACG GGTGAGTAAC ACGTGAGTAA
 51 CCTGCCCTG ACTCTGGGAT AAGCCTGGGA AACCGGGTCT AATACCGGAT
 101 ACGACCATT CTCGCATGGG ATGGTGGTGG AAAGTTTTT CGGTTGGGG
 151 TGGGCTCGCG GCCTATCAGC TTGTTGGTGG GGTGATGGCC TACCAAGGCG
 201 ACGACGGGTA GCCGGCCTGA GAGGGCGACC GGCCACACTG GGACTGAGAC
 251 ACGGCCAGA CTCCTACGGG AGGCAGCAGT GGGGAATATT GCGCAATGGG
 301 CGGAAGCCTG ACGCAGCGAC GCCCGTGGG GGATGACGGC CTTCGGGTTG
 351 TAAACCTCTT TCAGCAGGGGA CGAAGTTGAC GTGTACCTGT AGAAGAAGCG
 401 CCGGCTAAGT ACGTGCCAGC AGCCGCGGT A ATACGTAGGG CGCGAGCGTT
 451 GTCCGGAATT ATTGGGCGTA AAGAGCTCGT AGGTGGCTTG TCGCGTCTGC
 501 CGTGAAGGCC CGTGGCTTAA CTACGGGTCT GCGGTGGATA CGGGCAGGCT
 551 AGAGGCTGGT AGGGGCAAGC GGAATTCCCTG GTGTAGCGGT GAAATGCGCA
 601 GATATCAGGA GGAACACCGG TGGCGAAGGC GGCTGCTGG GCCAGTTCTG
 651 ACGCTGAGGA GCGAAAGCGT GGGGAGCGAA CAGGATTAGA TACCCCTGGTA
 701 GTCCACGCTG TAAACGTTGG GCGCTAGGTG TG GGGGTCTT CCACGACTTC
 751 TGTGCCGTAG CTAACGCATT AAGCGCCCCC GCCTGGGGGA GTACGGCCGC
 801 AA

GMKU943 complete sequence 1476 bp

1 CTGTCA GACG AACGCTGGCG GCGTGCTTAA CACATGCAAG TCGAGCGGAA
 51 AGGCCCTCG GGGTACTCGA GC GGCGAACG GGTGAGTAAC ACGTGAGTAA
 101 CCTGCCCTG GCTCTGGGAT AAGCCC GGGA AACTGGGTCT AATACCGGAT
 151 ATGACTCCTC ATCGCATGAT GTGGGGGTGG AAAGTTTTT GGCTGGGGAT
 201 GGGCTCGCG TCTATCAGCT TGTTGGTGGG GTGATGGCCT ACCAAGGCGA
 251 CGACGGGTAG CGGCCCTGAG AGGGTGACCG GCCACACTGG GACTGAGACA
 301 CGGCCAGAC TCCTACGGGA GGCAGCAGTG GGGAAATTG CGCAATGGGC
 351 GGAAGCCTGA CGCAGCGACG CCCGCGTGGGG GATGAAGGCC TTGCGGTTGT
 401 AAACCTCTT CACCACCGAC GAAGCTAACG TGACGGTAGG TGGGGAAGAA
 451 GCGCCGGCTA ACTACGTGCC AGCAGCCGCG GTAATACGTA GGGCGCAAGC
 501 GTTGTCCGGA ATTATTGGGC GTAAAGAGCT CGTAGGGTGT CTGTCGCGTC
 551 TGCCGTGAAA ACCCGAGGCT TAACCTCGTG GCTTGC GGTTG GATAACGGGCA
 601 GACTAGAGGT AGGTAGGGGA GAATGGAATT CCCGGTGTAG CGGTGAAATG
 651 CGCAGATATC GGGAGGAACA CGCGTGGCGA AGGC GGTTCT CTGGGCCTTA
 701 CCTGACGCTG AGGAGCGAAA GCGTGGGGAG CGAACAGGAT TAAATACCCCT

751 GGTAGTCCAC GCCGTAACCC TTGGGCGCTA GGTGTGGGT CTTTCACGG
 801 ATTCCGTGCC GTAGCTAACG CATTAAGCGC CCCGCCTGGG GAGTACGGCC
 851 GCAAGGCTAA AACTCAAAGG AATTGACGGG GGCCCACAGA AGCGGCAGG
 901 CATGTTGCTT AATTGACGC AACGCGAAGA ACCTTACCAA GGTTGACAT
 951 CACCGGAAAAA CTCGCAGAGA TGCGGGTCC TTTTGGGCCG GTGACAGGTG
 1001 GTGCATGGCT GTCGTCAGCT CGTGTGCTGA GATGTTGGT TAAGTCCC
 1051 AACGAGCGCA ACCCTCGTTC CATGTTGCCA GCACGTAGTG GTGGGGACTC
 1101 ATGGGAGACT GCCGGGGTCA ACTCGGAGGA AGGTGGGGAT GACGTCAAGT
 1151 CATCATGCC CTTATGTCTT GGGCTGCAAA CATGCTACAA TGGCCGGTAC
 1201 AAAGGGCTGC GAAACCGTGA GGTGGAGCGA ATCCCGAAA GCCGGTCTCA
 1251 GTTCGGATTG GGGTCTGCAA CTCGACCCCA TGAAGTCGGA GTCGCTAGTA
 1301 ATCGCAGATC AGCAACGCTG CGGTGAATAC GTTCCCGGGC CTTGTACACA
 1351 CCGCCCGTCA CGTCACGAAA GTCGGCAACCA CCCGAAGCCG GTGGCCTAAC
 1401 CCTTGTGGGA GGAGCCGTG AAGGTGGGGC CGGCGATTGG GACGAAGTCG
 1451 TAACAAGGTA GCCGTACCGG AGGTGG

GMKU 944 797 bp

1 CGGGAGGGGA TTAGTGGCGA ACGGGTGAGT AACACGTGGG CAATCTGCC
 51 TTCACTCTGG GACAAGCCCT GGAAACGGGG TCTAATACCG GATAACGACAC
 101 ACGACCGCAT GGTCTGTGT TGAAAAGCTC CGGCAGGTGAA GGATGAGCCC
 151 GCGGCCTATC AGCTTGTGG TGGGGTGATG GCCTACCAAG GCGACGACGG
 201 GTAGCCGGCC TGAGAGGGCG ACCGGCCACA CTGGGACTGA GACACGGCCC
 251 AGACTCCTAC GGGAGGCAGC AGTGGGGAT ATTGCACAAT GGGCGAAAGC
 301 CTGATGCAGC GACGCCCGT GAGGGATGAC GGCCTTCGGG TTGTAAACCT
 351 CTTTCAGCAG GGAAGAACGAG AGAGTGACGG TACCTGCAGA AGAACGCC
 401 GCTAACTACG TGCCAGCAGC CGCGGTAAATA CGTAGGGCGC AACCGTTGTC
 451 CGGAATTATT GGGCGTAAAG AGCTCGTAGG CGGCTTGTGCG CGTCGGATGT
 501 GAAAGCCCGG GGCTTAACCC CGGGTCTGCA TTCGATACGG GCAGGCTAGA
 551 GTTCGGTAGG GGAGATCGGA ATTCTGGTG TAGCGGTGAA ATGCGCAGAT
 601 ATCAGGAGGA ACACCGGTGG CGAAGGGCGGA TCTCTGGGCC GATACTGACG
 651 CTGAGGAGCG AAAGCGTGGG GAGCGAACAG GATTAGATAC CCTGGTAGTC
 701 CACGCCGTAA ACGTTGGGAA CTAGGTGTGG GCGACATTCC ACGTCGTCCG
 751 TGCCGCAGCT AACGCATTA GTTCCCCGCC TGGGGAGTAC GGCGCA

ประวัติการศึกษา และการทำงาน

ชื่อ – นามสกุล	นายชาคริต บุญอุ่น
วัน เดือน ปี ที่เกิด	วันที่ 8 กรกฎาคม 2527
สถานที่เกิด	จังหวัดเชียงใหม่
ประวัติการศึกษา	วิทยาศาสตรบัณฑิต (ชีววิทยา) สาขาวัฒนาศาสตร์ มหาวิทยาลัยเกษตรศาสตร์ พ.ศ. 2548
ตำแหน่งหน้าที่การงานปัจจุบัน	-
สถานที่ทำงานปัจจุบัน	-
ทุนการศึกษาที่ได้รับ	ทุนผู้ช่วยสอนประจำปี 2550 ทุนวิจัยมหาบัณฑิต สกว. โครงการ Window II ประจำปี 2550
ผลงานทางวิชาการ	

กรรมการ ดวงมาลย์, รัชนี มิงมา, ชาคริต บุญอุ่น, อรินทร์พิพัฒน์ ธรรมชัยพินิต และ วสุ ปฐมอารีร์.

2550 การคัดแยกแอคติโนมัยสีที่จากสมุนไพรทองพันชั่งและว่านมหาการและประสิทธิภาพ
ในการบันยั้งจุลินทรีย์ ใน การประชุมทางวิชาการของมหาวิทยาลัยเกษตรศาสตร์ ครั้งที่ 45
สาขาวิทยาศาสตร์ กรุงเทพฯ. หน้า 334-341.

Bunyoo, C., K. Duangmal, A. Nuntagij and A. Thamchaipenet. Characterization of endophytic actinomycetes isolated from wattle tree (*Acacia auriculiformis* A. Cunn. ex Benth.) using molecular techniques. **The proceeding of 34th Congress on Science and Technology of Thailand.** 31 October-2 November 2008. Queen Sirikit National Convention Center, Bangkok, Thailand

Bunyoo, C., K. Duangmal, A. Nuntagij and A. Thamchaipenet. 2009. Characterisation of endophytic actinomycetes isolated from wattle tree (*Acacia auriculiformis* A. Cunn. ex Benth.) in Thailand. **Thai Journal of Genetics.** 2: 155-163.

- Thamchaipenet A., K. Duangmal, C. Indananda, C. Bunyoo, A. Matsumoto and Takahashi Y.
2009. Endophytic actinomycetes from Thai agricultural and medicinal plants as sources for discovery of novel genus and species. In Abstract book of **15th International Symposium on the Biology of Actinomycetes**. 20-25 August 2009, Shanghai, China. p. 67.
- Phornphisutthimas, S., N. Sudtachat, C. Bunyoo, P. Chotewutmontri, B. Panijpan and A. Thamchaipenet. 2010. Development of an intergeneric conjugal transfer system for rimocidin-producing *Streptomyces rimosus*. **Lett. Appl. Microbiol.** 50: 530-536.
- Thamchaipenet, A., C. Indananda, C. Bunyoo, K. Duangmal, A. Matsumoto and Y. Takahashi.
2010. *Actinoallomurus acaciae* sp. nov., a novel endophytic actinomycete isolated from *Acacia auriculiformis* A. Cunn. ex Benth. **Int. J. Syst. Evol. Microbiol.** 60: 554-559.